

ANAS S.p.A.

anas Direzione Progettazione e Realizzazione Lavori

S.S. N. 9 "VIA EMILIA" VARIANTE DI CASALPUSTERLENGO ED ELIMINAZIONE PASSAGGIO A LIVELLO SULLA S.P. EX S.S. N.234

PROGETTO ESECUTIVO



HH03

PO04 - PONTE SUL BREMBIOLO - ASSE 43

RELAZIONE DI CALCOLO SPALLE

		NOME FILE HH03-S43PO04STRRE03_B.	dwg		SCALA:	
COMI	E 1701	CODICE S 4 3 PO 0 4	STRRE0	3 B		
D						
С						
В	REVISIONE PER ISTRUTTORI	A	LUGLIO 2018	ING. NICOLA LIGAS	PROF. ING. LUIGI MONTERISI	ING. VALERIO BAJETTI
Α	EMISSIONE		GIUGNO 2017	ING. NICOLA LIGAS	PROF. ING. LUIGI MONTERISI	ING. VALERIO BAJETTI
REV.	DESCRIZIONE		DATA	REDATTO	VERIFICATO	APPROVATO



SOMMARIO

1	PREMESS	SA	3
2	NORMATI	VA DI RIFERIMENTO	4
3	UNITA' DI I	MISURA	4
4	MATERIAL		5
	4.1 Calces	struzzo	5
	4.1.1 Ca	alcestruzzo per opere di sottofondazione	5
	4.1.2 Ca	alcestruzzo per opere di fondazione (UNI 11104-2016)	5
	4.1.3 Ca	alcestruzzo per opere in elevazione (UNI 11104-2016)	6
	4.2 Acciaio	o	6
	4.2.1 Ac	cciaio per armatura lenta	6
5	ZONIZZAZ	ZIONE E CARATTERIZZAZIONE SISMICA	7
	5.1 Spettro	o di progetto elastico allo Stato Limite di Salvaguardia della Vita	8
	5.2 Spettro	o di progetto elastico allo Stato Limite di Collasso1	1
	5.3 Riduzio	one dello spettro per la presenza dell'isolamento sismico1	4
6	ANALISI D	DEI CARICHI1	5
	6.1 Peso p	proprio degli elementi in cemento armato1	5
	6.2 Azioni	trasmesse dall'impalcato	5
	6.3 Spinta	del terreno a tergo delle spalle1	5
	6.4 Spinta	dovuta ai sovraccarichi a tergo delle spalle1	5
	6.5 Azione	e sismica1	6
	6.5.1 Az	zione inerziale delle masse1	6
	6.5.2 So	ovraspinta dinamica dei terreni1	6
7	COMBINAZ	ZIONI DI CARICO1	6
8	SPALLE (tr	ravi a cuscino)1	7
	8.1 Sezion	ne di spiccato del paraghiaia - Valutazione delle azioni sollecitanti1	7
	8.1.1 Da	ati di input1	7
	8.1.2 Rie	epilogo dei valori caratteristici delle azioni sollecitanti1	8
	8.1.3 Rie	epilogo dei valori di calcolo delle azioni sollecitanti1	9
	8.2 Sezion	ne di spiccato del paraghiaia – Verifiche strutturali1	9
	8.2.1 Se	ezione e armatura di verifica1	9
	8.2.2 Ve	erifica allo Stato Limite di limitazione delle tensioni – Combinazione Qua	si
	Permanent	te2	1
	8.2.3 Ve	erifica allo Stato Limite di limitazione delle tensioni – Combinazione Frequente 2	1
	8.2.4 Ve	erifica allo Stato Limite di limitazione delle tensioni – Combinazione Rara2	2
	8.2.5 Ve	erifica allo Stato Limite di fessurazione2	3
	8.2.6 Ve	erifica allo Stato Limite Ultimo per pressoflessione retta2	4
	8.2.7 Ve	erifica allo Stato Limite Ultimo per taglio2	5
	8.3 Sezion	ne di spiccato dei muri di risvolto laterali - Valutazione delle azioni sollecitanti 2	6
	8.3.1 Sc	chema e modello di calcolo2	6
	8.3.2 Ap	oplicazione dei carichi elementari2	7
		alutazione delle azioni sollecitanti2	
	8.4 Sezion	ne di spiccato dei muri di risvolto laterali - Verifiche strutturali3	3
	8.4.1 Se	ezione e armatura di verifica3	3
	8.4.2 Ve	erifica allo Stato Limite di limitazione delle tensioni – Combinazione Qua	si
		te3	
	8.4.3 Ve	erifica allo Stato Limite di limitazione delle tensioni – Combinazione Frequente 3	4







PONTE SUL BREMBIOLO - ASSE 43 - RELAZIONE DI CALCOLO SPALLE

	8.4.4	Verifica allo Stato Limite di limitazione delle tensioni – Combinazione Rara	34
	8.4.5	Verifica allo Stato Limite di fessurazione	35
	8.4.6	Verifica allo Stato Limite Ultimo per taglio	37
8.	5 Sez	ione alla base della trave a cuscino – Valutazione delle azioni sollecitanti	38
	8.5.1	Azioni sollecitanti caratteristiche	38
	8.5.2	Azioni sollecitanti di calcolo	42
8.	6 Pali	di fondazione – Valutazione delle azioni sollecitanti	46
8.	7 Trav	ve a cuscino – Verifiche strutturali in direzione trasversale	48
	8.7.1	Stato Limite di Esercizio – Combinazione Quasi Permanente	49
	8.7.2	Stato Limite di Esercizio – Combinazione Frequente	49
	8.7.3	Stato Limite di Esercizio – Combinazione rara	49
	8.7.4	Stato Limite Ultimo – STR	49
	8.7.5	Stato Limite di Salvaguardia della Vita	49
8.	8 Trav	ve a cuscino – Verifiche strutturali in direzione longitudinale	50
	8.8.1	Valutazione delle azioni sollecitanti	51
	8.8.2	Sezione e armatura di verifica	55
	8.8.3	Verifica allo Stato Limite di limitazione delle tensioni - Combinazione C	Quasi
	Perman	ente	55
	8.8.4	Verifica allo Stato Limite di limitazione delle tensioni – Combinazione Frequente.	56
	8.8.5	Verifica allo Stato Limite di limitazione delle tensioni – Combinazione Rara	56
	8.8.6	Verifica allo Stato Limite di fessurazione	57
	8.8.7	Verifica allo Stato Limite Ultimo per flessione retta	60
	8.8.8	Verifica allo Stato Limite Ultimo per taglio	61
8.	9 Bag	gioli di appoggio – Verifiche strutturali	62
	8.9.1	Valutazione delle azioni sollecitanti	62
	8.9.2	Sezione e armatura di verifica	63
	8.9.3	Verifica allo Stato Limite Ultimo per punzonamento	63
	8.9.4	Verifica allo Stato Limite Ultimo per tranciamento	
	SOTTO	SCRIZIONE DELL'ELABORATO DA PARTE DEL RITIP	65



9









PREMESSA

La presente relazione di calcolo riporta il dimensionamento e le verifiche strutturali delle spalle (paraghiaia, trave a cuscino, muri laterali posteriori e baggioli di appoggio) del ponte Brembiolo 4 sull'asse 43, realizzate in cemento armato gettato in opera nell'ambito del progetto esecutivo "S.S. n.9 Emilia – Variante di Casalpusterlengo ed eliminazione passaggio a livello sulla S.P. ex S.S. N.234".



Per la descrizione delle opere si rimanda alla *Relazione tecnica dell'opera* (elaborato **HH01-S43P004STRRE01_B**).







2

NORMATIVA DI RIFERIMENTO

La presente relazione è stata redatta in osservanza delle seguenti Normative Tecniche:

- Legge 05/01/1971 n.1086 → Norme per la disciplina delle opere in conglomerato cementizio armato, normale e precompresso ed a struttura metallica
- Legge 02/02/1974 n. 64 → Provvedimenti per le costruzioni con particolari prescrizioni per le zone sismiche
- **DM 14/01/2008** → Nuove Norme Tecniche per le Costruzioni
- Circolare 02/02/2009 n. 617/C.S.LL.PP. →Istruzioni per l'applicazione delle "Nuove Norme Tecniche per le Costruzioni" di cui al DM 14/01/2008
- UNI EN 1992-1 (Eurocodice 2 Parte 1) → Progettazione delle strutture in calcestruzzo -Regole generali
- UNI EN 1992-2 (Eurocodice 2 Parte 2) → Progettazione delle strutture in calcestruzzo Ponti
- UNI EN 1998-5 (Eurocodice 8) Gennaio 2015 → Progettazione delle strutture per la resistenza sismica Parte 5: Fondazioni, strutture di contenimento ed aspetti geotecnici
- UNI EN 206-1:2006 → Calcestruzzo Specificazione, prestazione e conformità
- **UNI 11104** → Calcestruzzo Specificazione, prestazione, produzione e conformità Istruzioni complementari per l'applicazione della EN 2016-1
- Servizio Tecnico Centrale della Presidenza del Consiglio Superiore dei LL.PP. Linee guida sul calcestruzzo strutturale

3 UNITA' DI MISURA

Nei calcoli è stato fatto uso delle seguenti unità di misura:

• per i carichi: kN/m², kN/m, kN

per i momenti: kNm
 per i tagli e sforzi normali: kN
 per le tensioni: N/mm²
 per le accelerazioni: m/sec²







4

MATERIALI

4.1 CALCESTRUZZO

4.1.1 CALCESTRUZZO PER OPERE DI SOTTOFONDAZIONE

Per le opere di sottofondazione è stato previsto un calcestruzzo con classe di resistenza C12/15 e classe di esposizione X0.

Tale calcestruzzo non ha valenza strutturale e quindi non se ne riportano le caratteristiche meccaniche.

4.1.2 CALCESTRUZZO PER OPERE DI FONDAZIONE (UNI 11104-2016)

Per le opere di fondazione (trave a cuscino) è stato previsto un calcestruzzo con classe di resistenza **C28/35** con le seguenti caratteristiche meccaniche:

	FOGLIO DI CALCOLO NUMERO:	CA-07> REV 02
	TITOLO:	CARATTERISTICHE MECCANICHE DEL CALCESTRUZZO
	VERSIONE:	REVISIONE N.02 DEL 06/10/2017
	REALIZZATO DA:	ING. NICOLA LIGAS
Ingegneria del Territorio s.r.l.	VERIFICATO DA:	ING. VALERIO BAJETTI

VERIFICATO DA:	ING. VALERIO BAJETT	TI .					
CARATTERISTICHE MECCANICHE DEI CALCESTRUZZI AI SENSI DEL D.M. 14.01.2008							
CLASSE DI RESISTENZA C28/35							
DESCRIZIONE CARATTERISTICA	FORMULA DI CALCOLO	RIF. CAP. NORMA	VALOR	E DI APPLIC	AZIONE		
Resistenza caratteristica cubica a compressione			R _{ck}	35,00	[N/mm ²]		
Resistenza caratteristica cilindrica a compressione	[0,83*Rck]	11.2.10.1	f _{ck}	29,05	[N/mm ²]		
Resistenza cilindrica media a compressione a 28 gg	[fck+8]	11.2.10.1	f _{cm}	37,05	[N/mm ²]		
Resistenza di calcolo a compressione	[acc*fck/Yc]	4.1.2.1.1.1	f _{cd}	16,46	[N/mm ²]		
Resistenza media a trazione	[0,30*fck ^{2/3}]	11.2.10.2	f _{ctm}	2,83	[N/mm ²]		
Resistenza caratteristica a trazione	[0,70*fctm]	11.2.10.2	f _{ctk}	1,98	[N/mm ²]		
Resistenza di calcolo a trazione	[fctk/1,5]	4.1.2.1.1.2	f _{ctd}	1,32	[N/mm ²]		
Tensione massima di compressione del cls in esercizio (rara)	[0,60*fck]	4.1.2.2.5.1	бс тах	17,43	[N/mm ²]		
Tensione massima di compressione del cls in esercizio (quasi perm)	[0,45*fck]	4.1.2.2.5.1	бс тах	13,07	[N/mm ²]		
Modulo elastico istantaneo	[Ec=Ecm]	C4.1.2.2.5	Ec	32 588,11	[N/mm ²]		
Modulo elastico medio	[22.000*(fcm/10) ^{0,3}]	11.2.10.3	E _{cm}	32 588,11	[N/mm ²]		

Classe di esposizione: XC2Classe di consistenza: S4

Rapporto minimo acqua / cemento: 0,60
 Contenuto minimo di cemento: 300 kg/mc
 Diametro massimo degli inerti: 30 mm

Copriferro netto minimo: 40 mm







CALCESTRUZZO PER OPERE IN ELEVAZIONE (UNI 11104-2016) 4.1.3

Per le opere in elevazione (paraghiaia, muri laterali posteriori e baggioli di appoggio) è stato previsto un calcestruzzo con classe di resistenza C32/40 con le seguenti caratteristiche meccaniche:

	FOGLIO DI CALCOLO NUMERO:	CA-07> REV 02
	TITOLO:	CARATTERISTICHE MECCANICHE DEL CALCESTRUZZO
	VERSIONE:	REVISIONE N.02 DEL 06/10/2017
	REALIZZATO DA:	ING. NICOLA LIGAS
Ingegneria del Territorio s.r.l.	VERIFICATO DA:	ING. VALERIO BAJETTI

CARATTERISTICHE MECCANICHE DEI CALCESTRUZZI AI SENSI DEL D.M. 14.01.2008							
CLASSE DI RESISTENZA C32/40 ▼							
DESCRIZIONE CARATTERISTICA	VALOR	E DI APPLIC	AZIONE				
Resistenza caratteristica cubica a compressione			R_{ck}	40,00	[N/mm ²]		
Resistenza caratteristica cilindrica a compressione	[0,83*Rck]	11.2.10.1	f _{ck}	33,20	[N/mm ²]		
Resistenza cilindrica media a compressione a 28 gg	[fck+8]	11.2.10.1	f _{cm}	41,20	[N/mm ²]		
Resistenza di calcolo a compressione	[acc*fck/Yc]	4.1.2.1.1.1	f _{cd}	18,81	[N/mm ²]		
Resistenza media a trazione	[0,30*fck ^{2/3}]	11.2.10.2	f _{ctm}	3,10	[N/mm ²]		
Resistenza caratteristica a trazione	[0,70*fctm]	11.2.10.2	f _{ctk}	2,17	[N/mm ²]		
Resistenza di calcolo a trazione	[fctk/1,5]	4.1.2.1.1.2	f _{ctd}	1,45	[N/mm ²]		
Tensione massima di compressione del cls in esercizio (rara)	[0,60*fck]	4.1.2.2.5.1	бс тах	19,92	[N/mm ²]		
Tensione massima di compressione del cls in esercizio (quasi perm)	[0,45*fck]	4.1.2.2.5.1	бс тах	14,94	[N/mm ²]		
Modulo elastico istantaneo	[Ec=Ecm]	C4.1.2.2.5	Ec	33.642,78	[N/mm ²]		
Modulo elastico medio	[22.000*(fcm/10) ^{0,3}]	11.2.10.3	E _{cm}	33.642,78	[N/mm ²]		

Classe di esposizione: XF4 Classe di consistenza: S4

Rapporto minimo acqua / cemento: 0,45 • Contenuto minimo di cemento: 360 kg/mc

Contenuto minimo in aria: 4,0%

Diametro massimo degli inerti: 30 mm

Copriferro netto minimo: 40 mm

4.2 **ACCIAIO**

ACCIAIO PER ARMATURA LENTA

Per le armature lente è stato previsto un acciaio del tipo B450C, con le seguenti caratteristiche meccaniche:

•	t _{t,k}	=	540,00	N/mm ²	(resistenza caratteristica a rottura)
•	$f_{y,k}$	=	450,00	N/mm ²	(tensione caratteristica di snervamento)
•	$f_{y,d}$	=	391,30	N/mm²	(tensione di snervamento di calcolo – $\gamma_s=1,15$)
•	Es	=	210.000,00	N/mm ²	(modulo elastico istantaneo)







ZONIZZAZIONE E CARATTERIZZAZIONE SISMICA

La stima dei parametri spettrali necessari per la definizione dell'azione sismica è stata effettuata utilizzando le informazioni disponibili nel reticolo di riferimento (tabella 1 – Allegato B – D.M. 14 gennaio 2008).



Considerando l'ubicazione del sito in oggetto (Lat: 45.200616; Long: 9.609790) ed ipotizzando una costruzione caratterizzata da:



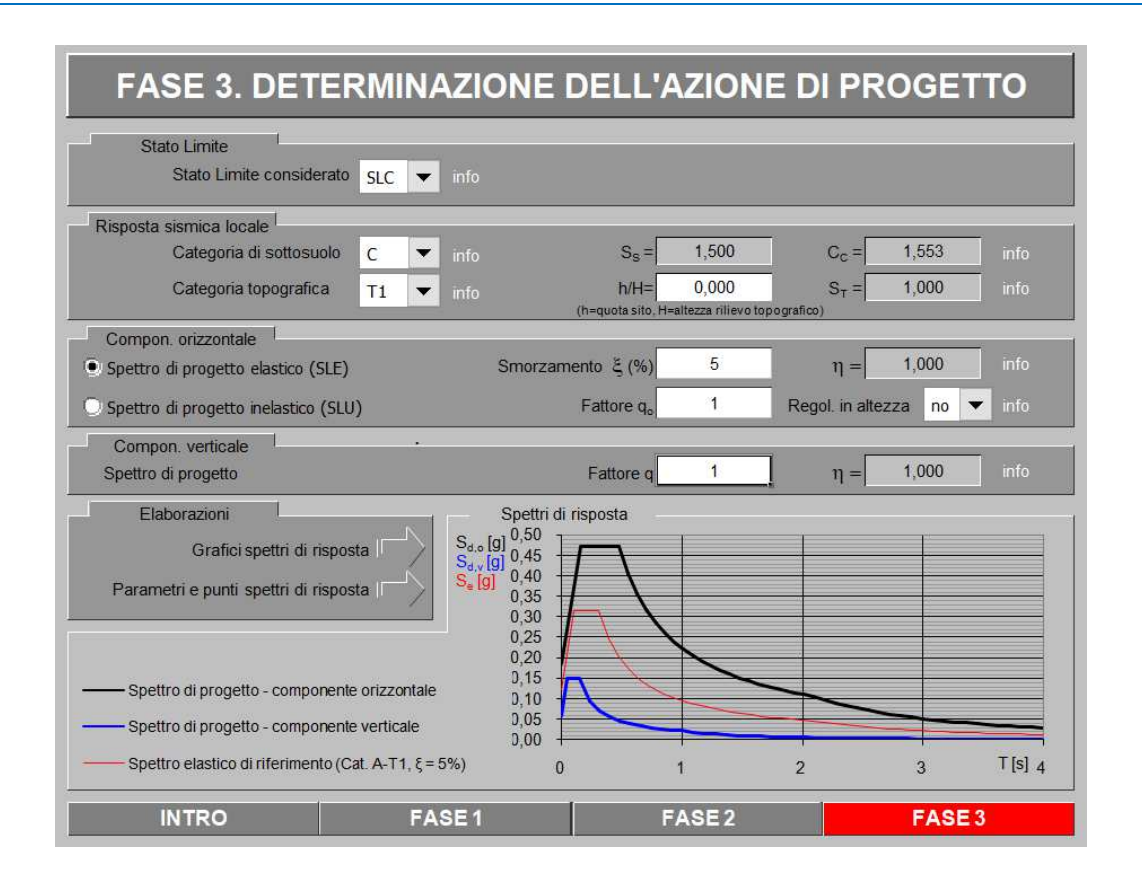
- una <u>vita nominale di 50 anni</u>, ricadente in <u>classe d'uso pari a IV</u> (ponti di importanza critica per il mantenimento delle vie di comunicazione...);
- una categoria topografica T1;
- una categoria C per il sottosuolo;







5.1 SPETTRO DI PROGETTO ELASTICO ALLO STATO LIMITE DI SALVAGUARDIA DELLA VITA



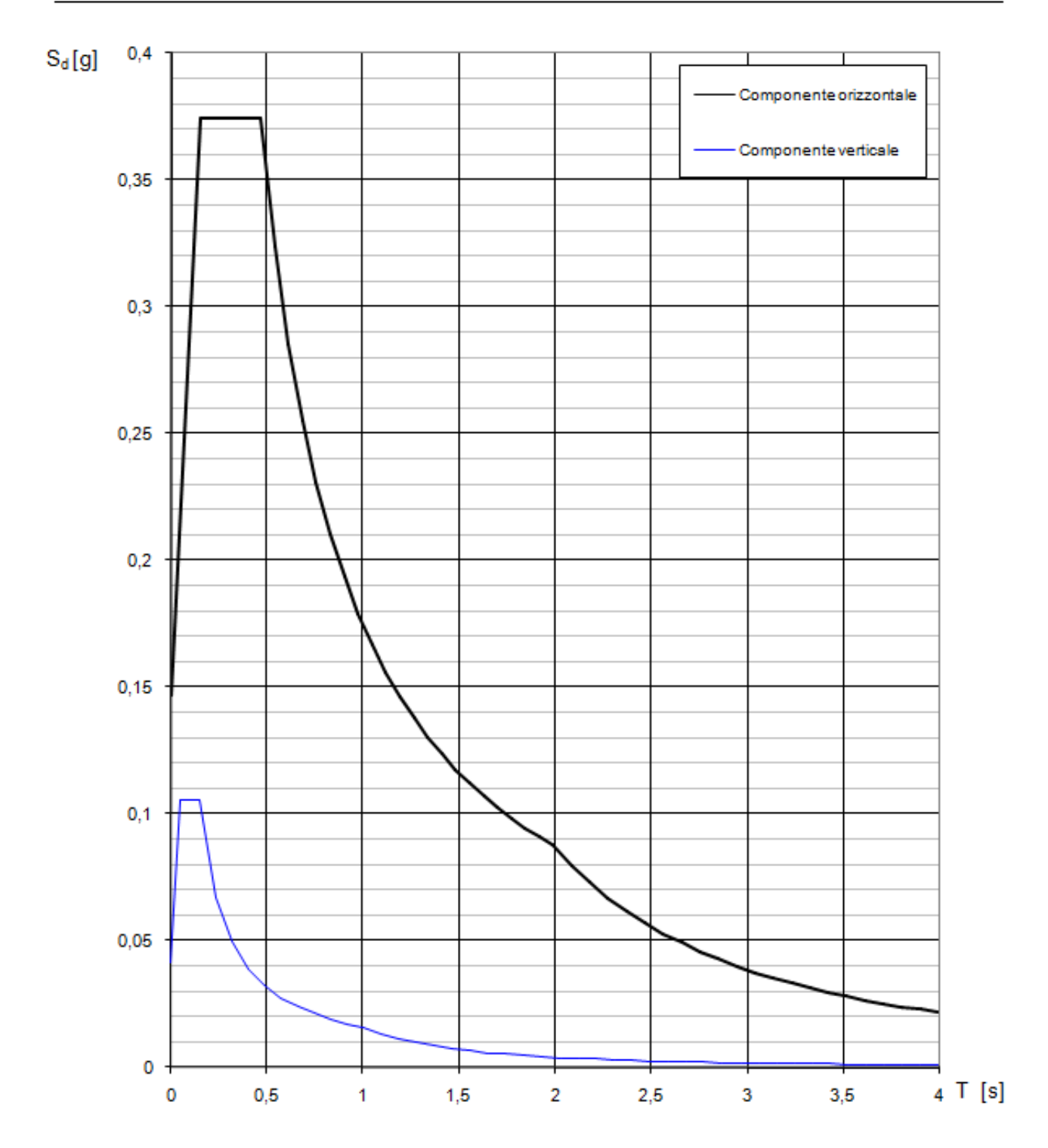






Nel diagramma successivo è riportato l'andamento dello spettro di risposta elastico per lo Stato Limite di Salvaguardia della Vita:

Spettri di risposta (componenti orizz. e vert.) per lo stato limite: SLV











Nella tabella successiva sono riportati analiticamente i parametri sismici ed i valori delle accelerazioni normalizzate in funzione del periodo di vibrazione:

Parametri e punti dello spettro di risposta orizzontale per lo stato limite: SLV

Parametri indipendenti

STATO LIMITE	SLV
a _o	0.098 g
F _o	2.552
T _C *	0.297 s
Ss	1.500
Cc	1.567
S _T	1.000
q	1.000

Parametri dipendenti

S	1.500		
η	1.000		
T _B	0.155 s		
Tc	0.466 s		
T _D	1.991 s		

Espressioni dei parametri dipendenti

$$\begin{split} S = & S_S \cdot S_T & \text{(NTC-08 Eq. 3.2.5)} \\ \eta = & \sqrt{10/(5 + \xi)} \ge 0,55; \; \eta = 1/q & \text{(NTC-08 Eq. 3.2.6; \$. 3.2.3.5)} \\ T_B = & T_C / 3 & \text{(NTC-07 Eq. 3.2.8)} \\ T_C = & C_C \cdot T_C^* & \text{(NTC-07 Eq. 3.2.7)} \\ T_D = & 4,0 \cdot a_g / g + 1,6 & \text{(NTC-07 Eq. 3.2.9)} \end{split}$$

Espressioni dello spettro di risposta (NTC-08 Eq. 3.2.4)

$$\begin{split} 0 \leq T < T_{_{B}} & \qquad S_{e}(T) \!=\! a_{g} \cdot S \cdot \eta \cdot F_{o} \cdot \! \left[\frac{T}{T_{B}} \!+\! \frac{1}{\eta \cdot F_{o}} \! \left(1 \!-\! \frac{T}{T_{B}} \right) \right] \\ T_{B} \leq T < T_{C} & \qquad S_{e}(T) \!=\! a_{g} \cdot S \cdot \eta \cdot F_{o} \\ T_{C} \leq T < T_{D} & \qquad S_{e}(T) \!=\! a_{g} \cdot S \cdot \eta \cdot F_{o} \cdot \! \left(\frac{T_{C}}{T} \right) \\ T_{D} \leq T & \qquad S_{e}(T) \!=\! a_{g} \cdot S \cdot \eta \cdot F_{o} \cdot \! \left(\frac{T_{C}T_{D}}{T^{2}} \right) \end{split}$$

Lo spettro di progetto S₄(T) per le verifiche agli Stati Limite Ultimi è ottenuto dalle espressioni dello spettro elastico S_a(T) sostituendo n con 1/g, dove g è il fattore di struttura. (NTC-08 § 3.2.3.5)

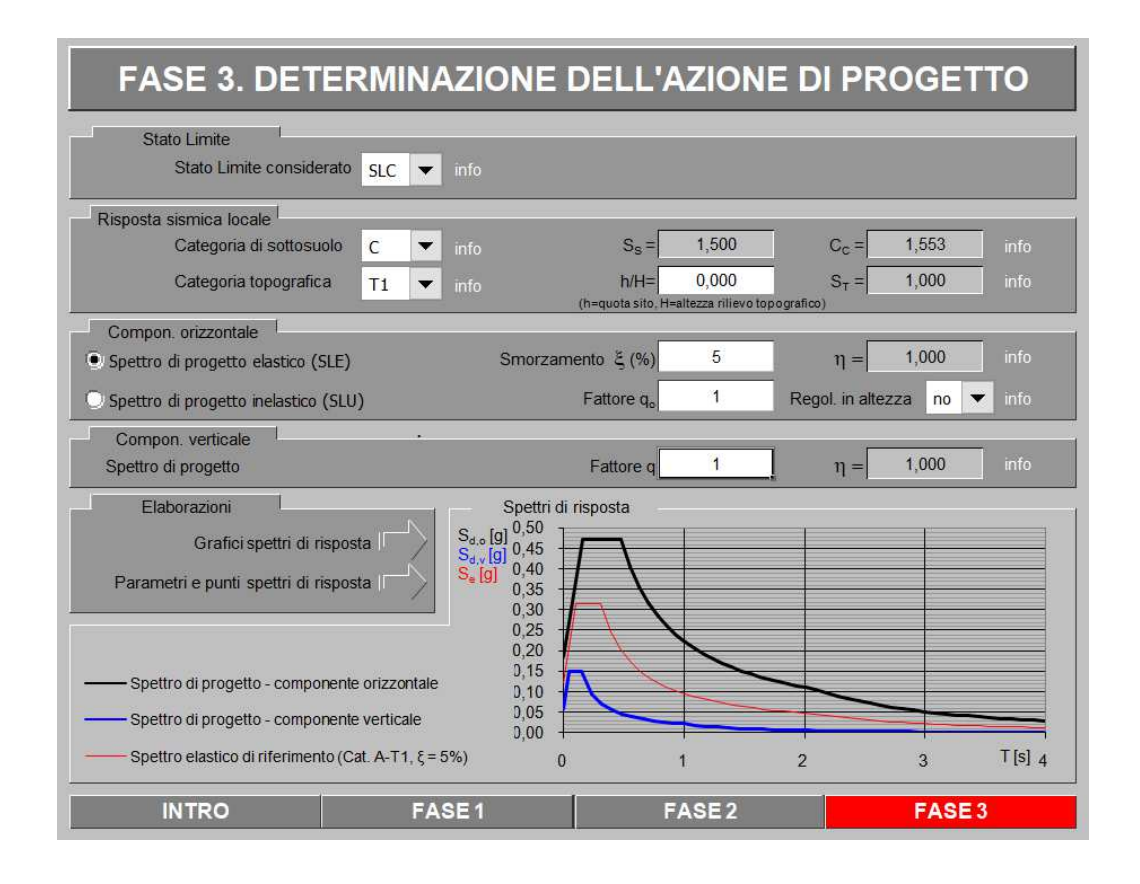
Punti dello spettro di risposta

	T [s]	Se [g]
	0.000	0.147
T _B ◀	0.155	0.374
Tc◀	0.466	0.374
	0.538	0.324
	0.611	0.285
	0.684	0.255
	0.756	0.231
	0.829	0.210
	0.902	0.193
	0.974	0.179
	1.047	0.167
	1.120	0.156
	1.192	0.146
	1.265	0.138
	1.337	0.130
	1.410	0.124
	1.483	0.118
	1.555	0.112
	1.628	0.107
	1.701	0.103
	1.773	0.098
	1.846	0.094
	1.919	0.091
Tp◀	1.991	0.088
	2.087	0.080
	2.183	0.073
	2.278	0.067
	2.374	0.062
	2.470	0.057
	2.565	0.053
	2.661	0.049
	2.756	0.046
	2.852	0.043
	2.948	0.040
	3.043	0.037
	3.139	0.035
	3.235	0.033
	3.330	0.031
	3.426	0.030
	3.522	0.028
	3.617	0.027
	3.713	0.025
	3.809	0.024
	3.904	0.023
	4.000	0.022



5.2

SPETTRO DI PROGETTO ELASTICO ALLO STATO LIMITE DI COLLASSO



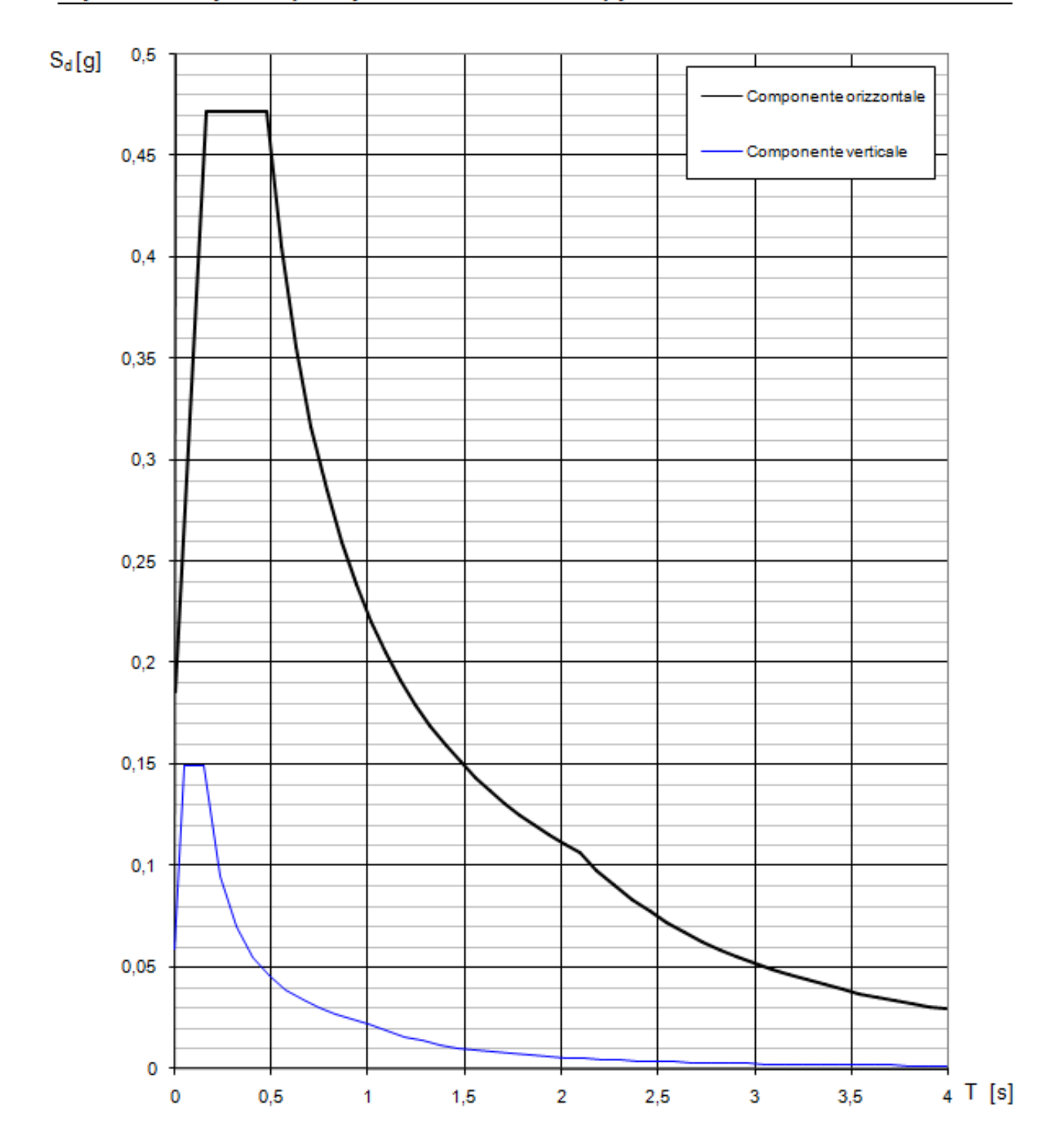






Nel diagramma successivo è riportato l'andamento dello spettro di risposta elastico per lo Stato Limite di Collasso:

Spettri di risposta (componenti orizz. e vert.) per lo stato limite: SLC









Nella tabella successiva sono riportati analiticamente i parametri sismici ed i valori delle accelerazioni normalizzate in funzione del periodo di vibrazione:

Parametri e punti dello spettro di risposta verticale per lo stato limite: SLC

Parametri indipendenti

STATO LIMITE	SLC
a _{nv}	0.059 g
Ss	1.000
St	1.000
q	1.000
T _B	0.050 s
Tc	0.150 s
TD	1.000 s

Parametri dipendenti

F _v	1.207
S	1.000
η	1.000

Espressioni dei parametri dipendenti

$$S = S_s \cdot S_T$$
 (NTC-08 Eq. 3.2.5)

$$\eta = 1/q$$
 (NTC-08 §. 3.2.3.5)

$$F_v = 1.35 \cdot F_o \cdot \left(\frac{a_v}{g}\right)^{0.5}$$
 (NTC-08 Eq. 3.2.11)

Espressioni dello spettro di risposta (NTC-08Eq. 3.2.10)

$$\begin{split} 0 &\leq T < T_B \\ S_e(T) &= a_g \cdot S \cdot \eta \cdot F_v \cdot \left[\frac{T}{T_B} + \frac{1}{\eta \cdot F_o} \left(1 - \frac{T}{T_B} \right) \right] \\ T_B &\leq T < T_C \\ S_e(T) &= a_g \cdot S \cdot \eta \cdot F_v \\ T_C &\leq T < T_D \\ S_e(T) &= a_g \cdot S \cdot \eta \cdot F_v \cdot \left(\frac{T_C}{T} \right) \\ T_D &\leq T \end{split}$$

Punti dello spettro di risposta

iiu u		ui fisposta
	T [s]	Se [g]
_	0.000	0.059
Тв◀	0.050	0.149
Tc◀	0.150	0.149
	0.235	0.095
	0.320	0.070
	0.405	0.055
	0.490	0.046
	0.575	0.039
	0.660	0.034
	0.745	0.030
	0.830	0.027
	0.915	0.024
T₀ ⋖ −	1.000	0.022
	1.094	0.019
	1.188	0.016
	1.281	0.014
	1.375	0.012
	1.469	0.010
	1.563	0.009
	1.656	0.008
	1.750	0.007
	1.844	0.007
	1.938	0.006
	2.031	0.005
	2.125	0.005
	2.219	0.005
	2.313	0.004
	2.406	0.004
	2.500	0.004
	2.594	0.003
	2.688	0.003
	2.781	0.003
	2.875	0.003
	2.969	0.003
	3.063	0.002
	3.156	0.002
	3.250	0.002
	3.344	0.002
	3.438	0.002
	3.531	0.002
	3.625	0.002
	3.719	0.002
	3.813	0.002
	3.906	0.001
	4.000	0.001



5.3 RIDUZIONE DELLO SPETTRO PER LA PRESENZA DELL'ISOLAMENTO SISMICO

Per ciascun valore di periodo T superiore a $(0.8^*T_{IS}) = 1.24$ s, il corrispondente valore di accelerazione spettrale viene diviso per il coefficiente $\eta = \sqrt{(10/5+\xi)} = 0.816$, dove $\xi = 10\%$. (Rif. Par. 7.10.5.3.2 di [1]).

Si ottengono i seguenti spettri orizzontali di progetto.

SLV - orizzontale (ridotto)

SLC - orizzontale (ridotto)

T [s]	Se [g]
0.000	0.147
0.155	0.374
0.466	0.374
0.538	0.324
0.611	0.285
0.684	0.255
0.756	0.231
0.829	0.210
0.902	0.193
0.974	0.179
1.047	0.167
1.120	0.156
1.192	0.146
1.265	0.138
1.337	0.130
1.410	0.124
1.483	0.096
1.555	0.092
1.628	0.087
1.701	0.084
1.773	0.080
1.846	0.077
1.919	0.074
1.991	0.072
2.087	0.065
2.183	0.060
2.278	0.055
2.374	0.050
2.470	0.046
2.565	0.043
2.661	0.040
2.756	0.037
2.852	0.035
2.948	0.033
3.043	0.031
3.139	0.029
3.235	0.027
3.330	0.026
3.426	0.024
3.522	0.023
3.617	0.022
3.713	0.021
3.809	0.020
3.904	0.019
4.000	0.018

T [s]	Se [g]
0.000	0.186
0.158	0.472
0.474	0.472
0.551	0.406
0.628	0.356
0.706	0.317
0.783	0.286
0.860	0.260
0.937	0.239
1.014	0.220
1.091	0.205
1.169	0.191
1.246	0.179
1.323	0.169
1.400	0.160
1.477	0.124
1.555	0.117
1.632	0.112
1.709	0.107
1.786	0.102
1.863	0.098
1.940	0.094
2.018	0.090
2.095	0.087
2.185	0.080
2.276	0.074
2.367	0.068
2.458	0.063
2.548	0.059
2.639	0.055
2.730	0.051
2.821	0.048
2.911	0.045
3.002	0.042
3.093	0.040
3.183	0.038
3.274	0.036
3.365	0.034
3.456	0.032
3.546	0.030
3.637	0.029
3.728	0.028
3.819	0.026
3.909	0.025
4.000	0.024



6 ANALISI DEI CARICHI

6.1 PESO PROPRIO DEGLI ELEMENTI IN CEMENTO ARMATO

Il peso per unità di volume del calcestruzzo armato è assunto pari a 25,00 kN/m³.

Il peso degli elementi costituenti le pile è assegnato in automatico dal software di calcolo mediante il quale è stato predisposto il modello di calcolo generale descritto nella *Relazione di calcolo impalcato* (elaborato **HH02-S43PO04STRRE02 B**).

6.2 AZIONI TRASMESSE DALL'IMPALCATO

Per l'analisi dei carichi agenti sull'impalcato <u>in fase statica e sismica</u> si rimanda alla *Relazione di calcolo impalcato* (elaborato **HH02-S43PO04STRRE02_B**).

6.3 SPINTA DEL TERRENO A TERGO DELLE SPALLE

La spinta del terreno a tergo delle opere è stata valutata considerando una condizione di riposo del terreno stesso.

La spinta del terreno viene pertanto valutata mediante la seguente relazione:

$$S_T = \frac{1}{2} \cdot \gamma \cdot k_0 \cdot H^2$$

dove:

- y è il peso per unità di volume del terreno
- k₀ è il coefficiente di spinta a riposo, valutato mediante la formulazione di Coulomb:

$$k_0 = 1 - sen(\varphi)$$

con:

- φ = angolo di attrito interno
- H è l'altezza complessiva dello strato di terreno.

Il punto di applicazione della spinta è posto a 1/3 dell'altezza del singolo strato di terreno.

6.4 SPINTA DOVUTA AI SOVRACCARICHI A TERGO DELLE SPALLE

La spinta dei sovraccarichi a tergo delle opere è stata valutata considerando una condizione di riposo del terreno.

La spinta dovuta ai sovraccarichi viene valutata mediante la seguente relazione:

$$S_q = q \cdot k_0 \cdot H$$

dove:

- q è l'entità del sovraccarico agente

Il sovraccarico permanente a tergo del muro è stato considerato pari al **peso della** pavimentazione stradale.

Il sovraccarico accidentale del traffico viene valutato secondo lo schema n. 1 riportato nel D.M. 14.01.2008 "Nuove Norme Tecniche per le Costruzioni", par. 5.1.3.3.3 e 5.1.3.3.5.

Per i muri direttamente a contatto con la piattaforma stradale verranno presi in considerazione carichi accidentali dovuti alla presenza di traffico stradale.

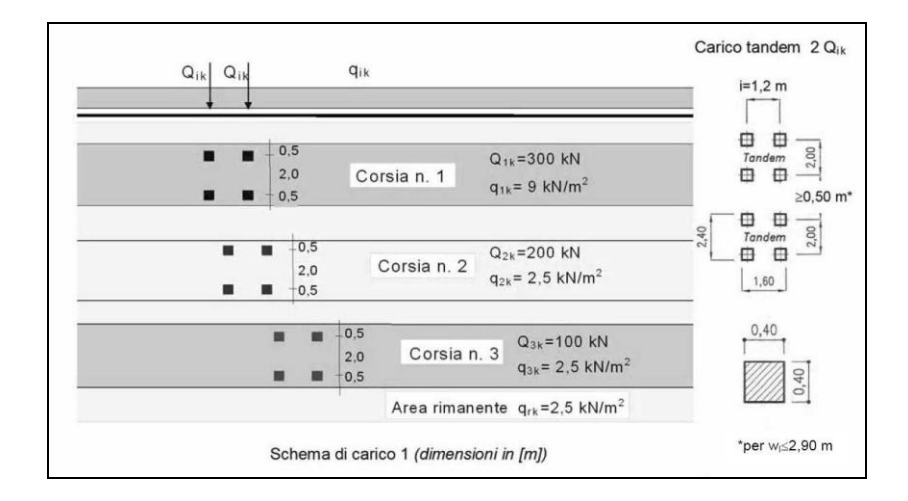
Verranno presi in esame in tal senso i carichi relativi esclusivamente alla prima corsia convenzionale

- 1ª corsia convenzionale

Q_{1a} = 2 x 300 kN disposti come in figura

 $q_{1a} = 9,00 \text{ kN/m}^2$





La diffusione del carico concentrato in corrispondenza dell'estradosso della soletta superiore vale: Per la valutazione della spinta totale diffusa viene utilizzata la seguente relazione:

$$S = \frac{h}{6} \cdot \left[\sigma \cdot \left(2 \cdot b + \overline{b} \right) + \overline{\sigma} \cdot \left(b + 2 \cdot \overline{b} \right) \right]$$

La larghezza di diffusione è valutata secondo la seguente relazione:

$$b_{eff} = \frac{1}{6} \cdot \left(b + \overline{b} + 2 \cdot h \right)$$

Il punto di applicazione della spinta dovute ai sovraccarichi è posto a 1/2 dell'altezza dell'elemento strutturale soggetto al sovraccarico.

6.5 AZIONE SISMICA

Le sollecitazioni agenti sulla struttura in fase sismica vengono determinate attraverso un'analisi pseudo-statica, secondo quanto riportato nel DM 14.01.2008 "Nuove norme tecniche per le costruzioni", paragrafo 7.11.6.

6.5.1 AZIONE INERZIALE DELLE MASSE

Le azioni inerziali, orizzontali e verticali, dovute alle accelerazioni subite in fase sismica dalle masse degli elementi strutturali e del terreno vengono valutate moltiplicando il peso sismico degli elementi strutturali per i coefficienti sismici orizzontale \mathbf{k}_h e verticale \mathbf{k}_v .

6.5.2 SOVRASPINTA DINAMICA DEI TERRENI

La sovraspinta dinamica dei terreni in fase sismica viene valutata mediante la relazione di Wood:

$$\Delta P = \gamma \cdot a_g \cdot S \cdot H^2$$

dove:

- y è il peso per unità di volume del terreno
- H è l'altezza della struttura soggetta alla spinta del terreno

7 COMBINAZIONI DI CARICO

Per la definizione delle combinazioni di carico statiche e simiche utilizzate per il dimensionamento e la verifica delle sottostrutture si rimanda alla *Relazione di calcolo impalcato* (elaborato **HH02-S43PO04STRRE02_B**).







SPALLE (TRAVI A CUSCINO) 8

Le azioni sollecitanti e le verifiche strutturali sono state condotte in corrispondenza della spalla dell'impalcato tipo A (più largo e maggiormente sollecitato).

Trattandosi di un viadotto isolato a campata unica le due spalle del medesimo viadotto risultano egualmente sollecitate.

8.1 SEZIONE DI SPICCATO DEL PARAGHIAIA - VALUTAZIONE DELLE AZIONI SOLLECITANTI

8.1.1 **DATI DI INPUT**

La valutazione delle azioni sollecitanti è stata eseguita, a favore di sicurezza, in corrispondenza dell'altezza massima del paraghiaia, che è risultata pari a 2,83 cm.

AZIONI VERTICALI PROVENIENI	•	PALLA		
PARAGHIAIA				
spessore		b _{Lo}	0,50	[m]
altezza		h _n	2,83	[m]
lunghezza		b _{Tp}	1,00	[m]
peso		W_p	35,38	[kN]
TERRENO DI RINTERRO				
peso per unità di volume		γ	20,00	[kN/m ³]
larghezza porzione superiore		$b_{Lr,s}$	0,00	[m]
lunghezza porzione superiore	$b_{Tr,s}$	1,00	[m]	
altezza porzione superiore		$h_{z,s}$	2,83	[m]
peso		W_r	0,00	[kN]
SOVRACCARICHI E	STERNI			
SOVRACCARICHI PERMANENTI PORTATI				
peso della pavimentazione per unità di superficie		S _{oo}	2,20	[kN/m²]
SOVRACCARICHI ACCIDENTALI				
carico concentrato da traffico		Q_{1k}	600,00	[kN]
carico distribuito da traffico		q_{1k}	9,00	$[kN/m^2]$
lunghezza dell'area di impronta del carico concentrato		a_0	3,00	[m]
larghezza dell'area di impronta del carico concentrato		b_0	2,20	[m]
angolo di ripartizione verticale del carico concentrato		α	30,00	[°]
lunghezza dell'area di impronta ripartita alla base del paraghiaia		a ₁	6,27	[m]
larghezza dell'area di impronta ripartita alla base del paraghiaia	a al naraghi	b ₁	3,83	[m]
pressione verticale esercitata dal sovraccarico concentrato in test pressione verticale esercitata dal sovraccarico concentrato alla ba			99,91 33,97	[kN/m²] [kN/m²]
larghezza efficace di ripartizione dei sovraccarichi accidentali:	ise dei pai a	ghiaia σ ₁ b _{eff}	7,46	[KIVIII]
FRENATURA SUL PARAGHIAIA				
carico concentrato da traffico (semiasse)		Q _{1k}	300,00	[kN]
carico distribuito da traffico		Q_{1k}	9,00	[kN/m²]
larghezza della corsia convenzionale		W ₁	3,00	[m]
lunghezza dell'impalcato		Ľ'	42,00	[m]
azione orizzontale della frenatura		F	473,40	[kN]
azione normale di frenatura ripartita alla base del paraghiaia (45°)		$N_{F,rip}$	34,64	[kN]
azione orizzontale di frenatura ripartita alla base del paraghiaia (45	°)	$H_{F,rip}$	54,67	[kN]
momento flettente di frenatura ripartito alla base del paraghiaia (45°	P)	$M_{F,rip}$	154,70	[kNm]
AZIONI ORIZZONTALI PROVENIE	TI DALLA	SPALLA		
SPINTA DEL CUNEO DI TERRENO				
parametri geotecnici		M1	M2	
coefficiente parziale di sicurezza	$\gamma_{\phi'}$	1,00	1,25	
angolo di attrito del terreno - valore caratteristico	φ' _k	37,00	37,00	[°]
angolo di attrito del terreno - valore di progetto	ϕ'_d	37,00	31,08	[°]
angolo di attrito terreno - parete	δ	24,67	20,72	[°]
coefficiente di spinta a riposo	.k ₀	0,398	0,484	
componente orizzontale del coefficiente di spinta a riposo	k _{0h}	0,362	0,452	r1
altezza di terreno non spingente	h	0,00	0,00	[m]
spinta orizzontale terreno momento terreno base paraghiaia	S _z	28,98 27,34	36,23 34,18	[kN] [kNm]
montonio torrono baso paragrilaia	M_{Tz}	21,07	J-7, 10	[izi zii i]





\$
anas

SOVRACCARICHI PERMANENTI PORTATI				
parametri geotecnici		М1	М2	
carico uniformemente distribuito per unità di superficie	q	2,20	2,20	[kN/m²]
spinta orizzontale carichi permanenti portati	S_z	2,25	2,82	[kN]
momento carichi permanenti portati base paraghiaia	M_{Tz}	3,19	3,99	[kNm]
SOVRACCARICHI PERMANENTI PORTATI				
parametri geotecnici		M1	М2	
spinta orizzontale carichi permanenti portati	S_z	49,31	61,65	[kN]
momento carichi permanenti portati base paraghiaia	M_{Tz}	72,58	90,75	[kNm]
AZIONE SISI	MICA			
PARAMETRI DI ANALISI				
coefficiente sismico orizzontale		k _h	0,147	
coefficiente sismico verticale		k_v	0,074	
PARAGHIAIA				
peso		W_p	35,38	[kN]
azione sismica		F_L	5,20	[kN]
momento base paraghiaia		M_{Tz}	7,36	[kNm]
TERRENO DI RINTERRO				
peso		W_{m}	0,00	[kN]
azione sismica		F_L	0,00	[kN]
momento base paraghiaia		M_{Tz}	0,00	[kNm]
CUNEO DI TERRENO				
metodo di analisi			WOOD	
sovraspinta dinamica del terreno		Sz	23,55	[kN]
eccentricità rispetto alla base del paraghiaia		e_{Vz}	1,42	[m]
momento base paraghiaia		M_{Tz}	33,32	[kNm]

8.1.2 RIEPILOGO DEI VALORI CARATTERISTICI DELLE AZIONI SOLLECITANTI

RIEPILOGO AZIONI SOLLECITANTI - VALORI CARATTERISTICI (M1)

AZIONE		N [kN]	V _L [kN]	$M_{T}[kNm]$
peso proprio paraghiaia	g ₁	35,38	0,00	0,00
spinta del terreno	g_2	0,00	28,98	27,34
spinta dei sovraccarichi permanenti	g_3	0,00	2,25	3,19
spinta sovraccarichi variabili	q_1	0,00	49,31	72,58
frenatura/accelerazione	f	34,64	34,64	154,70
sisma longitudinale	e_L	0,00	28,75	40,68

RIEPILOGO AZIONI SOLLECITANTI - VALORI CARATTERISTICI (M2)

AZIONE		N [kN]	V _L [kN]	$M_T[kNm]$
peso proprio spalla	g ₁	35,38	0,00	0,00
spinta del terreno	g_2	0,00	36,23	34,18
spinta dei sovraccarichi permanenti	g_3	0,00	2,82	3,99
spinta sovraccarichi variabili	q_1	0,00	61,65	90,75
frenatura/accelerazione	f	34,64	34,64	154,70
sisma longitudinale	e_L	0,00	28,75	40,68







8.1.3 RIEPILOGO DEI VALORI DI CALCOLO DELLE AZIONI SOLLECITANTI

M-[kNm]

	T	Ψ	[A [[v:a]	IALL [LY LAHIT]
g ₁	1,00	1,00	35,38	0,00	0,00
g_2	1,00	1,00	0,00	28,98	27,34
g ₃	1,00	1,00	0,00	2,25	3,19
q_1	0,00	0,00	0,00	0,00	0,00
f	1,00	0,00	0,00	0,00	0,00
e_L	0,00	0,00	0,00	0,00	0,00
			35,38	31,23	30,53
		COMBI	NAZIONE SLE	- FREQUENTE	
	γ	Ψ	N [kN]	V _∟ [kN]	$M_{T}[kNm]$
g ₁	1,00	1,00	35,38	0,00	0,00
g_2	1,00	1,00	0,00	28,98	27,34
g_3	1,00	1,00	0,00	2,25	3,19
q_1	1,00	0,75	0,00	36,98	54,44
f	1,00	0,00	0,00	0,00	0,00
$e_{\scriptscriptstyle L}$	0,00	0,00	0,00	0,00	0,00
			35,38	68,22	84,96
		COMB	INAZIONE SLI	E - RARA 01	
	γ	Ψ	N [kN]	V _∟ [kN]	$M_{T}[kNm]$
g_1	1,00	1,00	35,38	0,00	0,00
g_2	1,00	1,00	0,00	28,98	27,34
g_3	1,00	1,00	0,00	2,25	3,19
q_1	1,00	1,00	0,00	49,31	72,58
f	1,00	0,00	0,00	0,00	0,00
e_L	0,00	0,00	0,00	0,00	0,00
			35,38	80,54	103,11

COMBINAZIONE SLE- QUASI PERMANENTE

N[kN]

COMBINAZIONE SLE - RARA 02								
	γ	Ψ	N [kN]	V _L [kN]	$M_{T}[kNm]$			
g ₁	1,00	1,00	35,38	0,00	0,00			
g_2	1,00	1,00	0,00	28,98	27,34			
gз	1,00	1,00	0,00	2,25	3,19			
q_1	1,00	0,75	0,00	36,98	54,44			
f	1,00	1,00	34,64	34,64	154,70			
e_{L}	0,00	0,00	0,00	0,00	0,00			
			70,02	102,86	239,67			

COMBINAZIONE SLU - STR 01							
	γ	Ψ	N [kN]	V _L [kN]	$M_{T}[kNm]$		
g ₁	1,35	1,00	47,76	0,00	0,00		
g_2	1,35	1,00	0,00	39,12	36,91		
g ₃	1,35	1,00	0,00	3,04	4,30		
q_1	1,35	1,00	0,00	66,57	97,99		
f	1,50	0,00	0,00	0,00	0,00		
e_L	0,00	0,00	0,00	0,00	0,00		
_			47,76	108,73	139,20		

COMBINAZIONE SLU - STR 02								
	γ	Ψ	N [kN]	V _L [kN]	$M_{T}[kNm]$			
g ₁	1,35	1,00	47,76	0,00	0,00			
g_2	1,35	1,00	0,00	39,12	36,91			
g ₃	1,35	1,00	0,00	3,04	4,30			
q_1	1,35	0,75	0,00	49,93	73,49			
f	1,50	1,00	51,96	51,96	232,05			
e_{l}	0,00	0,00	0,00	0,00	0,00			
=			99.72	144.05	346.75			

	COMBINAZIONE SLU - SISMA 01						
	γ	Ψ	N [kN]	V _L [kN]	$M_{T}[kNm]$		
g ₁	1,00	1,00	35,38	0,00	0,00		
g_2	1,00	1,00	0,00	28,98	27,34		
g ₃	1,00	1,00	0,00	2,25	3,19		
q_1	0,00	0,00	0,00	0,00	0,00		
f	0,00	0,00	0,00	0,00	0,00		
e_{l}	1,00	1,00	0,00	28,75	40,68		
_			35,38	59,98	71,20		

8.2 SEZIONE DI SPICCATO DEL PARAGHIAIA - VERIFICHE STRUTTURALI

8.2.1 SEZIONE E ARMATURA DI VERIFICA

La sezione di verifica è rettangolare con base pari a 100 cm (striscia di larghezza unitaria) e altezza pari a **50 cm**.

L'armatura verticale (armatura di forza) è costituita da:

- Ø20/10 lato interno (lato terreno)
- Ø16/20 lato esterno (lato impalcato)

L'armatura orizzontale di ripartizione è costituita da:

- Ø16/20 lato interno (lato terreno)
- Ø16/20 lato esterno (lato impalcato)

Non è prevista alcuna specifica armatura a taglio. Vengono tuttavia disposte legature trasversali costituite da spille Ø12/40x40. Il copriferro netto minimo è assunto pari a 40 mm.

Trattandosi di impalcati isolati sismicamente le sottostrutture sono state dimensionate adottando uno spettro di risposta elastico (q = 1,00). Secondo quanto previsto dal D.M. 14.01.2008 -Paragrafo 7.9.6.2 non risulta necessario disporre specifiche armature atte a garantire la duttilità dell'elemento strutturale né a rispettare i limiti dimensionali previsti per tale tipologia di armatura.





Analogamente le limitazioni dimensionali e di armatura verranno definite in relazione a quanto previsto dal D.M. 14.01.2008 – Paragrafo 4.1.6.1.2.

A favore di sicurezza, per la verifica delle limitazioni dimensionali e di armatura, non è stato tenuto conto di:

- Azione verticale di compressione sulla sezione
- Presenza delle spille Ø12/40x40 (parallele all'asse dell'impalcato) che consentono un incremento del valore di taglio "trazione" e dell'effetto di confinamento sul calcestruzzo

PILASTRO IN CEMENTO ARMATO - VERIFICA DELLE LIMITAZIONI DI ARMATURA D.M. 14.01.2008 - par. 4.1.6.1.2							
CARATTERISTICHE DEI MATERIALI							
Classe di resistenza del calcestruzzo:					C32/40	_	
Tipologia dell'acciaio:					B450C	-	
Resistenza di calcolo dell'acciaio:				f_{yd}	391,30	[N/mm²]	
CARATTERISTICHE GEOMETRICHE DEL	PILASTRO)					
Base della sezione del pilastro:				b_t	1.330,00	[cm]	
Altezza della sezione del pilastro:				h	40,00	[cm]	
Copriferro netto				С	4,00	[cm]	
Numero di barre sul lato interno del setto (a	ırmature di	forza):		$n_{bl,max}$	132		
Diametro delle barre sul lato interno del sett	to (armatur	e di forza):		$\mathcal{O}_{bl,max}$	20	[mm]	
Numero di barre sul lato esterno del setto:				$n_{bl,min}$	66		
Diametro delle barre sul lato esterno del se	tto:			$\mathcal{O}_{bl,min}$	16	[mm]	
Area dell'armatura longitudinale:				A_s	1.106,840	[cm²]	
Rapporto geometrico di armatura:				ρ	0,021		
Azione normale di compressione minima su	ıl pilastro:			N_{ed}	125,42	[kN]	
Numero di bracci delle staffe:				n_w	2		
Diametro delle staffe:				\emptyset_{w}	16	[mm]	
Passo delle staffe:				i _w	20,00	[cm]	
Area delle staffe:				A_{w}	20,10	[cm ² /m]	
VERIFICHE DIMENSIONALI - D.M. 14.01.2	008 - par.	4.1.6.1.2					
$A_{s} \ge A_{s,mn} = max[0,10 \cdot N_{ed}/f_{vd};0,003 \cdot Ac] \rightarrow 1.106,84 \ge$			159,60	POSITIVA			
$\emptyset_w \ge 6 mm$	\rightarrow	16	≥	6	POSITIVA		
$\emptyset_w \ge 1/4 \cdot max[\emptyset_b]$	\rightarrow	16	≥	5,00	POSIT	ΓIVΑ	
$i_w \le 12 \cdot min[\emptyset_b]$	\rightarrow	200,00	≤	240,00	POSITIVA		
i _w ≤ 250 mm	\rightarrow	200,00	≤	250,00	POSI	ΓΙVΑ	





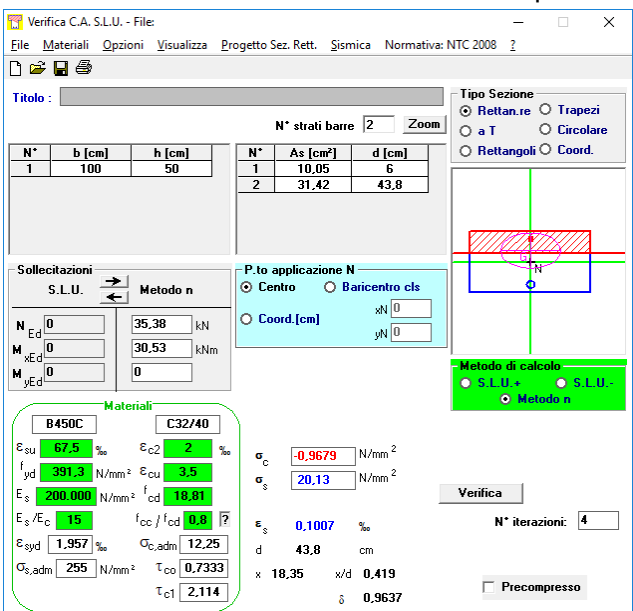




8.2.2 VERIFICA ALLO STATO LIMITE DI LIMITAZIONE DELLE TENSIONI – COMBINAZIONE QUASI **PERMANENTE**

L'azione normale di calcolo è assunta pari a N_{Sd} = 35,38 kN.

Il momento flettente di calcolo è assunto pari a M_{Sd} = 30,53 kNm.



Le tensioni sui materiali risultano pari a:

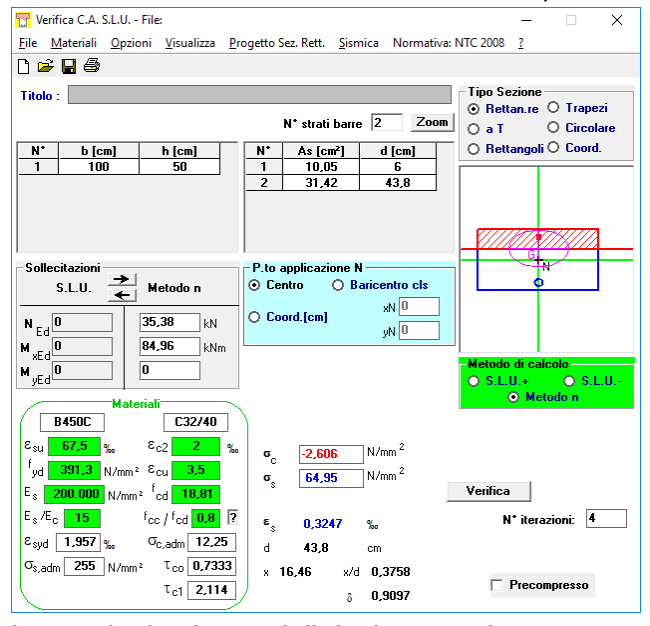
- $\sigma_c = 0.96 \text{ N/mm}^2 < 0.45 \cdot f_{ck} = 14.94 \text{ N/mm}^2$
- $\sigma_s = 20,13 \text{ N/mm}^2 < 0.80 \cdot f_{vk} = 360,00 \text{ N/mm}^2$

La verifica risulta pertanto soddisfatta.

VERIFICA ALLO STATO LIMITE DI LIMITAZIONE DELLE TENSIONI – COMBINAZIONE FREQUENTE

L'azione normale di calcolo è assunta pari a N_{Sd} = 35,38 kN.

Il momento flettente di calcolo è assunto pari a M_{Sd} = 84,96 kNm.



Le tensioni sui materiali risultano pari a:

- $\sigma_c = 2,60 \text{ N/mm}^2 < 0,45 \cdot f_{ck} = 14,94 \text{ N/mm}^2$
- $\sigma_s = 64,95 \text{ N/mm}^2 < 0.80 \cdot f_{vk} = 360,00 \text{ N/mm}^2$

La verifica risulta pertanto soddisfatta.



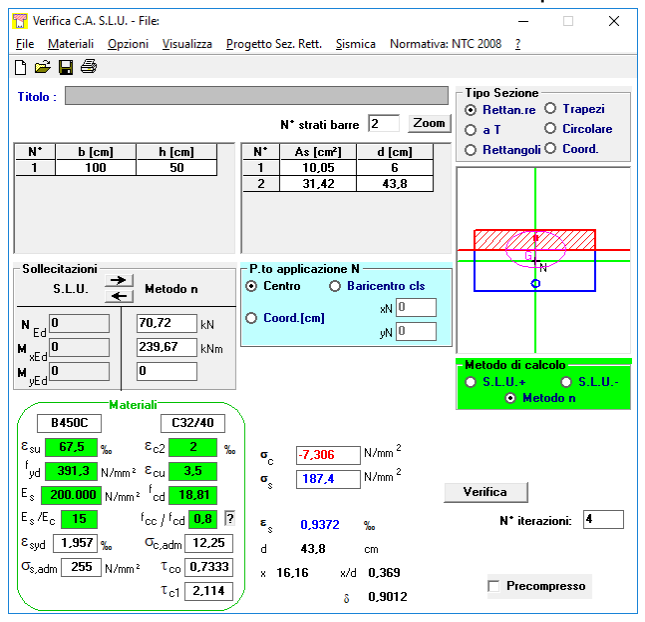




8.2.4 VERIFICA ALLO STATO LIMITE DI LIMITAZIONE DELLE TENSIONI – COMBINAZIONE RARA

L'azione normale di calcolo è assunta pari a N_{Sd} = 70,72 kN.

Il momento flettente di calcolo è assunto pari a Msd = 239,67 kNm.



Le tensioni sui materiali risultano pari a:

- $\sigma_c = 7,30 \text{ N/mm}^2 < 0,60 \cdot f_{ck} = 19,92 \text{ N/mm}^2$
- $\sigma_s = 187,40 \text{ N/mm}^2 < 0,80 \cdot f_{vk} = 360,00 \text{ N/mm}^2$

La verifica risulta pertanto soddisfatta.







8.2.5 VERIFICA ALLO STATO LIMITE DI FESSURAZIONE

La verifica semplificata allo SL di fessurazione viene condotta secondo quanto previsto dalla Circolare C.S.LL.PP. n.617 del 02.02.2009, par. C4.1.2.2.4.6, tab. C4.1.III e C4.1.III.

TABELLA C4.1.II - Diametri massimi delle barre per il controllo di fessurazione								
Tensione nell'acciaio	Diam	Diametro massimo Ø delle barre [mm]						
$\sigma_{\rm s}$ [N/mm ²]	w ₃ = 0,40 mm	$w_3 = 0,40 \text{ mm}$ $w_2 = 0,30 \text{ mm}$ $w_1 = 0,20 \text{ mm}$						
160	40	32	25					
200	32	25	16					
240	20	16	12					
280	16	12	8					
320	12	10	6					
360	10	8	0					

TABELLA C4.1.III - Spaziatura massima delle barre per il controllo di fessurazione								
Tensione nell'acciaio	Spaziatura	Spaziatura massima s delle barre delle barre [mm]						
$\sigma_{\rm s} [{\rm N/mm}^2]$	$w_3 = 0.40 \text{ mm}$	$w_3 = 0,40 \text{ mm}$ $w_2 = 0,30 \text{ mm}$ $w_1 = 0,20 \text{ mm}$						
160	300	300	200					
200	300	250	150					
240	250	200	100					
280	200	150	50					
320	150	100	0					
360	100	50	0					

CRITERI DI SCELTA DELLO STATO LIMITE DI FESSURAZIONE

I criteri di scelta dello Stato Limite di fessurazione sono definiti secondo quanto riportato dal D.M. 14.01.2008, par. 4.1.2.2.4.5, tab. 4.1.IV.

COMBINAZIONE ALLO S.L.E. QUASI PERMANENTE Stato limite: apertura fessure Ampiezza massima delle fessure: $w_d \le$ w1 $[N/mm^2]$ Tensione massima nell'acciaio calcolata: 20,13 $\sigma_{\text{s,max}}$ Diametro massimo delle barre di armature poste in opera: 20 [mm] $Ø_{max}$ Spaziatura massima delle barre di armatura poste in opera: 100,00 [mm] s_{max}

Diametro massimo delle barre di armatura consentito: \emptyset_{max} 25,00 [mm] Spaziatura massima delle barre di armatura consentita: s_{max} 200,00 [mm]

VERIFICA POSITIVA

COMBINAZIONE ALLO S.L.E. FREQUENTE							
Stato limite: Ampiezza massima delle fessure:	w _d ≤	apertura fessure w2					
Tensione massima nell'acciaio calcolata: Diametro massimo delle barre di armature poste in Spaziatura massima delle barre di armatura poste	•	$\sigma_{ m s,max}$ $arnothing_{ m max}$ $\sigma_{ m s}$	64,95 20 100,00	[N/mm²] [mm] [mm]			
Diametro massimo delle barre di armatura conser Spaziatura massima delle barre di armatura conse	Ø _{max} s _{max}	32,00 300,00	[mm] [mm]				
VERIF	ICA POSITIVA						





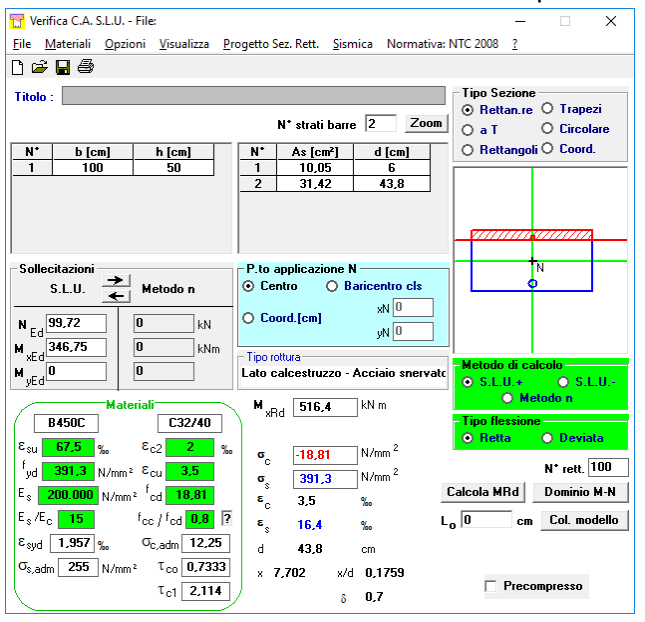




8.2.6 VERIFICA ALLO STATO LIMITE ULTIMO PER PRESSOFLESSIONE RETTA

L'azione normale di calcolo è assunta pari a N_{Sd} = 99,72 kN.

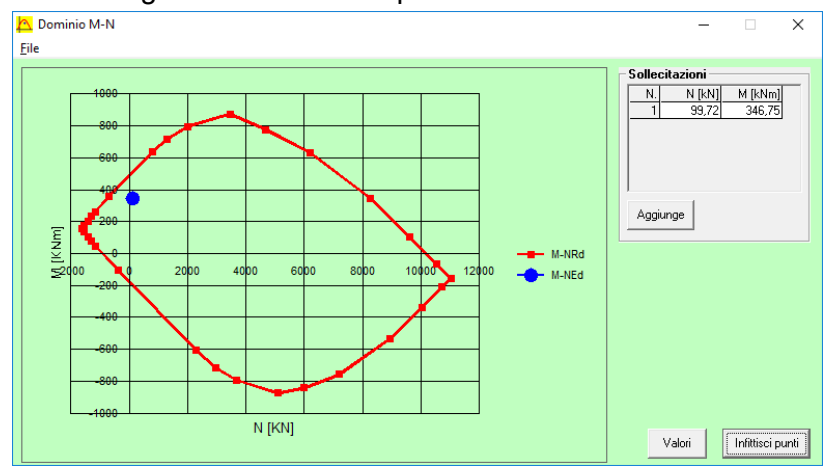
Il momento flettente di calcolo è assunto pari a M_{Sd} = 346,75 kNm.



Il momento resistente risulta pari a:

 $M_{Sd} = 516,40 \text{ kNm} > M_{Sd} = 346,75 \text{ kNm}$

Nell'immagine successiva è riportato il dominio di resistenza della sezione:



La verifica risulta pertanto soddisfatta.







▼



8.2.7 VERIFICA ALLO STATO LIMITE ULTIMO PER TAGLIO

L'azione tagliante di calcolo è assunta pari a V_{sd} = 144,05 kN.

CARATTERISTICHE GEOMETRICHE DELLA SEZIONE

Base della sezione trasversale: b	100,00	[cm]
Altezza della sezione trasversale:	50,00	[cm]
Copriferro netto: c	4,00	[cm]
Altezza utile della sezione: d	46,00	[cm]

CARATTERISTICHE DEI MATERIALI

Classe di resistenza del calcestruzzo: C32/40

 $[N/mm^2]$ Resistenza caratteristica cubica a compressione: 40,00 R_{ck} [N/mm²]Resistenza caratteristica cilindrica a compressione: 33,20 f_{ck} [N/mm²]Resistenza di calcolo a compressione: 18,81 f_{cd}

Tipologia dell'acciaio da armatura: B450C ▾

[N/mm²]540,00 Tensione caratteristica di rottura: f_{tk} $[N/mm^2]$ Tensione caratteristica di snervamento: 450,00 f_{vk} Resistenza di calcolo: 391,30 [N/mm²] f_{vd}

AZIONI SOLLECITANTI DI CALCOLO

Azione tagliante di calcolo: 144,05 [kN] $V_{S,d}$ Azione normale di calcolo: $N_{\text{S,d}}$ 0,00 [kN]

ARMATURA LONGITUDINALE

Primo strato di armatura tesa:

Infittimento primo strato di armatura tesa:

Secondo strato di armatura tesa:

Infittimento secondo strato di armatura tesa:

AREA TOTALE DELLE BARRE DI ARMATURA TESA

n _{barre}	\emptyset_{barre} [mm]	A _{barra} [cm²]	A _{s,tot} [cm ²]
10	20	3,14	31,40
		0,00	0,00
		0,00	0,00
		0,00	0,00
			31,40

VERIFICA ALLO S.L.U. PER TAGLIO

La verifica allo S.L.U. per taglio viene condotta secondo quanto previsto dal D.M. 14.01.2008, par.4.1.2.1.3.1

$$V_{Rd} = \left\{ \frac{0.18 \cdot k \cdot \left(100 \cdot \rho_1 \cdot f_{ck}\right)^{1/3}}{\gamma_c} + 0.15 \cdot \sigma_{cp} \right\} \cdot b_w \cdot d \ge \left(v_{\min} + 0.15 \cdot \sigma_{cp}\right) \cdot b_w \cdot d$$

Coefficiente k: k 1,66 Coefficiente v_{min}: 0,431 V_{min} Rapporto geometrico di armatura longitudinale: 0,0068 ρ_1 [N/mm²]Tensione media di compressione nella sezione: 0,000 σ_{cp} Larghezza minima della sezione: 100,00 [cm] b_w

AZIONE TAGLIANTE RESISTENTE DELLA SEZIONE: 259,21 [kN] $V_{R,d}$ **COEFFICIENTE DI SICUREZZA:** 1,80 $F_S=V_{R,d}/V_{S,d}$

LA VERIFICA RISULTA POSITIVA





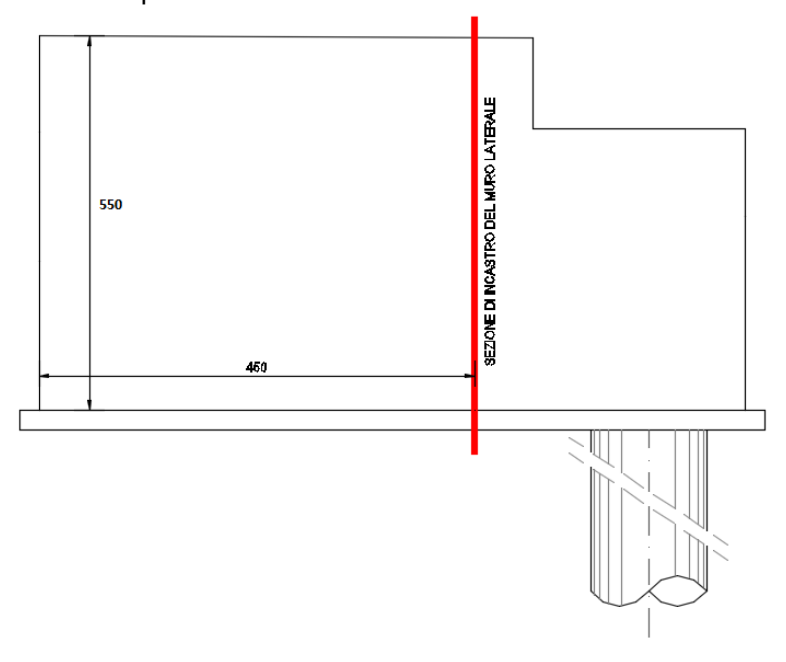


8.3 SEZIONE DI SPICCATO DEI MURI DI RISVOLTO LATERALI - VALUTAZIONE DELLE AZIONI SOLLECITANTI

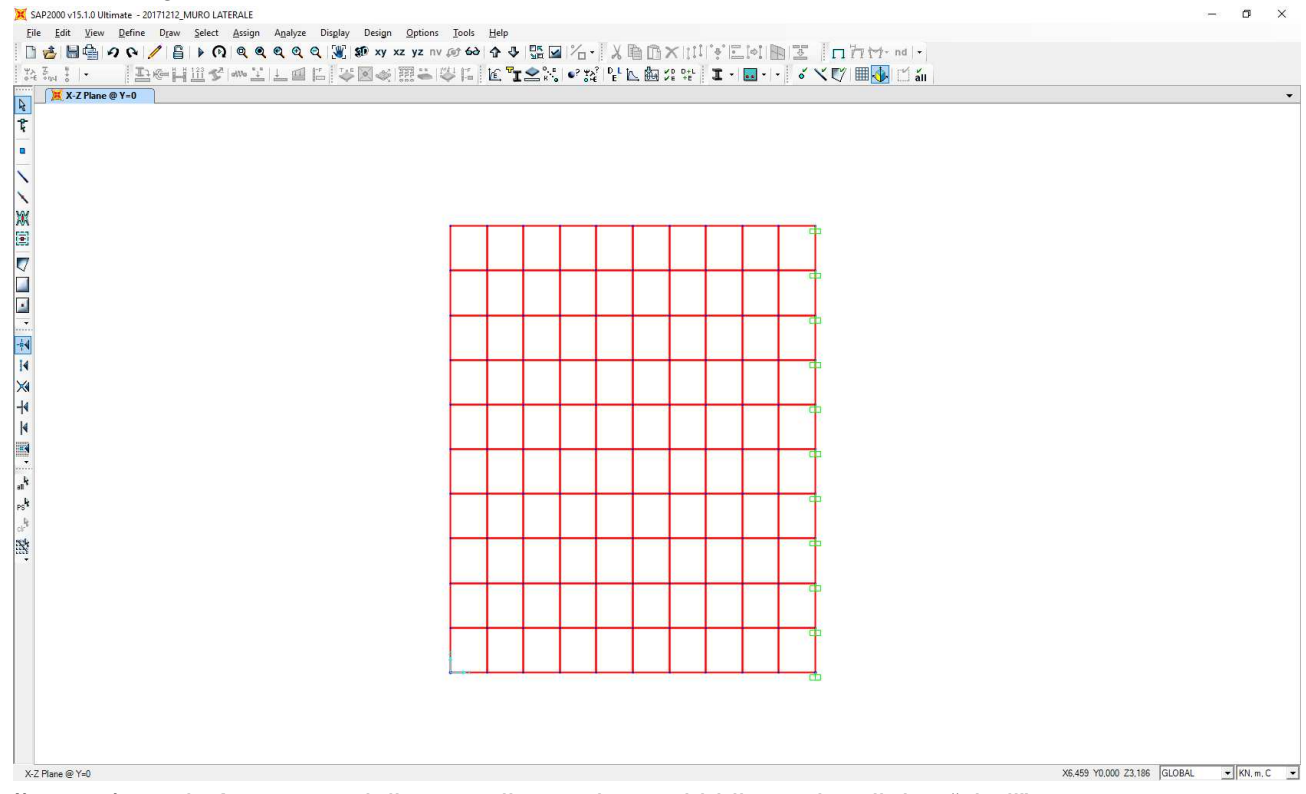
8.3.1 SCHEMA E MODELLO DI CALCOLO

Per la loro conformazione i muri di risvolto laterali presentano uno schema statico di trave a mensola in direzione orizzontale. Le armature di forza saranno costituite pertanto dalle armature orizzontali.

Nell'immagine successiva è riportato lo schema di calcolo dei muri laterali:



Per la valutazione delle azioni sollecitanti sul muro laterale è stato approntato un apposito modello di calcolo agli elementi finiti mediante il software di calcolo SAP2000 v.15.1:



Il muro laterale è stato modellato mediante elementi bidimensionali tipo "shell" con comportamento a lastra – piastra. Il muro è stato vincolato verticalmente su un singolo lato mediante vincoli di incastro.

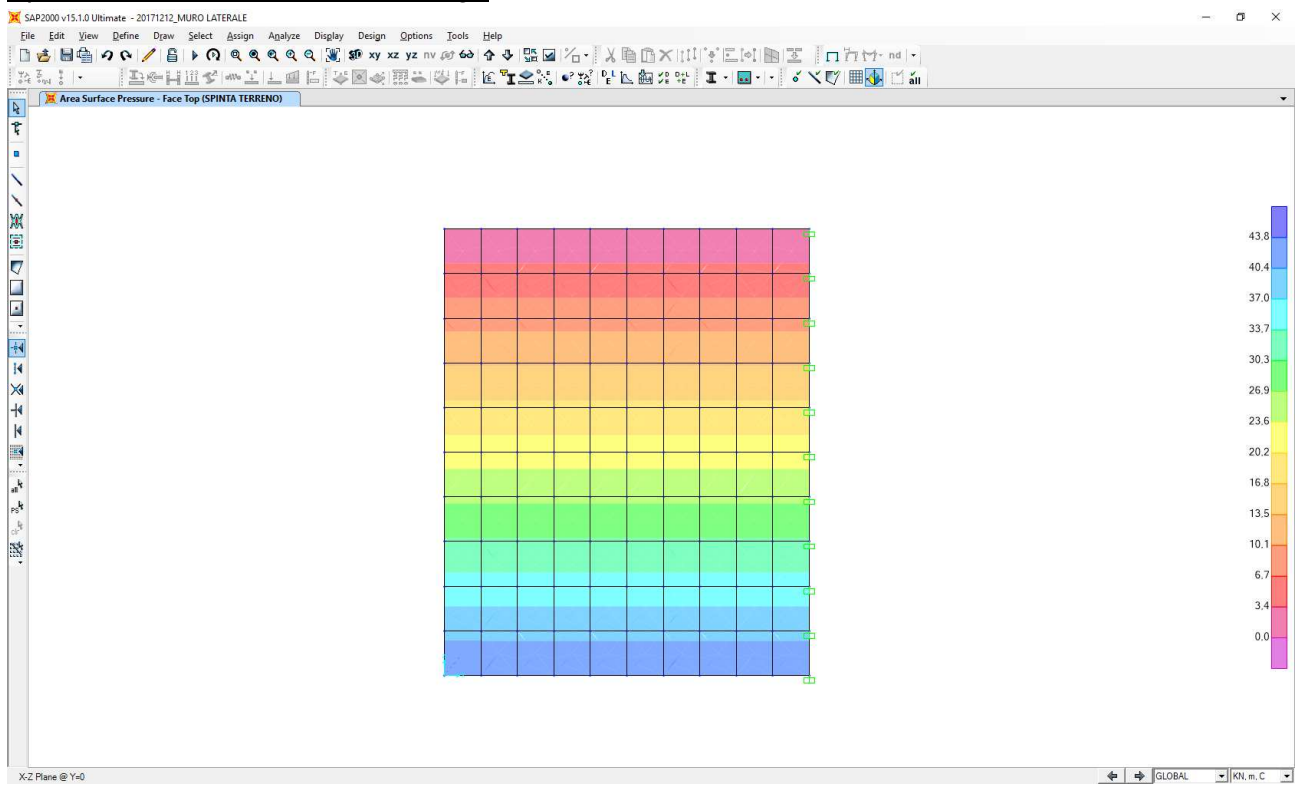




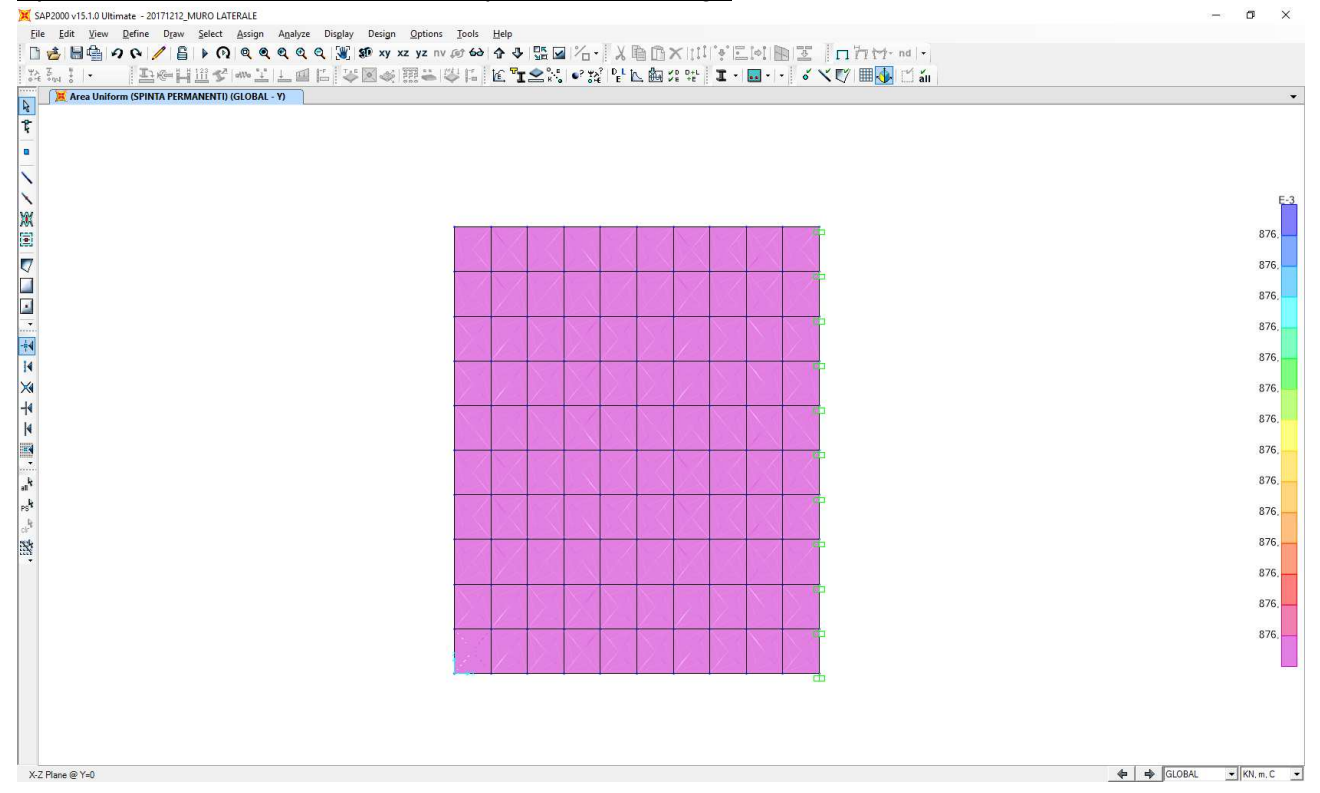


8.3.2 **APPLICAZIONE DEI CARICHI ELEMENTARI**

Spinta orizzontale del terreno a tergo



Spinta orizzontale dei sovraccarichi permanenti a tergo



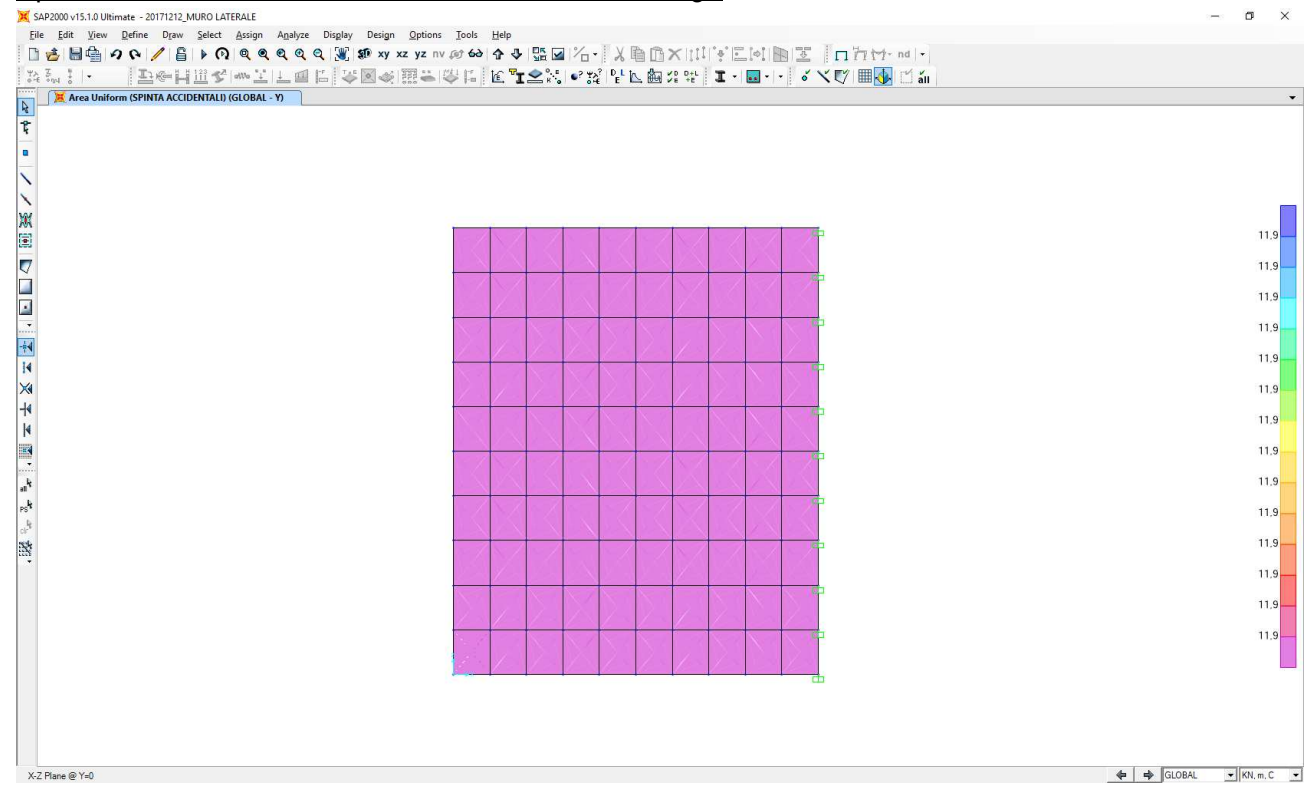




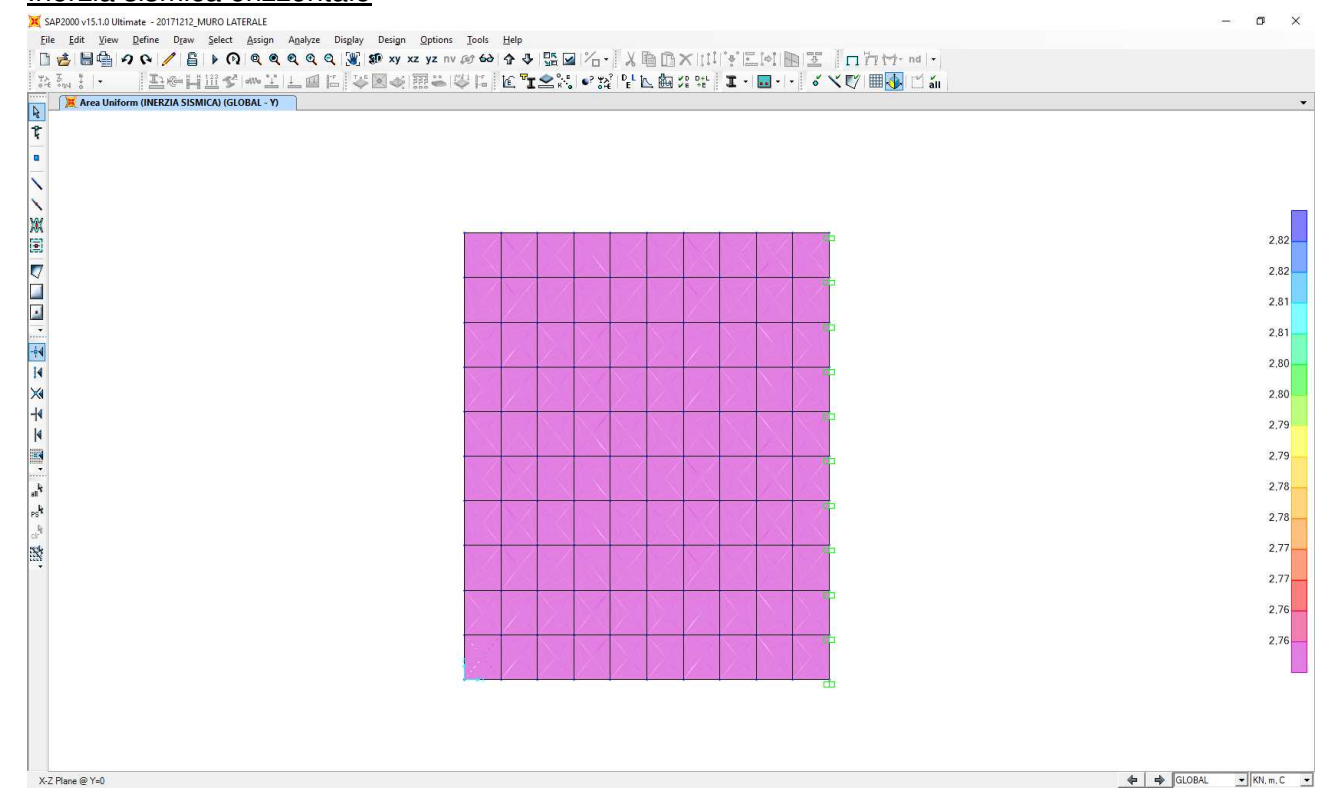
ARKE'



Spinta orizzontale dei sovraccarichi accidentali a tergo



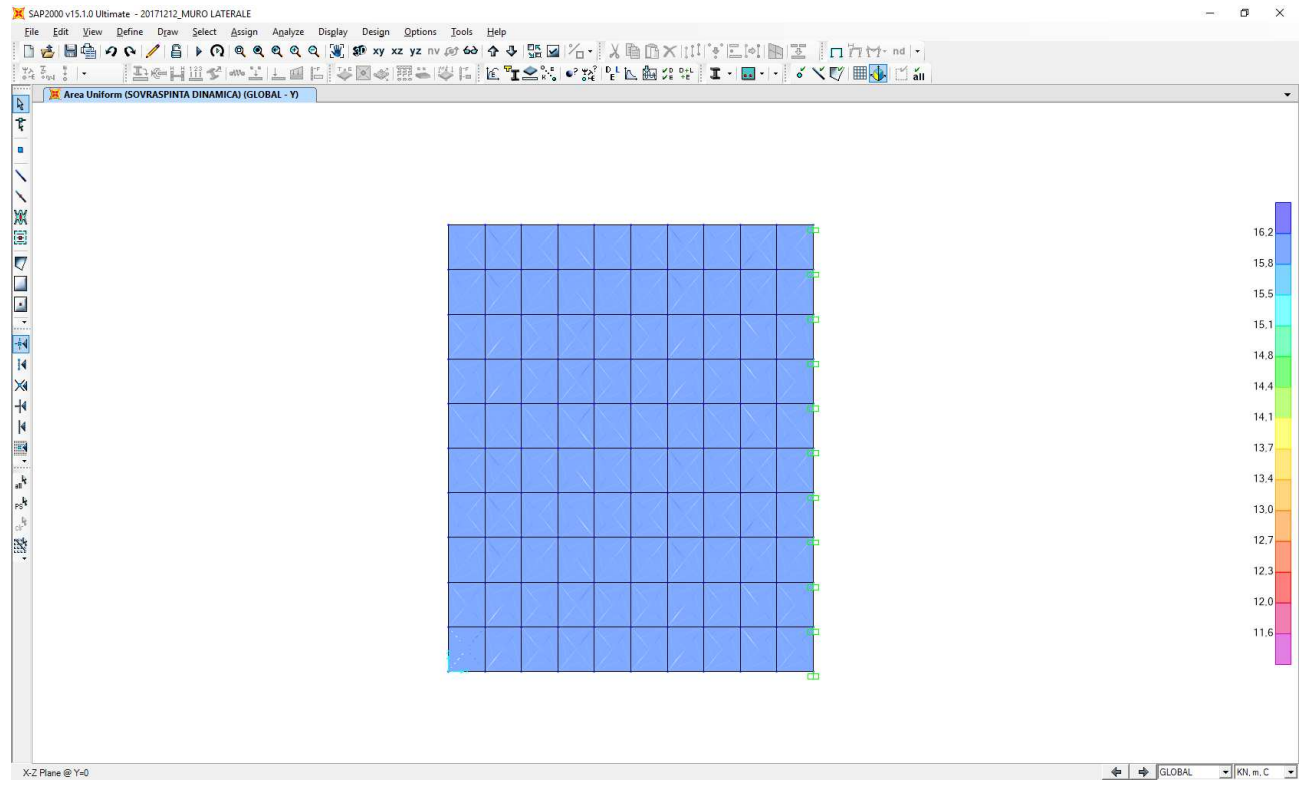
Inerzia sismica orizzontale







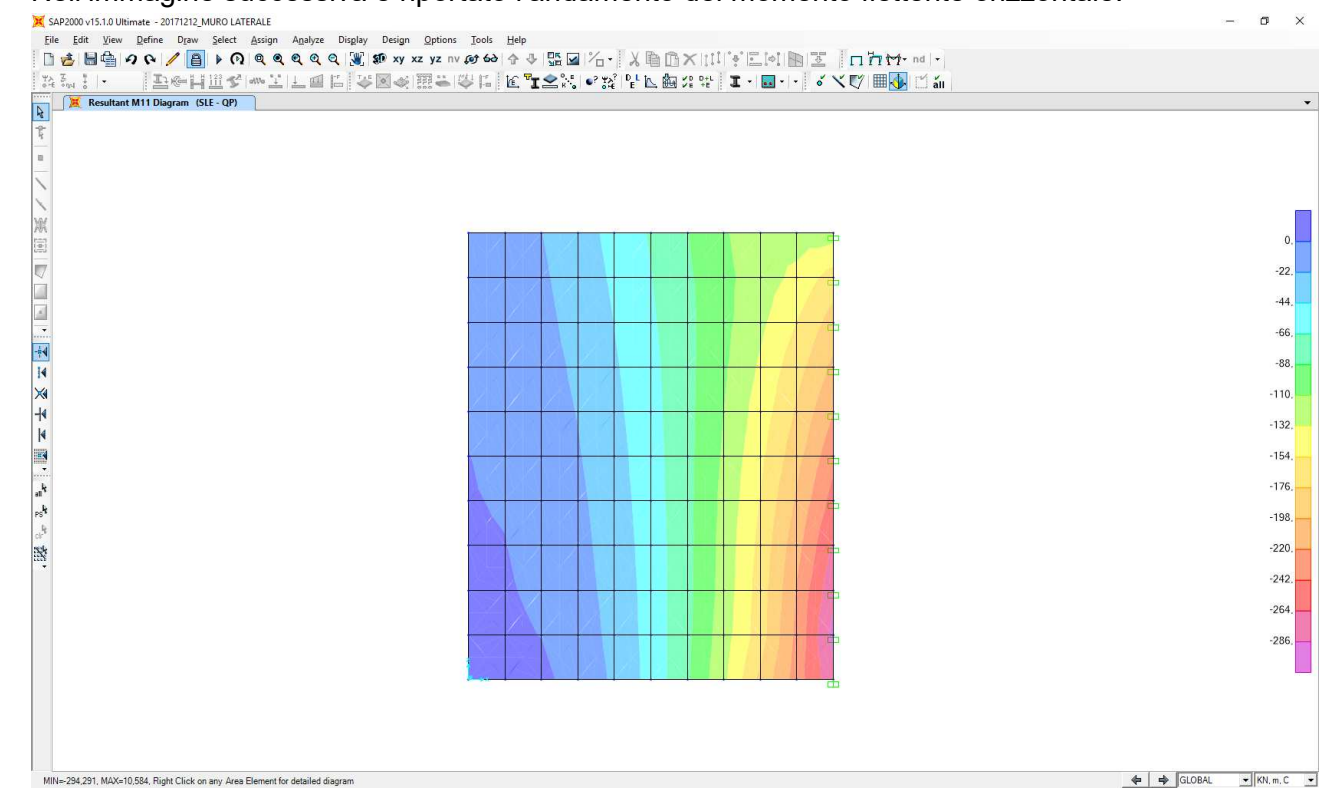
Sovraspinta dinamica orizzontale dei terreni a tergo



8.3.3 VALUTAZIONE DELLE AZIONI SOLLECITANTI

Combinazione SLE – Quasi Permanente

Nell'immagine successiva è riportato l'andamento del momento flettente orizzontale:

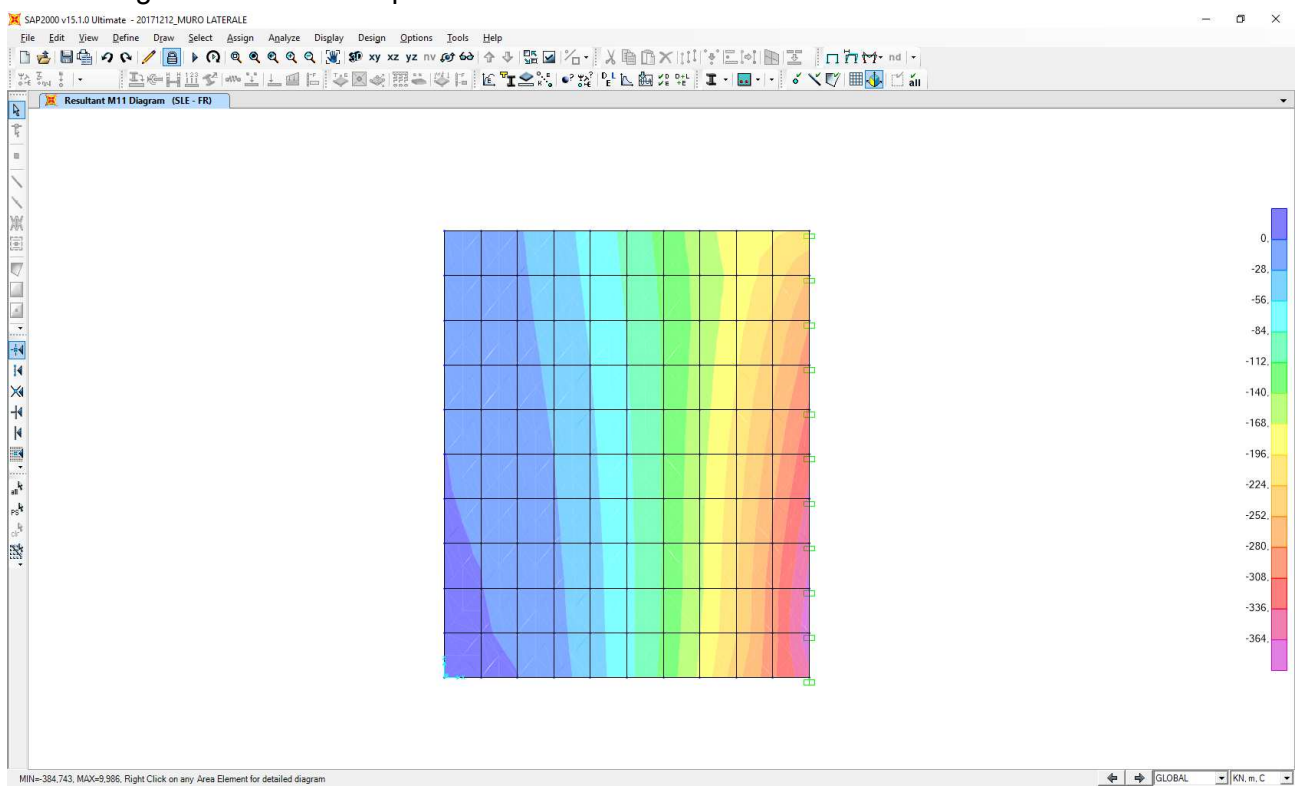






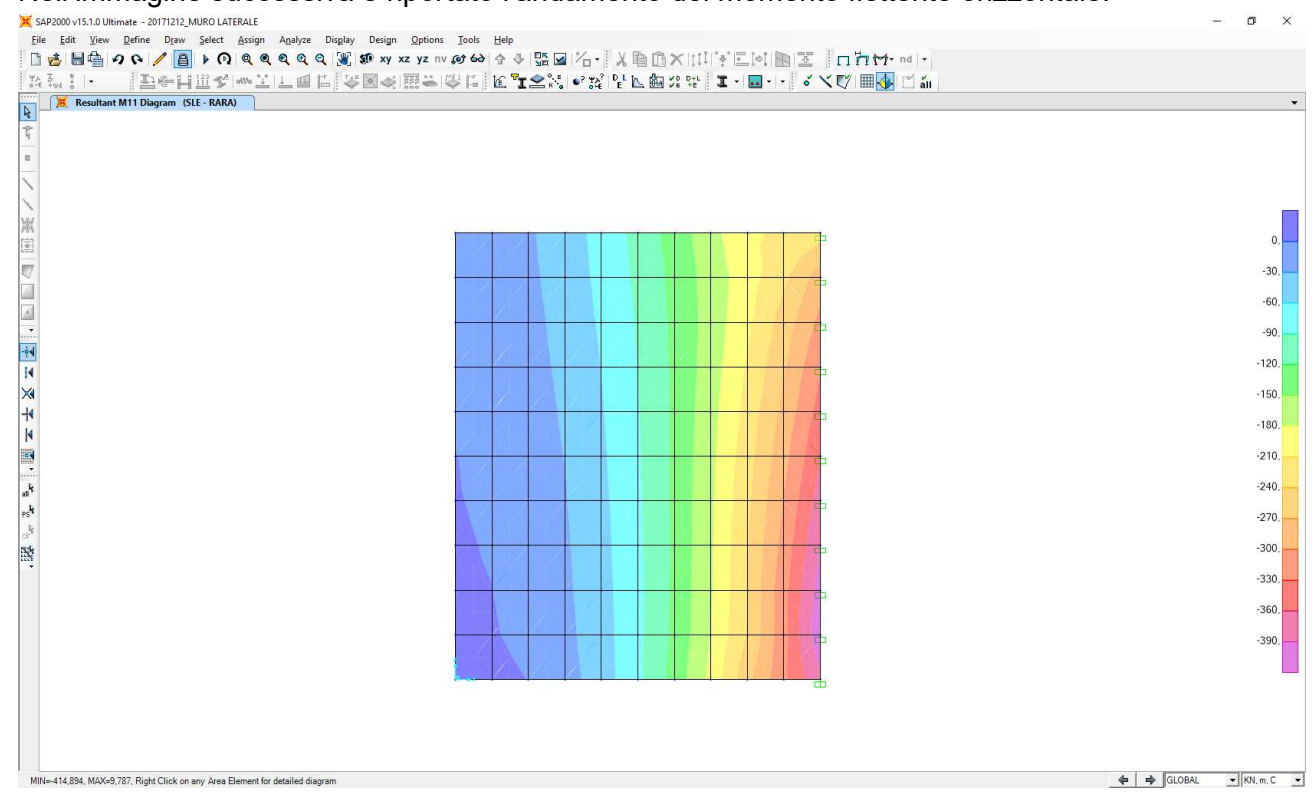
Combinazione SLE - Frequente

Nell'immagine successiva è riportato l'andamento del momento flettente orizzontale:



Combinazione SLE – Rara

Nell'immagine successiva è riportato l'andamento del momento flettente orizzontale:

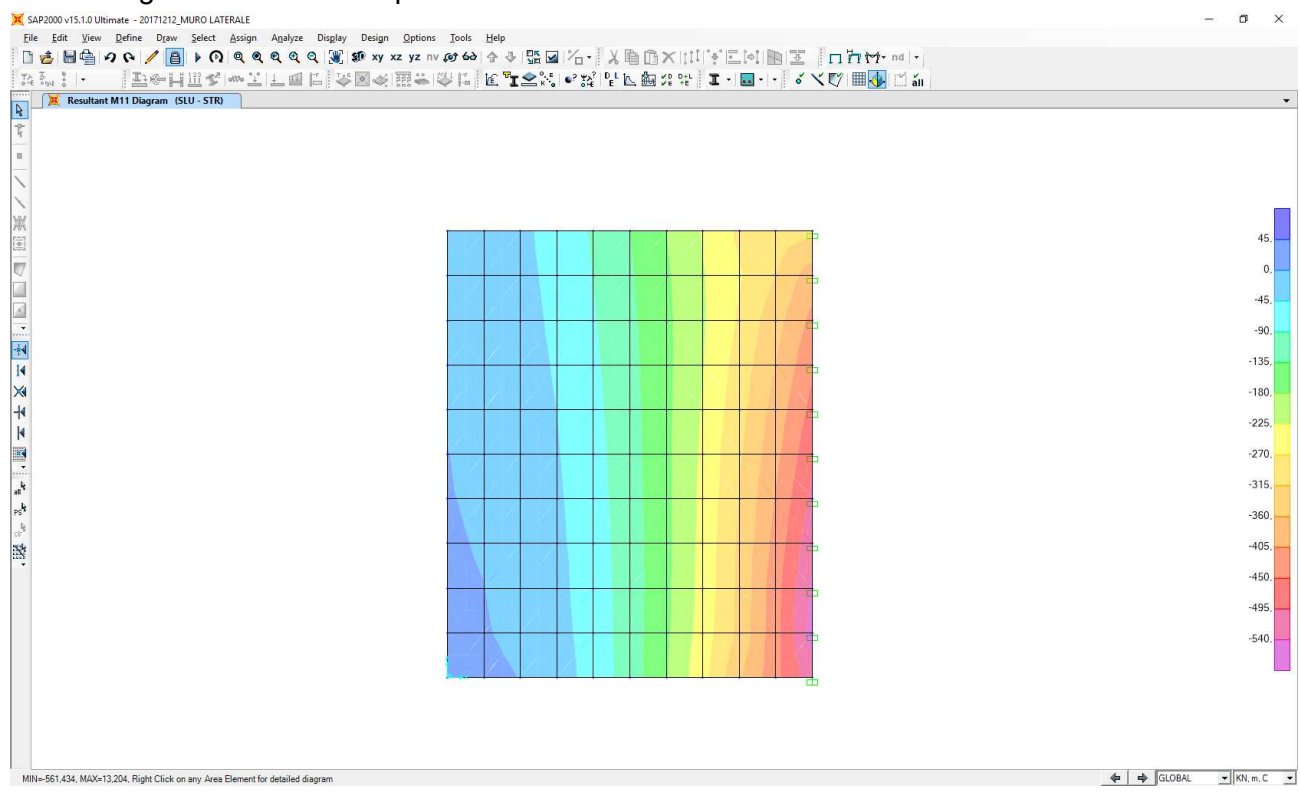




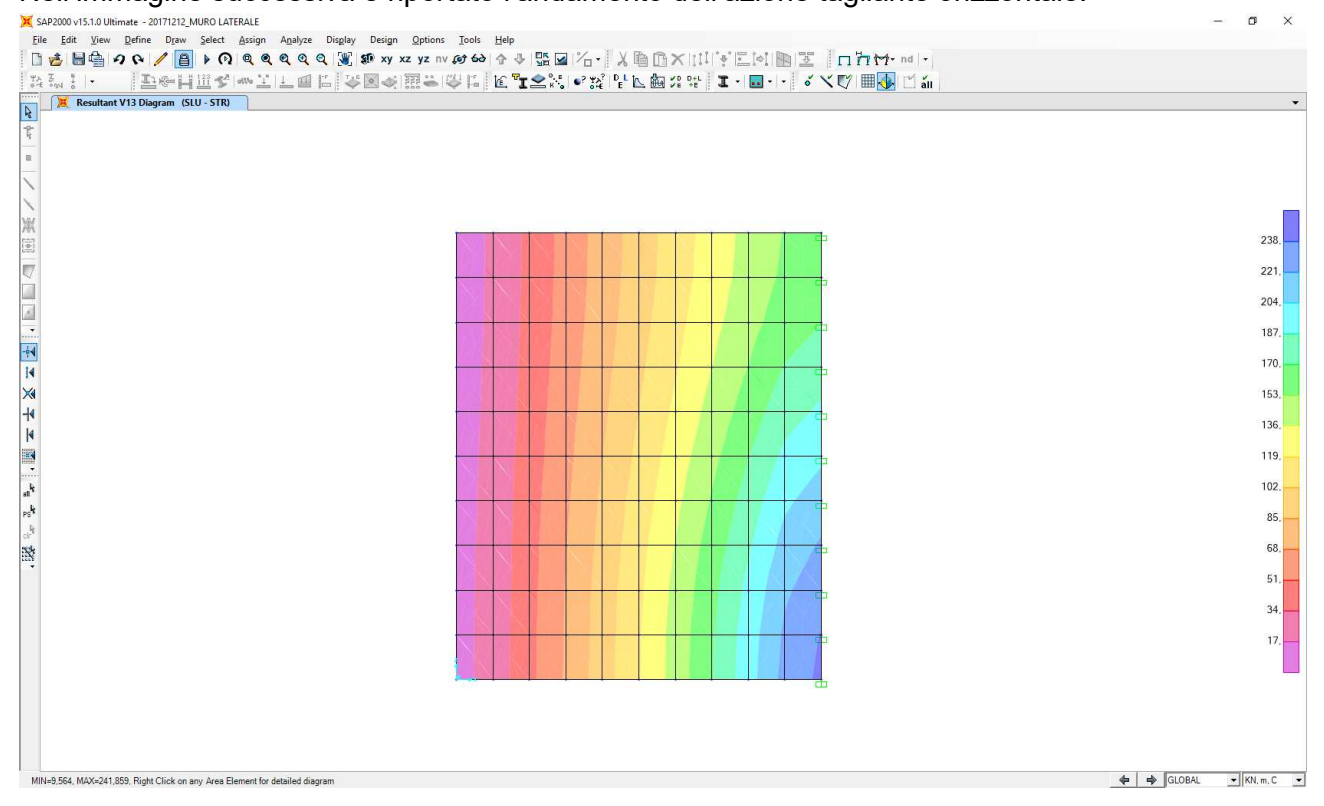


Combinazione SLU - STR

Nell'immagine successiva è riportato l'andamento del momento flettente orizzontale:



Nell'immagine successiva è riportato l'andamento dell'azione tagliante orizzontale:





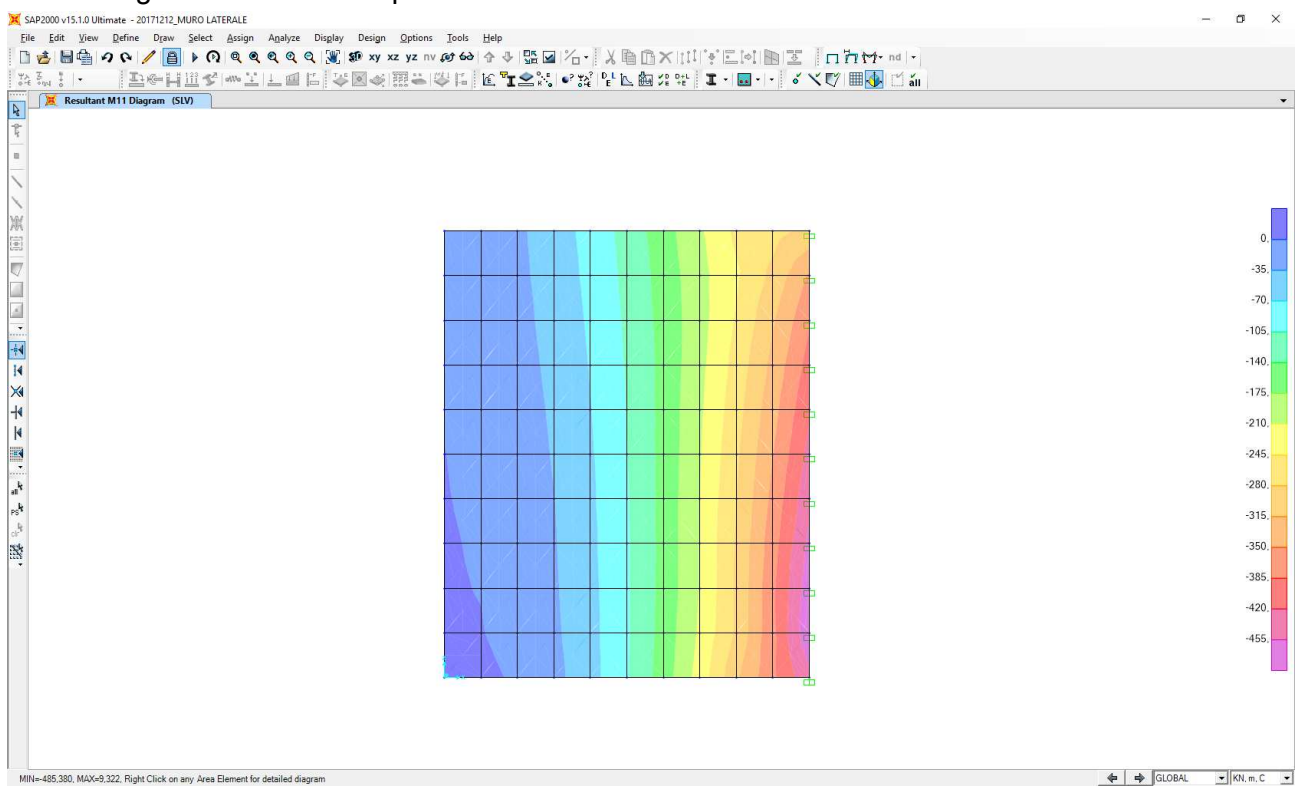




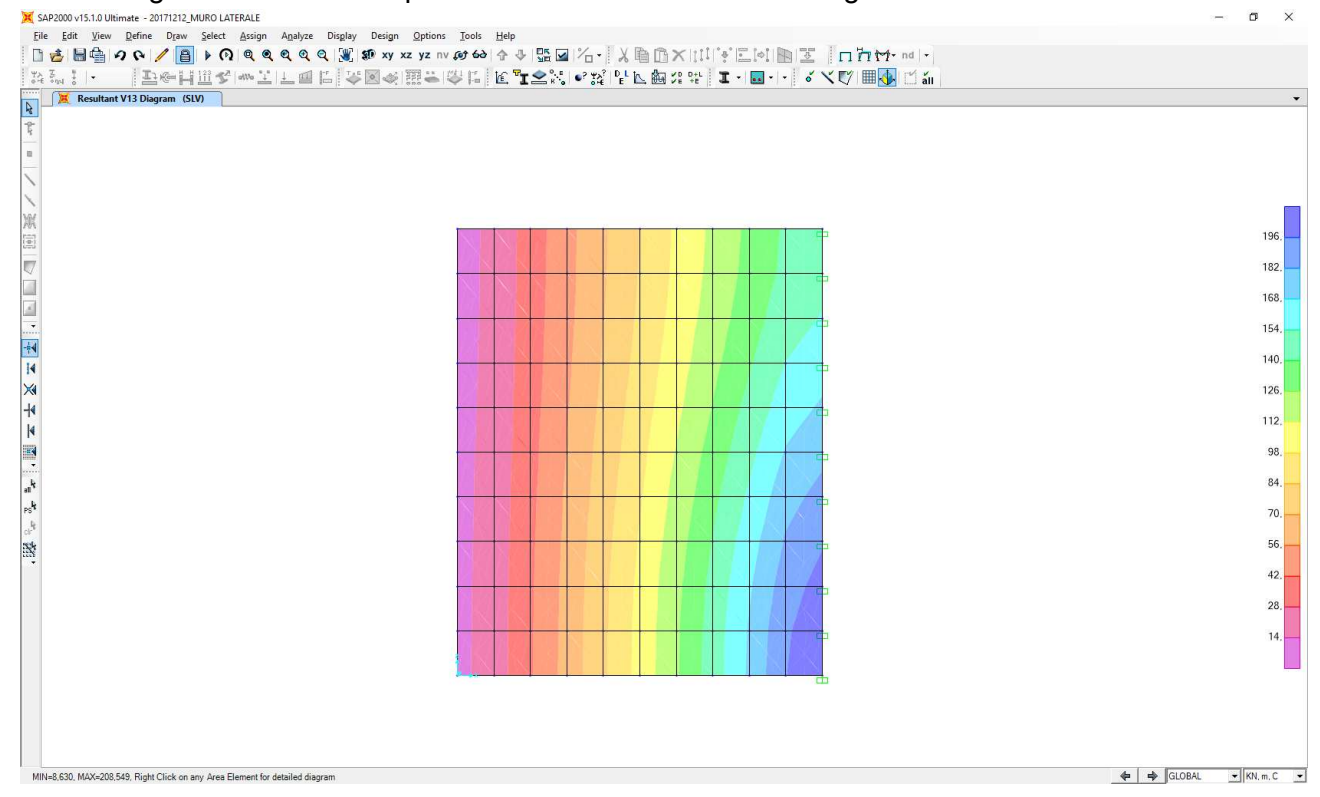


Combinazione SLV

Nell'immagine successiva è riportato l'andamento del momento flettente orizzontale:



Nell'immagine successiva è riportato l'andamento dell'azione tagliante orizzontale:







8.4 SEZIONE DI SPICCATO DEI MURI DI RISVOLTO LATERALI - VERIFICHE STRUTTURALI

8.4.1 SEZIONE E ARMATURA DI VERIFICA

La sezione di verifica è rettangolare con base pari a **100 cm** (striscia di larghezza unitaria) e altezza pari a **75 cm**.

L'armatura orizzontale (armatura di forza) è costituita da:

- Ø20/10 lato interno (lato terreno)
- Ø16/20 lato esterno

L'armatura verticale di ripartizione è costituita da:

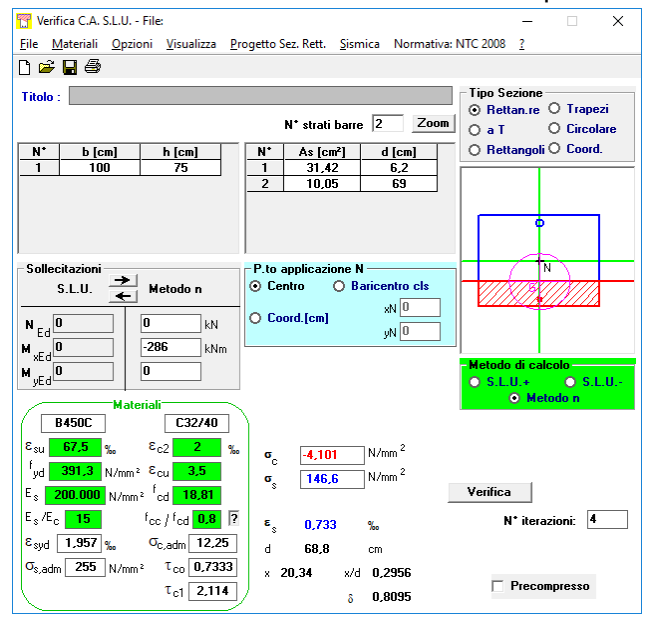
- Ø16/20 lato interno (lato terreno)
- Ø16/20 lato esterno

Non è prevista alcuna specifica armatura a taglio. Vengono tuttavia disposte legature trasversali costituite da spille Ø12/40x40. Il copriferro netto minimo è assunto pari a 40 mm.

Trattandosi di impalcati isolati sismicamente le sottostrutture sono state dimensionate adottando uno spettro di risposta elastico (q = 1,00). Secondo quanto previsto dal D.M. 14.01.2008 – Paragrafo 7.9.6.2 non risulta necessario disporre specifiche armature atte a garantire la duttilità dell'elemento strutturale né a rispettare i limiti dimensionali previsti per tale tipologia di armatura.

8.4.2 VERIFICA ALLO STATO LIMITE DI LIMITAZIONE DELLE TENSIONI – COMBINAZIONE QUASI PERMANENTE

Il momento flettente di calcolo è assunto pari a Msd = -286,00 kNm.



Le tensioni sui materiali risultano pari a:

- $\sigma_c = 4{,}10 \text{ N/mm}^2 < 0{,}45 \cdot f_{ck} = 14{,}94 \text{ N/mm}^2$
- $\sigma_s = 146,60 \text{ N/mm}^2 < 0.80 \cdot f_{yk} = 360,00 \text{ N/mm}^2$

La verifica risulta pertanto soddisfatta.

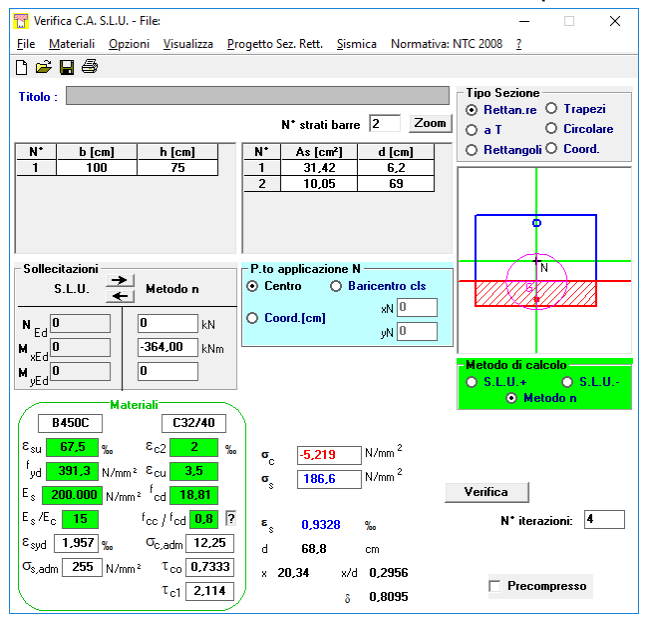






8.4.3 VERIFICA ALLO STATO LIMITE DI LIMITAZIONE DELLE TENSIONI – COMBINAZIONE FREQUENTE

Il momento flettente di calcolo è assunto pari a $M_{Sd} = -364,00$ kNm.



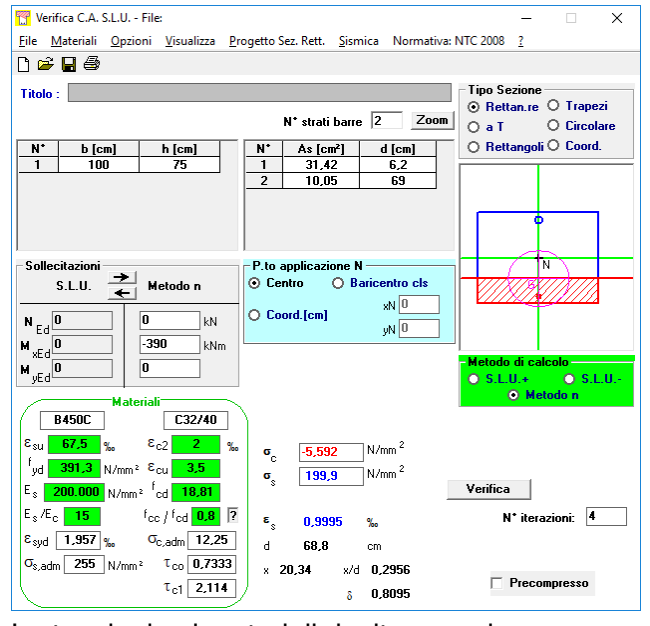
Le tensioni sui materiali risultano pari a:

- $\sigma_c = 5.21 \text{ N/mm}^2 < 0.45 \cdot f_{ck} = 14.94 \text{ N/mm}^2$
- $\sigma_s = 186,60 \text{ N/mm}^2 < 0.80 \cdot f_{vk} = 360,00 \text{ N/mm}^2$

La verifica risulta pertanto soddisfatta.

8.4.4 VERIFICA ALLO STATO LIMITE DI LIMITAZIONE DELLE TENSIONI – COMBINAZIONE RARA

Il momento flettente di calcolo è assunto pari a M_{Sd} = -390,00 kNm.



Le tensioni sui materiali risultano pari a:

- $\sigma_c = 5,59 \text{ N/mm}^2 < 0,60 \cdot f_{ck} = 19,92 \text{ N/mm}^2$
- $\sigma_s = 199,90 \text{ N/mm}^2 < 0.80 \cdot f_{yk} = 360,00 \text{ N/mm}^2$

La verifica risulta pertanto soddisfatta.











8.4.5 VERIFICA ALLO STATO LIMITE DI FESSURAZIONE

La verifica semplificata allo SL di fessurazione viene condotta secondo quanto previsto dalla Circolare C.S.LL.PP. n.617 del 02.02.2009, par. C4.1.2.2.4.6, tab. C4.1.II e C4.1.III.

TABELLA C4.1.II - Diametri massimi delle barre per il controllo di fessurazione								
Tensione nell'acciaio	Diam	Diametro massimo Ø delle barre [mm]						
$\sigma_{\rm s} [{\rm N/mm}^2]$	$w_3 = 0.40 \text{ mm}$	$w_3 = 0,40 \text{ mm}$ $w_2 = 0,30 \text{ mm}$ $w_1 = 0,20 \text{ mm}$						
160	40	32	25					
200	32	25	16					
240	20	16	12					
280	16	12	8					
320	12	10	6					
360	10	8	0					

TABELLA C4.1.III - Spaziatura massima delle barre per il controllo di fessurazione								
Tensione nell'acciaio	Spaziatura	Spaziatura massima s delle barre delle barre [mm]						
$\sigma_{\rm s} [{\rm N/mm}^2]$	$w_3 = 0.40 \text{ mm}$	$w_3 = 0,40 \text{ mm}$ $w_2 = 0,30 \text{ mm}$ $w_1 = 0,20 \text{ mm}$						
160	300	300	200					
200	300	250	150					
240	250	200	100					
280	200	150	50					
320	150	100	0					
360	100	50	0					

CRITERI DI SCELTA DELLO STATO LIMITE DI FESSURAZIONE

I criteri di scelta dello Stato Limite di fessurazione sono definiti secondo quanto riportato dal D.M. 14.01.2008, par. 4.1.2.2.4.5, tab. 4.1.IV.

Condizioni ambientali: Armatura: • Poco sensibile Aggressive

COMBINAZIONE ALLO S.L.E. QUASI PERMANENTE Stato limite: apertura fessure Ampiezza massima delle fessure: $w_d \le$ w1 Tensione massima nell'acciaio calcolata: [N/mm²]146,60 $\sigma_{\text{s,max}}$ Diametro massimo delle barre di armature poste in opera: 20 [mm] $Ø_{max}$ Spaziatura massima delle barre di armatura poste in opera: 100,00 [mm] s_{max} Diametro massimo delle barre di armatura consentito: 25,00 $Ø_{max}$ [mm]

VERIFICA POSITIVA

COMBINAZIONE ALLO S.L.E. FREQUENTE								
Stato limite:		а	pertura fessi	ıre				
Ampiezza massima delle fessure:	assima delle fessure: w _d ≤ w2							
Tensione massima nell'acciaio calcolata: $\sigma_{s,max}$ 186,60 [N/mm ²]								
Diametro massimo delle barre di armature poste in	opera:	\emptyset_{max}	20	[mm]				
Spaziatura massima delle barre di armatura poste i	s _{max}	100,00	[mm]					
Diametro massimo delle barre di armatura consent	\emptyset_{max}	25,00	[mm]					
Spaziatura massima delle barre di armatura conser	ntita:	S _{max}	250,00	[mm]				
VERIFICA POSITIVA								





Spaziatura massima delle barre di armatura consentita:



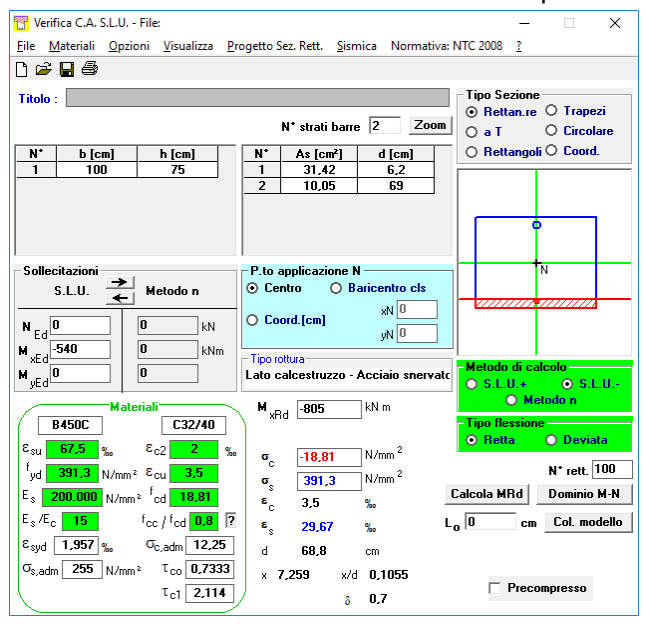
200,00

Smax

[mm]



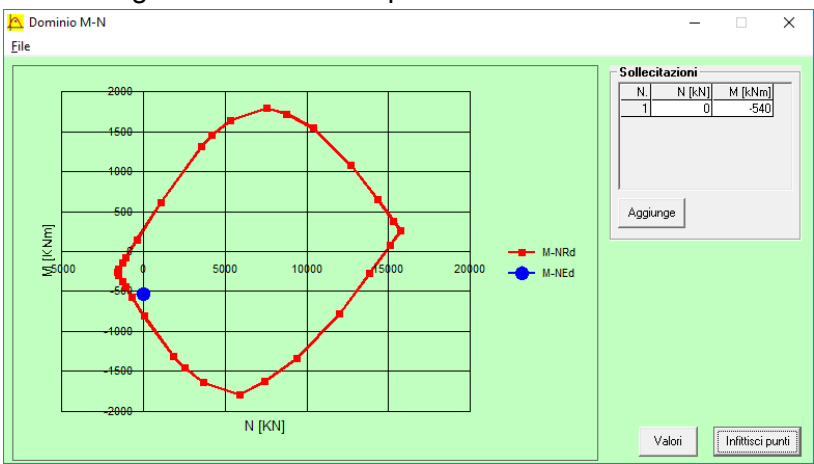
Verifica allo Stato Limite Ultimo per flessione retta Il momento flettente di calcolo è assunto pari a $M_{Sd} = -540,00 \text{ kNm}$.



Il momento resistente risulta pari a:

 $M_{Sd} = -805,00 \text{ kNm} > M_{Sd} = -540,00 \text{ kNm}$

Nell'immagine successiva è riportato il dominio di resistenza della sezione:



La verifica risulta pertanto soddisfatta.







8.4.6 VERIFICA ALLO STATO LIMITE ULTIMO PER TAGLIO

L'azione tagliante di calcolo è assunta pari a V_{Sd} = 182,00 kN.

CARATTERISTICHE	GEOMETRICHE DE	I I A SEZIONE
CANALILINGTICIL		

Base della sezione trasversale: b	100,00	[cm]
Altezza della sezione trasversale:	75,00	[cm]
Copriferro netto:	4,00	[cm]
Altezza utile della sezione: d	71,00	[cm]

CARATTERISTICHE DEI MATERIALI

Classe di resistenza del calcestruzzo: C32/40

C32/40 🔻

Resistenza caratteristica cubica a compressione: R_{ck} 40,00 [N/mm²] Resistenza caratteristica cilindrica a compressione: f_{ck} 33,20 [N/mm²] Resistenza di calcolo a compressione: f_{cd} 18,81 [N/mm²]

Tipologia dell'acciaio da armatura: B450C ▼

AZIONI SOLLECITANTI DI CALCOLO

Azione tagliante di calcolo: $V_{S,d}$ [kN] Azione normale di calcolo: $N_{S,d}$ [kN] [kN]

ARMATURA LONGITUDINALE

Primo strato di armatura tesa:

Infittimento primo strato di armatura tesa:

Secondo strato di armatura tesa:

Infittimento secondo strato di armatura tesa:

AREA TOTALE DELLE BARRE DI ARMATURA TESA

n _{barre}	$Ø_{barre}[mm]$	A _{barra} [cm ²]	$A_{s,tot}$ [cm ²]
5	24	4,52	22,60
		0,00	0,00
		0,00	0,00
		0,00	0,00
			22,60

VERIFICA ALLO S.L.U. PER TAGLIO

La verifica allo S.L.U. per taglio viene condotta secondo quanto previsto dal D.M. 14.01.2008, par.4.1.2.1.3.1

$$V_{Rd} = \left\{ \frac{0.18 \cdot k \cdot \left(100 \cdot \rho_1 \cdot f_{ck}\right)^{1/3}}{\gamma_c} + 0.15 \cdot \sigma_{cp} \right\} \cdot b_w \cdot d \ge \left(v_{\min} + 0.15 \cdot \sigma_{cp}\right) \cdot b_w \cdot d$$

Coefficiente k: k 1,53 Coefficiente v_{min}: 0,382 V_{min} Rapporto geometrico di armatura longitudinale: 0,0032 ρ_1 [N/mm²]Tensione media di compressione nella sezione: 0,000 σ_{cp} Larghezza minima della sezione: 100,00 [cm] b_w

AZIONE TAGLIANTE RESISTENTE DELLA SEZIONE: $V_{R,d}$ [kN] COEFFICIENTE DI SICUREZZA: $F_S=V_{R,d}/V_{S,d}$ 1,57

LA VERIFICA RISULTA POSITIVA





8.5 SEZIONE ALLA BASE DELLA TRAVE A CUSCINO - VALUTAZIONE DELLE AZIONI SOLLECITANTI

8.5.1 **AZIONI SOLLECITANTI CARATTERISTICHE**

Nella tabella successiva sono riportati i valori complessivi degli scarichi dell'impalcato sulla spalla (valutati alla sommità dei baggioli) desunti dalla relazione di calcolo dell'impalcato stesso per le differenti condizioni di carico elementari considerate:

CARICO	N _k [kN]	V _{LONG,k} [kN]	V _{TRASV,k} [kN]	M _{LONG,k} [kNm]	M _{TRASV,k} [kNm]
PESO PROPRIO IMPALCATO	2.674,28	48,79	0,00	0,00	0,00
PERMANENTI PORTATI IMPALCATO	1.002,58	14,79	0,00	0,00	0,00
AZIONE CENTRIFUGA	0,00	0,00	0,00	0,00	0,00
AZIONE DELLA FRENATURA	-24,47	-236,25	0,00	0,00	0,00
FOLLA COMPATTA	558,60	7,49	0,00	0,00	0,00
TRAFFICO - CONDIZIONE 1	1.819,41	16,91	-0,03	0,00	3.738,21
TRAFFICO - CONDIZIONE 2	2.055,20	12,85	-0,01	0,00	700,36
TRAFFICO - CONDIZIONE 3	1.079,91	16,91	0,03	0,00	1.530,65
TRAFFICO - CONDIZIONE 4	918,05	12,85	0,01	0,00	18,78
AZIONE TRASVERSALE DEL VENTO	0,00	0,00	-159,95	0,00	590,05
AZIONE SISMICA LONGITUDINALE	39,73	406,88	1,58	0,00	2,80
AZIONE SISMICA TRASVERSALE	39,73	1,58	406,88	0,00	2,80
AZIONE SISMICA VERTICALE	2,05	20,61	0,10	0,00	0,13

Di seguito è riportata la valutazione delle azioni sollecitanti valutate alla base della trave a cuscino in corrispondenza dell'asse dei pali di fondazione:

CARATTERISTICHE GEOMETRICHE DELLA SPALLA

Altezza media dei baggioli di appoggio	0,20	[m]
PARAGHIAIA		
Lunghezza del paraghiaia	13,30	[m]
Spessore del paraghiaia	0,50	[m]
Altezza massima del paraghiaia	2,83	[m]
Altezza minima del paraghiaia	2,83	[m]
Volume del paraghiaia	18,82	[m ³]
Peso proprio del paraghiaia	470,49	[kN]
Quota del baricentro del paraghiaia rispetto alla base della trave a cuscino	3,42	[m]
Ascissa del baricentro del paraghiaia rispetto all'asse dei pali di fondazione	-1,45	[m]
Momento flettente longitudinale riferito all'asse dei pali di fondazione	-682,21	[kNm]
TRAVE A CUSCINO		
Lunghezza della trave a cuscino	13,30	[m]
Larghezza della trave a cuscino	2,70	[m]
Altezza della trave a cuscino	2,00	[m]
Volume della trave a cuscino	71,82	[m ³]
Peso proprio della trave a cuscino	1.795,50	[kN]
Quota del baricentro della trave a cuscino rispetto alla base della trave a cuscino	1,00	[m]
Ascissa del baricentro della trave a cuscino rispetto all'asse dei pali di fondazione	-0,35	[m]
Momento flettente longitudinale riferito all'asse dei pali di fondazione	-628,43	[kNm]









PONTE SUL BREMBIOLO - ASSE 43 - RELAZIONE DI CALCOLO SPALLE

MURI LATERALI POSTERIORI		
Numero dei muri laterali	2,00	
Lunghezza dei muri laterali	4,50	[m]
Altezza media dei muri laterali	4,83	[m]
Spessore dei muri laterali	0,75	[m]
Volume dei muri laterali	32,60	[m ³]
Peso proprio dei muri laterali	815,06	[kN]
Quota del baricentro dei muri laterali rispetto alla base della trave a cuscino	2,42	[m]
Ascissa del baricentro dei muri laterali rispetto all'asse dei pali di fondazione	-3,95	[m]
Ordinata del baricentro dei muri laterali rispetto all'asse della trave a cuscino	0,00	[m]
Momento flettente longitudinale riferito all'asse dei pali di fondazione	-3.219,50	[kNm]
Momento flettente longitudinale riferito all'asse della zattera di fondazione	0,00	[kNm]
MURI LATERALI ANTERIORI DI RISVOLTO		
Numero dei muri laterali	2,00	
Lunghezza dei muri laterali	2,20	[m]
Altezza media dei muri laterali	1,50	[m]
Spessore dei muri laterali	0,30	[m]
Volume dei muri laterali	1,98	[m ³]
Peso proprio dei muri laterali	49,50	[kN]
Quota del baricentro dei muri laterali rispetto alla base della trave a cuscino	2,75	[m]
Ordinata del baricentro dei muri anteriori di risvolto rispetto all'asse della trave a cuscino	0,00	[m]
Ascissa del baricentro dei muri laterali rispetto all'asse dei pali di fondazione	-0,10	[m]
Momento flettente longitudinale riferito all'asse dei pali di fondazione	-4,95	[kNm]
Momento flettente longitudinale riferito all'asse della zattera di fondazione	0,00	[kNm]
Azione normale verticale totale dovuta al peso proprio della spalla	3.130,55	[kN]
Momento flettente longitudinale totale dovuto al peso proprio della spalla	-4.535,08	[kNm]
Momento flettente trasversale totale dovuto al peso proprio della spalla	0,00	[kNm]
AZIONI TRASMESSE DAL RILEVATO A TERGO DELLA SPALLA	١	
CARATTERISTICHE DEL TERRENO SPINGENTE		
Peso per unità di volume del terreno spingente	20,00	[kN/m ³]
Angolo di attrito interno del terreno spingente	37,00	[°]
Coesione efficace del terreno spingente	0,00	[kN/m ²]
Cefficiente di spinta riposo del terreno spingente	0,398	[]
SPINTA DEL TERRENO A TERGO		
Spinta orizzontale del terreno a tergo	1.235,47	[kN]
Momento flettente longitudinale dovuto alla spinta orizzontale del terreno a tergo	1.989,10	[kNm]
SPINTA DEI SOVRACCARICHI PERMANENTI A TERGO		
Carichi permanenti portati a tergo	2,20	[kN/m²]
Spinta orizzontale dei sovraccarichi permanenti a tergo a tergo	56,27	[kN]
Momento flettente longitudinale dovuto alla spinta orizzontale dei sovraccarichi permanenti a tergo	135,90	[kNm]
SPINTA DEI SOVRACCARICHI ACCIDENTALI A TERGO		- •
Carichi permanenti portati a tergo	30,00	$[kN/m^2]$
Spinta orizzontale dei sovraccarichi permanenti a tergo a tergo	767,37	[kN]
	4.050.00	PLAT 1





Momento flettente longitudinale dovuto alla spinta orizzontale dei sovraccarichi permanenti a tergo







[kNm]

1.853,20



AZIONI TRASMESSE DALL'IMPALCATO

CARICO	N _k [kN]	V _{LONG,k} [kN]	V _{TRASV,k} [kN]	M _{LONG,k} [kNm]	M _{TRASV,k} [kNm]
PESO PROPRIO IMPALCATO	2.674,28	48,79	0,00	0,00	0,00
PERMANENTI PORTATI IMPALCATO	1.002,58	14,79	0,00	0,00	0,00
AZIONE CENTRIFUGA	0,00	0,00	0,00	0,00	0,00
AZIONE DELLA FRENATURA	-24,47	-236,25	0,00	0,00	0,00
FOLLA COMPATTA	558,60	7,49	0,00	0,00	0,00
TRAFFICO - CONDIZIONE 1	1.819,41	16,91	-0,03	0,00	3.738,21
TRAFFICO - CONDIZIONE 2	2.055,20	12,85	-0,01	0,00	700,36
TRAFFICO - CONDIZIONE 3	1.079,91	16,91	0,03	0,00	1.530,65
TRAFFICO - CONDIZIONE 4	918,05	12,85	0,01	0,00	18,78
AZIONE TRASVERSALE DEL VENTO	0,00	0,00	-159,95	0,00	590,05
AZIONE SISMICA LONGITUDINALE	39,73	406,88	1,58	0,00	2,80
AZIONE SISMICA TRASVERSALE	39,73	1,58	406,88	0,00	2,80
AZIONE SISMICA VERTICALE	2,05	20,61	0,10	0,00	0,13

AZIONI SISMICHE

Coefficiente sismico orizzontale	0,1470	
Coefficiente sismico verticale	0,0735	
AZIONI INERZIALI TRASMESSE DALLA SPALLA		
Peso sismico del paraghiaia	470,49	[kN]
Azione inerziale orizzontale longitudinale prodotta dal paraghiaia	69,16	[kN]
Azione inerziale orizzontale trasversale prodotta dal paraghiaia	69,16	[kN]
Azione inerziale verticale prodotta dal paraghiaia	34,58	[kN]
Momento flettente longitudinale prodotto dall'azione inerziale longitudinale	236,19	[kNm]
Momento flettente trasversale prodotto dall'azione inerziale trasversale	236,19	[kNm]
Momento flettente longitudinale prodotto dall'azione inerziale verticale	-50,14	[kNm]
Peso sismico della trave a cuscino	1.795,50	[kN]
Azione inerziale orizzontale longitudinale prodotta dalla trave a cuscino	263,94	[kN]
Azione inerziale orizzontale trasversale prodotta dalla trave a cuscino	263,94	[kN]
Azione inerziale verticale prodotta dalla trave a cuscino	131,97	[kN]
Momento flettente longitudinale prodotto dall'azione inerziale longitudinale	263,94	[kNm]
Momento flettente trasversale prodotto dall'azione inerziale trasversale	263,94	[kNm]
Momento flettente longitudinale prodotto dall'azione inerziale verticale	-46,19	[kNm]
Peso sismico dai muri laterali posteriori	815,06	[kN]
Azione inerziale orizzontale longitudinale prodotta dai muri laterali posteriori	119,81	[kN]
Azione inerziale orizzontale trasversale prodotta dai muri laterali postariori	119,81	[kN]
Azione inerziale verticale prodotta dai muri laterali posteriori	59,91	[kN]
Momento flettente longitudinale prodotto dall'azione inerziale longitudinale	289,35	[kNm]
Momento flettente trasversale prodotto dall'azione inerziale trasversale	289,35	[kNm]
Momento flettente longitudinale prodotto dall'azione inerziale verticale	-236,63	[kNm]
Peso sismico dei muri laterali anteriori di risvolto	49,50	[kN]
Azione inerziale orizzontale longitudinale prodotta dai muri laterali anteriori di risvolto	7,28	[kN]
Azione inerziale orizzontale trasversale prodotta dai muri laterali anteriori di risvolto	7,28	[kN]
Azione inerziale verticale prodotta dai muri laterali anteriori di risvolto	3,64	[kN]
Momento flettente longitudinale prodotto dall'azione inerziale longitudinale	20,01	[kNm]
Momento flettente trasversale prodotto dall'azione inerziale trasversale	20,01	[kNm]
Momento flettente longitudinale prodotto dall'azione inerziale verticale	-0,36	[kNm]





PONTE SUL BREMBIOLO - ASSE 43 - RELAZIONE DI CALCOLO SPALLE

Inerzia sismica orizzontale longitudinale totale della spalla	460,19	[kN]
Inerzia sismica orizzontale trasversale totale della spalla	460,19	[kN]
Inerzia sismica verticale totale della spalla	230,10	[kN]
Momento flettente longitudinale totale prodotto dall'azione inerziale longitudinale della spalla	809,49	[kNm]
Momento flettente trasversale totale prodotto dall'azione inerziale trasversale della spalla	809,49	[kNm]
Momento flettente longitudinale totale prodotto dall'azione inerziale verticale della spalla	-333,33	[kNm]

SOVRASPINTA DINAMICA DEL TERRENO A TERGO

Per la valutazione della sovraspinta dinamica dei terreni a tergo della spalla è stato utilizzato il metodo di Wood.

Sovraspinta dinamica orizzontale longitudinale del terreno a tergo 912,21 [kN]

Momento flettente longitudinale dovuto alla sovraspinta dinamica del terreno a tergo 2.202,98 [kNm]

AZIONI SOLLECITANTI CARATTERISTICHE ALLA BASE DELLA TRAVE A CUSCINO IN CORRISPONDENZA DELL'ASSE PALI

CARICO		$V_{LONG,k}$	$V_{TRASV,k}$	M _{LONG,k}	M _{TRASV,k}
0,200	[kN]	[kN]	[kN]	[kNm]	[kNm]
PESO PROPRIO DELLA SPALLA	3.130,55	0,00	0,00	-4.535,08	0,00
PESO PROPRIO IMPALCATO	2.674,28	48,79	0,00	107,34	0,00
PERMANENTI PORTATI IMPALCATO	1.002,58	14,79	0,00	32,54	0,00
SPINTA DEL TERRENO A TERGO DELLA SPALLA	0,00	1.235,47	0,00	1.989,10	0,00
SPINTA DEI SOVRACC. PERM. A TERGO DELLA SPALLA	0,00	56,27	0,00	135,90	0,00
SPINTA DEI SOVRACC. PERM. A TERGO DELLA SPALLA	0,00	767,37	0,00	1.853,20	0,00
AZIONE CENTRIFUGA	0,00	0,00	0,00	0,00	0,00
AZIONE DELLA FRENATURA	0,00	-236,25	0,00	-519,75	0,00
FOLLA COMPATTA	558,60	7,49	0,00	16,49	0,00
TRAFFICO - CONDIZIONE 1	1.819,41	16,91	-0,03	37,21	3.738,15
TRAFFICO - CONDIZIONE 2	2.055,20	12,85	-0,01	28,26	700,33
TRAFFICO - CONDIZIONE 3	1.079,91	16,91	0,03	37,21	1.530,71
TRAFFICO - CONDIZIONE 4	918,05	12,85	0,01	28,26	18,80
AZIONE TRASVERSALE DEL VENTO	0,00	0,00	-159,95	0,00	238,16
AZIONE SISMICA INERZIALE LONG. DELLA SPALLA	0,00	460,19	0,00	809,49	0,00
AZIONE SISMICA INERZIALE TRASV. DELLA SPALLA	0,00	0,00	460,19	0,00	809,49
AZIONE SISMICA INERZIALE VERT. DELLA SPALLA	230,10	0,00	0,00	-333,33	0,00
SOVRASP. DINAM. DEL TERRENO A TERGO DELLA SPALLA	0,00	912,21	0,00	2.202,98	0,00
AZIONE SISMICA LONGIT. TRASMESSA DALL'IMPALCATO	39,73	406,88	1,58	895,14	6,27
AZIONE SISMICA TRASV. TRASMESSA DALL'IMPALCATO	39,73	1,58	406,88	3,47	897,94
AZIONE SISMICA VERT. TRASMESSA DALL'IMPALCATO	2,05	20,61	0,10	45,34	0,35













8.5.2 **AZIONI SOLLECITANTI DI CALCOLO**

	COMBINAZIONE SLE - QUASI PERMANENTE											
CARICO	Ψ	N _{Sd} [kN]	V _{LONGSd} [kN]	V _{TRASV,Sd} [kN]	MLONG,Sd [kNm]	M _{TRASV,Sd} [kNm]						
PESO PROPRIO DELLA SPALLA	1,00	3.130,55	0,00	0,00	-4.535,08	0,00						
PESO PROPRIO IMPALCATO	1,00	2.674,28	48,79	0,00	107,34	0,00						
PERMANENTI PORTATI IMPALCATO	1,00	1.002,58	14,79	0,00	32,54	0,00						
SPINTA DEL TERRENO A TERGO DELLA SPALLA	1,00	0,00	1.235,47	0,00	1.989,10	0,00						
SPINTA DEI SOVRACC. PERM. A TERGO DELLA SPALLA	1,00	0,00	56,27	0,00	135,90	0,00						
SPINTA DEI SOVRACC. PERM. A TERGO DELLA SPALLA	0,00	0,00	0,00	0,00	0,00	0,00						
AZIONE CENTRIFUGA	0,00	0,00	0,00	0,00	0,00	0,00						
AZIONE DELLA FRENATURA	0,00	0,00	0,00	0,00	0,00	0,00						
FOLLA COMPATTA	0,00	0,00	0,00	0,00	0,00	0,00						
TRAFFICO - CONDIZIONE 1	0,00	0,00	0,00	0,00	0,00	0,00						
TRAFFICO - CONDIZIONE 2	0,00	0,00	0,00	0,00	0,00	0,00						
TRAFFICO - CONDIZIONE 3	0,00	0,00	0,00	0,00	0,00	0,00						
TRAFFICO - CONDIZIONE 4	0,00	0,00	0,00	0,00	0,00	0,00						
AZIONE TRASVERSALE DEL VENTO	0,00	0,00	0,00	0,00	0,00	0,00						
AZIONE SISMICA INERZIALE LONG. DELLA SPALLA	0,00	0,00	0,00	0,00	0,00	0,00						
AZIONE SISMICA INERZIALE TRASV. DELLA SPALLA	0,00	0,00	0,00	0,00	0,00	0,00						
AZIONE SISMICA INERZIALE VERT. DELLA SPALLA	0,00	0,00	0,00	0,00	0,00	0,00						
SOVRASP, DINAM, DEL TERRENO A TERGO DELLA SPALLA	0,00	0,00	0,00	0,00	0,00	0,00						
AZIONE SISMICA LONGIT. TRASMESSA DALL'IMPALCATO	0,00	0,00	0,00	0,00	0,00	0,00						
AZIONE SISMICA TRASV. TRASMESSA DALL'IMPALCATO	0,00	0,00	0,00	0,00	0,00	0,00						
AZIONE SISMICA VERT. TRASMESSA DALL'IMPALCATO	0,00	0,00	0,00	0,00	0,00	0,00						
TOTALE		6.807,41	1.355,32	0,00	-2.270,19	0,00						

		COMBI	NAZIONE S	LE - FREQUE	NTE 01			COMBINAZIONE SLE - FREQUENTE 02 COMBINAZIONE SLE - FREQUENTE 03						COMBI	NAZIONE SI	E - FREQUE	NTE 04	\neg						
CARICO	¥	N _{Sd} [kN]	V _{LONQSd} [kN]	V _{TRASV,Sd} [kN]	M _{LONG,Sd} [kNm]	M _{TRASV,Sd} [kNm]	Ψ	N _{Sd} [kN]	V _{LONQ,Sd} [kN]	V _{TRASV,Sd} [kN]	MLONGSd [kNm]	M _{TRASV,Sd} [kNm]	Ψ	N _{Sd} [kN]	V _{LONGSd} [kN]	V _{TRASV,Sd} [kN]	M _{LONGSd} [kNm]	M _{TRASV,Sd} [kNm]	Ψ	N _{Sd} [kN]	V _{LONQ,Sd} [kN]	V _{TRASV,Sd} [kN]	M _{LONGSd} [kNm]	M _{TRASV,Sd} [kNm]
PESO PROPRIO DELLA SPALLA	1,00	3.130,55	0,00	0,00	-4.535,08	0,00	1,00	3.130,55	0,00	0,00	-4.535,08	0,00	1,00	3.130,55	0,00	0,00	-4.535,08	0,00	1,00	3.130,55	0,00	0,00	-4.535,08	0,00
PESO PROPRIO IMPALCATO	1,00	2.674,28	48,79	0,00	107,34	0,00	1,00	2.674,28	48,79	0,00	107,34	0,00	1,00	2.674,28	48,79	0,00	107,34	0,00	1,00	2.674,28	48,79	0,00	107,34	0,00
PERMANENTI PORTATI IMPALCATO	1,00	1.002,58	14,79	0,00	32,54	0,00	1,00	1.002,58	14,79	0,00	32,54	0,00	1,00	1.002,58	14,79	0,00	32,54	0,00	1,00	1.002,58	14,79	0,00	32,54	0,00
SPINTA DEL TERRENO A TERGO DELLA SPALLA	1,00	0,00	1.235,47	0,00	1.989,10	0,00	1,00	0,00	1.235,47	0,00	1.989,10	0,00	1,00	0,00	1.235,47	0,00	1.989,10	0,00	1,00	0,00	1.235,47	0,00	1.989,10	0,00
SPINTA DEI SOVRACC. PERM. A TERGO DELLA SPALLA	1,00	0,00	56,27	0,00	135,90	0,00	1,00	0,00	56,27	0,00	135,90	0,00	1,00	0,00	56,27	0,00	135,90	0,00	1,00	0,00	56,27	0,00	135,90	0,00
SPINTA DEI SOVRACC. PERM. A TERGO DELLA SPALLA	0,75	0,00	575,53	0,00	1.389,90	0,00	0,75	0,00	575,53	0,00	1.389,90	0,00	0,75	0,00	575,53	0,00	1.389,90	00,0	0,75	0,00	575,53	0,00	1.389,90	0,00
AZIONE CENTRIFUGA	0,00	0,00	0,00	0,00	0,00	0,00	0,00	0,00	0,00	0,00	0,00	0,00	0,00	0,00	0,00	0,00	0,00	0,00	0,00	0,00	0,00	0,00	0,00	0,00
AZIONE DELLA FRENATURA	0,00	0,00	0,00	0,00	0,00	0,00	0,00	0,00	0,00	0,00	0,00	0,00	0,00	0,00	0,00	0,00	0,00	0,00	0,00	0,00	0,00	0,00	0,00	0,00
FOLLA COMPATTA	0,38	209,47	2,81	0,00	6,18	0,00	0,38	209,47	2,81	0,00	6,18	0,00	0,38	209,47	2,81	0,00	6,18	0,00	0,38	209,47	2,81	0,00	6,18	0,00
TRAFFICO - CONDIZIONE 1	0,75	1.364,56	12,68	-0,02	27,90	2.803,61	0,00	0,00	0,00	0,00	0,00	0,00	0,00	0,00	0,00	0,00	0,00	00,0	0,00	0,00	0,00	0,00	0,00	0,00
TRAFFICO - CONDIZIONE 2	0,00	0,00	0,00	0,00	0,00	0,00	0,75	1.541,40	9,64	-0,01	21,20	525,25	0,00	0,00	0,00	0,00	0,00	0,00	0,00	0,00	0,00	0,00	0,00	0,00
TRAFFICO - CONDIZIONE 3	0,00	0,00	0,00	0,00	0,00	0,00	0,00	0,00	0,00	0,00	0,00	0,00	0,75	809,94	12,68	0,02	27,90	1.148,03	0,00	0,00	0,00	0,00	0,00	0,00
TRAFFICO - CONDIZIONE 4	0,00	0,00	0,00	0,00	0,00	0,00	0,00	0,00	0,00	0,00	0,00	0,00	0,00	0,00	0,00	0,00	0,00	0,00	0,75	688,54	9,64	0,01	21,20	14,10
AZIONE TRASVERSALE DEL VENTO	0,00	0,00	0,00	0,00	0,00	0,00	0,00	0,00	0,00	0,00	0,00	0,00	0,00	0,00	0,00	0,00	0,00	00,0	0,00	0,00	0,00	0,00	0,00	0,00
AZIONE SISMICA INERZIALE LONG. DELLA SPALLA	0,00	0,00	0,00	0,00	0,00	0,00	0,00	0,00	0,00	0,00	0,00	0,00	0,00	0,00	0,00	0,00	0,00	0,00	0,00	0,00	0,00	0,00	0,00	0,00
AZIONE SISMICA INERZIALE TRASV. DELLA SPALLA	0,00	0,00	0,00	0,00	0,00	0,00	0,00	0,00	0,00	0,00	0,00	0,00	0,00	0,00	0,00	0,00	0,00	0,00	0,00	0,00	0,00	0,00	0,00	0,00
AZIONE SISMICA INERZIALE VERT. DELLA SPALLA	0,00	0,00	0,00	0,00	0,00	0,00	0,00	0,00	0,00	0,00	0,00	0,00	0,00	0,00	0,00	0,00	0,00	0,00	0,00	0,00	0,00	0,00	0,00	0,00
SOVRASP. DINAM. DEL TERRENO A TERGO DELLA SPALLA	0,00	0,00	0,00	0,00	0,00	0,00	0,00	0,00	0,00	0,00	0,00	0,00	0,00	0,00	0,00	0,00	0,00	00,0	0,00	0,00	0,00	0,00	0,00	0,00
AZIONE SISMICA LONGIT. TRASMESSA DALL'IMPALCATO	0,00	0,00	0,00	0,00	0,00	0,00	0,00	0,00	0,00	0,00	0,00	0,00	0,00	0,00	0,00	0,00	0,00	0,00	0,00	0,00	0,00	0,00	0,00	0,00
AZIONE SISMICA TRASV. TRASMESSA DALL'IMPALCATO	0,00	0,00	0,00	0,00	0,00	0,00	0,00	0,00	0,00	0,00	0,00	0,00	0,00	0,00	0,00	0,00	0,00	0,00	0,00	0,00	0,00	0,00	0,00	0,00
AZIONE SISMICA VERT. TRASMESSA DALL'IMPALCATO	0,00	0,00	0,00	0,00	0,00	0,00	0,00	0,00	0,00	0,00	0,00	0,00	0,00	0,00	0,00	0,00	0,00	0,00	0,00	0,00	0,00	0,00	0,00	0,00
TOTALE		8.381,45	1.946,35	-0,02	-846,20	2.803,61		8.558,29	1.943,30	-0,01	-852,91	525,25		7.826,82	1.946,35	0,02	-846,20	1.148,03		7.705,43	1.943,30	0,01	-852,91	14,10

		COMBI	NAZIONE SI	LE - FREQUE	NTE 05	
CARICO	Ψ	N _{8d} [kN]	V _{LONQSd} [kN]	V _{TRASV,Sd} [kN]	M _{LONG,8d} [kNm]	M _{TRASV,Sd} [kNm]
PESO PROPRIO DELLA SPALLA	1,00	3.130,55	0,00	0,00	-4.535,08	0,00
PESO PROPRIO IMPALCATO	1,00	2.674,28	48,79	0,00	107,34	0,00
PERMANENTI PORTATI IMPALCATO	1,00	1.002,58	14,79	0,00	32,54	0,00
SPINTA DEL TERRENO A TERGO DELLA SPALLA	1,00	0,00	1.235,47	0,00	1.989,10	0,00
SPINTA DEI SOVRACC. PERM. A TERGO DELLA SPALLA	1,00	0,00	56,27	0,00	135,90	0,00
SPINTA DEI SOVRACC. PERM. A TERGO DELLA SPALLA	0,00	0,00	0,00	0,00	0,00	0,00
AZIONE CENTRIFUGA	0,00	0,00	0,00	0,00	0,00	0,00
AZIONE DELLA FRENATURA	0,00	0,00	0,00	0,00	0,00	0,00
FOLLA COMPATTA	0,38	209,47	2,81	0,00	6,18	0,00
TRAFFICO - CONDIZIONE 1	0,00	0,00	0,00	0,00	0,00	0,00
TRAFFICO - CONDIZIONE 2	0,00	0,00	0,00	0,00	0,00	0,00
TRAFFICO - CONDIZIONE 3	0,00	0,00	0,00	0,00	0,00	0,00
TRAFFICO - CONDIZIONE 4	0,00	0,00	0,00	0,00	0,00	0,00
AZIONE TRASVERSALE DEL VENTO	0,20	0,00	0,00	-31,99	0,00	47,63
AZIONE SISMICA INERZIALE LONG. DELLA SPALLA	0,00	0,00	0,00	0,00	0,00	0,00
AZIONE SISMICA INERZIALE TRASV. DELLA SPALLA	0,00	0,00	0,00	0,00	0,00	0,00
AZIONE SISMICA INERZIALE VERT. DELLA SPALLA	0,00	0,00	0,00	0,00	0,00	0,00
SOVRASP. DINAM. DEL TERRENO A TERGO DELLA SPALLA	0,00	0,00	0,00	0,00	0,00	0,00
AZIONE SISMICA LONGIT. TRASMESSA DALL'IMPALCATO	0,00	0,00	0,00	0,00	0,00	0,00
AZIONE SISMICA TRASV. TRASMESSA DALL'IMPALCATO	0,00	0,00	0,00	0,00	0,00	0,00
AZIONE SISMICA VERT. TRASMESSA DALL'IMPALCATO	0,00	0,00	0,00	0,00	0,00	0,00
TOTALE	-	7.016,89	1.358,13	-31,99	-2.264,01	47,63

		COMBIN	AZIONE SLE	- CARATTER	ISTICA 01			COMBINA	AZIONE SLE	 CARATTER 	ISTICA 02			COMBINA	ZIONE SLE	- CARATTER	ISTICA 03			COMBINA	ZIONE SLE	- CARATTER	ISTICA 04	
CARICO	Ψ	N _{Sd} [kN]	V _{LONG,8d} [kN]	V _{TRASV,Sd} [kN]	MLONQSd [kNm]	M _{TRASV,Sd} [kNm]	Ψ	N _{Sd} [kN]	V _{LONGSd} [kN]	V _{TRASV,Sd} [kN]	M _{LONGSd} [kNm]	M _{TRASV,Sd} [kNm]	Ψ	N _{Sd} [kN]	V _{LONQSd} [kN]	V _{TRASV,Sd} [kN]	MLONGSd [kNm]	M _{TRASV,Sd} [kNm]	Ψ	N _{Sd} [kN]	V _{LONQ,Sd} [kN]	V _{TRASV,Sd} [kN]	MLONGSd [kNm]	M _{TRASV,Sd} [kNm]
PESO PROPRIO DELLA SPALLA	1,00	3.130,55	0,00	0,00	-4.535,08	0,00	1,00	3.130,55	0,00	0,00	-4.535,08	0,00	1,00	3.130,55	0,00	0,00	-4.535,08	0,00	1,00	3.130,55	0,00	0,00	-4.535,08	0,00
PESO PROPRIO IMPALCATO	1,00	2.674,28	48,79	0,00	107,34	0,00	1,00	2.674,28	48,79	0,00	107,34	0,00	1,00	2.674,28	48,79	0,00	107,34	0,00	1,00	2.674,28	48,79	0,00	107,34	0,00
PERMANENTI PORTATI IMPALCATO	1,00	1.002,58	14,79	0,00	32,54	0,00	1,00	1.002,58	14,79	0,00	32,54	0,00	1,00	1.002,58	14,79	0,00	32,54	0,00	1,00	1.002,58	14,79	0,00	32,54	0,00
SPINTA DEL TERRENO A TERGO DELLA SPALLA	1,00	0,00	1.235,47	0,00	1.989,10	0,00	1,00	0,00	1.235,47	0,00	1.989,10	0,00	1,00	0,00	1.235,47	0,00	1.989,10	0,00	1,00	0,00	1.235,47	0,00	1.989,10	0,00
SPINTA DEI SOVRACC. PERM. A TERGO DELLA SPALLA	1,00	0,00	56,27	0,00	135,90	0,00	1,00	0,00	56,27	0,00	135,90	0,00	1,00	0,00	56,27	0,00	135,90	0,00	1,00	0,00	56,27	0,00	135,90	0,00
SPINTA DEI SOVRACC. PERM. A TERGO DELLA SPALLA	1,00	0,00	767,37	0,00	1.853,20	0,00	1,00	0,00	767,37	0,00	1.853,20	0,00	1,00	0,00	767,37	0,00	1.853,20	0,00	1,00	0,00	767,37	0,00	1.853,20	0,00
AZIONE CENTRIFUGA	0,00	0,00	0,00	0,00	0,00	0,00	0,00	0,00	0,00	0,00	0,00	0,00	0,00	0,00	0,00	0,00	0,00	0,00	0,00	0,00	0,00	0,00	0,00	0,00
AZIONE DELLA FRENATURA	0,00	0,00	0,00	0,00	0,00	0,00	0,00	0,00	0,00	0,00	0,00	0,00	0,00	0,00	0,00	0,00	0,00	0,00	0,00	0,00	0,00	0,00	0,00	0,00
FOLLA COMPATTA	0,50	279,30	3,75	0,00	8,24	0,00	0,50	279,30	3,75	0,00	8,24	0,00	0,50	279,30	3,75	0,00	8,24	0,00	0,50	279,30	3,75	0,00	8,24	0,00
TRAFFICO - CONDIZIONE 1	1,00	1.819,41	16,91	-0,03	37,21	3.738,15	0,00	0,00	0,00	0,00	0,00	0,00	0,00	0,00	0,00	0,00	0,00	0,00	0,00	0,00	0,00	0,00	0,00	0,00
TRAFFICO - CONDIZIONE 2	0,00	0,00	0,00	0,00	0,00	0,00	1,00	2.055,20	12,85	-0,01	28,26	700,33	0,00	0,00	0,00	0,00	0,00	0,00	0,00	0,00	0,00	0,00	0,00	0,00
TRAFFICO - CONDIZIONE 3	0,00	0,00	0,00	0,00	0,00	0,00	0,00	0,00	0,00	0,00	0,00	0,00	1,00	1.079,91	16,91	0,03	37,21	1.530,71	0,00	0,00	0,00	0,00	0,00	0,00
TRAFFICO - CONDIZIONE 4	0,00	0,00	0,00	0,00	0,00	0,00	0,00	0,00	0,00	0,00	0,00	0,00	0,00	0,00	0,00	0,00	0,00	0,00	1,00	918,05	12,85	0,01	28,26	18,80
AZIONE TRASVERSALE DEL VENTO	0,60	0,00	0,00	-95,97	0,00	142,90	0,60	0,00	0,00	-95,97	0,00	142,90	0,60	0,00	0,00	-95,97	0,00	142,90	0,60	0,00	0,00	-95,97	0,00	142,90
AZIONE SISMICA INERZIALE LONG. DELLA SPALLA	0,00	0,00	0,00	0,00	0,00	0,00	0,00	0,00	0,00	0,00	0,00	0,00	0,00	0,00	0,00	0,00	0,00	0,00	0,00	0,00	0,00	0,00	0,00	0,00
AZIONE SISMICA INERZIALE TRASV. DELLA SPALLA	0,00	0,00	0,00	0,00	0,00	0,00	0,00	0,00	0,00	0,00	0,00	0,00	0,00	0,00	0,00	0,00	0,00	0,00	0,00	0,00	0,00	0,00	0,00	0,00
AZIONE SISMICA INERZIALE VERT. DELLA SPALLA	0,00	0,00	0,00	0,00	0,00	0,00	0,00	0,00	0,00	0,00	0,00	0,00	0,00	0,00	0,00	0,00	0,00	0,00	0,00	0,00	0,00	0,00	0,00	0,00
SOVRASP. DINAM. DEL TERRENO A TERGO DELLA SPALLA	0,00	0,00	0,00	0,00	0,00	0,00	0,00	0,00	0,00	0,00	0,00	0,00	0,00	0,00	0,00	0,00	0,00	0,00	0,00	0,00	0,00	0,00	0,00	0,00
AZIONE SISMICA LONGIT. TRASMESSA DALL'IMPALCATO	0,00	0,00	0,00	0,00	0,00	0,00	0,00	0,00	0,00	0,00	0,00	0,00	0,00	0,00	0,00	0,00	0,00	0,00	0,00	0,00	0,00	0,00	0,00	0,00
AZIONE SISMICA TRASV. TRASMESSA DALL'IMPALCATO	0,00	0,00	0,00	0,00	0,00	0,00	0,00	0,00	0,00	0,00	0,00	0,00	0,00	0,00	0,00	0,00	0,00	0,00	0,00	0,00	0,00	0,00	0,00	0,00
AZIONE SISMICA VERT. TRASMESSA DALL'IMPALCATO	0,00	0,00	0,00	0,00	0,00	0,00	0,00	0,00	0,00	0,00	0,00	0,00	0,00	0,00	0,00	0,00	0,00	0,00	0,00	0,00	0,00	0,00	0,00	0,00
TOTALE		8.906,13	2.143,35	-95,99	-371,54	3.881,05		9.141,91	2.139,29	-95,98	-380,48	843,23		8.166,63	2.143,35	-95,94	-371,54	1.673,61		8.004,77	2.139,29	-95,96	-380,48	161,70

		COMBINA	ZIONE SLE	- CARATTER	STICA 05			COMBINA	ZIONE SLE	 CARATTER 	ISTICA 06			COMBINA	ZIONE SLE	CARATTER	ISTICA 07			COMBINA	ZIONE SLE	- CARATTER	dISTICA 08	
CARICO	Ψ	N _{Sd} [kN]	V _{LONQ,Sd} [kN]	V _{TRASV,Sd} [kN]	M _{LONG,Sd} [kNm]	M _{TRASV,Sd} [kNm]	Ψ	N _{Sd} [kN]	V _{LONG,Sd} [kN]	V _{TRASV,Sd} [kN]	M _{LONGSd} [kNm]	M _{TRASV,Sd} [kNm]	Ψ	N _{Sd} [kN]	V _{LONQSd} [kN]	V _{TRASV,Sd} [kN]	M _{LONGSd} [kNm]	M _{TRASV,Sd} [kNm]	Ψ	N _{Sd} [kN]	V _{LONG,Sd} [kN]	V _{TRASV,Sd} [kN]	M _{LONGSd} [kNm]	M _{TRASV,Sd} [kNm]
PESO PROPRIO DELLA SPALLA	1.00	3.130.55	0.00	0.00	-4.535.08	0.00	1.00	3.130.55	0.00	0.00	-4.535.08	0.00	1.00	3.130.55	0.00	0.00	-4.535.08	0.00	1.00	3,130.55	0.00	0.00	-4.535.08	0.00
PESO PROPRIO IMPALCATO	1,00	2.674,28	48,79	0,00	107,34	0,00	1,00	2.674,28	48,79	0,00	107,34	0,00	1,00	2.674,28	48,79	0,00	107,34	0,00	1,00	2.674,28	48,79	0,00	107,34	0,00
PERMANENTI PORTATI IMPALCATO	1,00	1.002,58	14,79	0,00	32,54	0,00	1,00	1.002,58	14,79	0,00	32,54	0,00	1,00	1.002,58	14,79	0,00	32,54	0,00	1,00	1.002,58	14,79	0,00	32,54	0,00
SPINTA DEL TERRENO A TERGO DELLA SPALLA	1,00	0,00	1.235,47	0,00	1.989,10	0,00	1,00	0,00	1.235,47	0,00	1.989,10	0,00	1,00	0,00	1.235,47	0,00	1.989,10	0,00	1,00	0,00	1.235,47	0,00	1.989,10	0,00
SPINTA DEI SOVRACC. PERM. A TERGO DELLA SPALLA	1,00	0,00	56,27	0,00	135,90	0,00	1,00	0,00	56,27	0,00	135,90	0,00	1,00	0,00	56,27	0,00	135,90	0,00	1,00	0,00	56,27	0,00	135,90	0,00
SPINTA DEI SOVRACC. PERM. A TERGO DELLA SPALLA	0,75	0,00	575,53	0,00	1.389,90	0,00	0,75	0,00	575,53	0,00	1.389,90	0,00	0,75	0,00	575,53	0,00	1.389,90	0,00	0,75	0,00	575,53	0,00	1.389,90	0,00
AZIONE CENTRIFUGA	1,00	0,00	0,00	0,00	0,00	0,00	1,00	0,00	0,00	0,00	0,00	0,00	1,00	0,00	0,00	0,00	0,00	0,00	1,00	0,00	0,00	0,00	0,00	0,00
AZIONE DELLA FRENATURA	0,00	0,00	0,00	0,00	0,00	0,00	0,00	0,00	0,00	0,00	0,00	0,00	0,00	0,00	0,00	0,00	0,00	0,00	0,00	0,00	0,00	0,00	0,00	0,00
FOLLA COMPATTA	0,00	0,00	0,00	0,00	0,00	0,00	0,00	0,00	0,00	0,00	0,00	0,00	0,00	0,00	0,00	0,00	0,00	0,00	0,00	0,00	0,00	0,00	0,00	0,00
TRAFFICO - CONDIZIONE 1	0,75	1.364,56	12,68	-0,02	27,90	2.803,61	0,00	0,00	0,00	0,00	0,00	0,00	0,00	0,00	0,00	0,00	0,00	0,00	0,00	0,00	0,00	0,00	0,00	0,00
TRAFFICO - CONDIZIONE 2	0,00	0,00	0,00	0,00	0,00	0,00	0,75	1.541,40	9,64	-0,01	21,20	525,25	0,00	0,00	0,00	0,00	0,00	0,00	0,00	0,00	0,00	0,00	0,00	0,00
TRAFFICO - CONDIZIONE 3	0,00	0,00	0,00	0,00	0,00	0,00	0,00	0,00	0,00	0,00	0,00	0,00	0,75	809,94	12,68	0,02	27,90	1.148,03	0,00	0,00	0,00	0,00	0,00	0,00
TRAFFICO - CONDIZIONE 4	0,00	0,00	0,00	0,00	0,00	0,00	0,00	0,00	0,00	0,00	0,00	0,00	0,00	0,00	0,00	0,00	0,00	0,00	0,75	688,54	9,64	0,01	21,20	14,10
AZIONE TRASVERSALE DEL VENTO	0,60	0,00	0,00	-95,97	0,00	142,90	0,60	0,00	0,00	-95,97	0,00	142,90	0,60	0,00	0,00	-95,97	0,00	142,90	0,60	0,00	0,00	-95,97	0,00	142,90
AZIONE SISMICA INERZIALE LONG. DELLA SPALLA	0,00	0,00	0,00	0,00	0,00	0,00	0,00	0,00	0,00	0,00	0,00	0,00	0,00	0,00	0,00	0,00	0,00	0,00	0,00	0,00	0,00	0,00	0,00	0,00
AZIONE SISMICA INERZIALE TRASV. DELLA SPALLA	0,00	0,00	0,00	0,00	0,00	0,00	0,00	0,00	0,00	0,00	0,00	0,00	0,00	0,00	0,00	0,00	0,00	0,00	0,00	0,00	0,00	0,00	0,00	0,00
AZIONE SISMICA INERZIALE VERT. DELLA SPALLA	0,00	0,00	0,00	0,00	0,00	0,00	0,00	0,00	0,00	0,00	0,00	0,00	0,00	0,00	0,00	0,00	0,00	0,00	0,00	0,00	0,00	0,00	0,00	0,00
SOVRASP. DINAM. DEL TERRENO A TERGO DELLA SPALLA	0,00	0,00	0,00	0,00	0,00	0,00	0,00	0,00	0,00	0,00	0,00	0,00	0,00	0,00	0,00	0,00	0,00	0,00	0,00	0,00	0,00	0,00	0,00	0,00
AZIONE SISMICA LONGIT. TRASMESSA DALL'IMPALCATO	0,00	0,00	0,00	0,00	0,00	0,00	0,00	0,00	0,00	0,00	0,00	0,00	0,00	0,00	0,00	0,00	0,00	0,00	0,00	0,00	0,00	0,00	0,00	0,00
AZIONE SISMICA TRASV. TRASMESSA DALL'IMPALCATO	0,00	0,00	0,00	0,00	0,00	0,00	0,00	0,00	0,00	0,00	0,00	0,00	0,00	0,00	0,00	0,00	0,00	0,00	0,00	0,00	0,00	0,00	0,00	0,00
AZIONE SISMICA VERT. TRASMESSA DALL'IMPALCATO	0,00	0,00	0,00	0,00	0,00	0,00	0,00	0,00	0,00	0,00	0,00	0,00	0,00	0,00	0,00	0,00	0,00	0,00	0,00	0,00	0,00	0,00	0,00	0,00
TOTALE		8.171,97	1.943,54	-95,99	-852,39	2.946,51	-	8.348,81	1.940,49	-95,98	-859,09	668,15	-	7.617,35	1.943,54	-95,95	-852,39	1.290,93	-	7.495,95	1.940,49	-95,96	-859,09	157,00







PONTE SUL BREMBIOLO - ASSE 43 - RELAZIONE DI CALCOLO SPALLE

		COMBINA	ZIONE SLE	- CARATTER	ISTICA 09			COMBINA	ZIONE SLE	- CARATTER	ISTICA 10			COMBINA	ZIONE SLE -	- CARATTER	ISTICA 11			COMBINA	ZIONE SLE	- CARATTER	IISTICA 12	
CARICO PESO PROPRIO DELLA SPALLA	Ψ 1.00	N _{Sd} [kN]	VLONQSd [kN]	V _{TRASV,Sd} [kN]	MLONG,8d [kNm]	M _{TRASV,Sd} [kNm]	Ψ 1.00	N _{Sd} [kN]	V _{LONGSd} [kN]	V _{TRASV,Sd} [kN]	MLONQSd [kNm]	M _{TRASV,Sd} [kNm]	Ψ 1.00	N _{Sd} [kN]	V _{LONQ,8d} [kN]	V _{TRASV,Sd} [kN]	MLONQSd [kNm]	M _{TRASV,Sd} [kNm]	Ψ 1.00	N _{Sd} [kN]	V _{LONGSd} [kN]	V _{TRASV,Sd} [kN]	MLONGS4 [kNm]	MTRASV,Sd [kNm]
PESO PROPRIO IMPALCATO PERMANENTI PORTATI IMPALCATO SPINTA DEL TERRENO A TERGO DELLA SPALLA	1,00 1,00 1,00	3.130,55 2.674,28 1.002,58 0,00	0,00 48,79 14,79 1.235,47	0,00 0,00 0,00 0,00	-4.535,08 107,34 32,54 1.989,10	0,00 0,00 0,00 0,00	1,00 1,00 1,00	3.130,55 2.674,28 1.002,58 0,00	0,00 48,79 14,79 1,235,47	0,00 0,00 0,00 0,00	-4.535,08 107,34 32,54 1.989,10	0,00 0,00 0,00 0,00	1,00 1,00 1,00	3.130,55 2.674,28 1.002,58 0,00	0,00 48,79 14,79 1.235,47	0,00 0,00 0,00 0,00	-4.535,08 107,34 32,54 1.989,10	0,00 0,00 0,00 0,00	1,00 1,00 1,00	3.130,55 2.674,28 1.002,58 0,00	0,00 48,79 14,79 1.235,47	0,00 0,00 0,00	-4.535,08 107,34 32,54 1.989,10	0,00 0,00 0,00 0,00
SPINTA DEI SOVRACC. PERM. A TERGO DELLA SPALLA SPINTA DEI SOVRACC. PERM. A TERGO DELLA SPALLA AZIONE CENTRIFUGA AZIONE DELLA FRENATURA	1,00 0,75 0,00 1,00	0,00 0,00 0,00 0,00	56,27 575,53 0,00 -236,25	0,00 0,00 0,00 0,00	135,90 1.389,90 0,00 -519,75	0,00 0,00 0,00 0,00	1,00 0,75 0,00 1,00	0,00 0,00 0,00 0,00	56,27 575,53 0,00 -236,25	0,00 0,00 0,00 0,00	135,90 1.389,90 0,00 -519,75	0,00 0,00 0,00 0,00	1,00 0,75 0,00 1,00	0,00 0,00 0,00 0,00	56,27 575,53 0,00 -236,25	0,00 0,00 0,00 0,00	135,90 1.389,90 0,00 -519,75	0,00 0,00 0,00 0,00	1,00 0,75 0,00 1,00	0,00 0,00 0,00 0,00	56,27 575,53 0,00 -236,25	0,00 0,00 0,00 0,00	135,90 1.389,90 0,00 -519,75	0,00 0,00 0,00 0,00
FOLLA COMPATTA TRAFFICO - CONDIZIONE 1 TRAFFICO - CONDIZIONE 2 TRAFFICO - CONDIZIONE 3 TRAFFICO - CONDIZIONE 4	0,00 0,75 0,00 0,00 0,00	0,00 1.364,56 0,00 0,00 0,00	0,00 12,68 0,00 0,00 0,00	0,00 -0,02 0,00 0,00 0,00	0,00 27,90 0,00 0,00 0,00	0,00 2.803,61 0,00 0,00 0,00	0,00 0,00 0,75 0,00 0,00	0,00 0,00 1.541,40 0,00 0,00	0,00 0,00 9,64 0,00 0,00	0,00 0,00 -0,01 0,00 0,00	0,00 0,00 21,20 0,00 0,00	0,00 0,00 525,25 0,00 0,00	0,00 0,00 0,00 0,75 0,00	0,00 0,00 0,00 809,94 0,00	0,00 0,00 0,00 12,68 0,00	0,00 0,00 0,00 0,02 0,00	0,00 0,00 0,00 27,90 0,00	0,00 0,00 0,00 1.148,03 0,00	0,00 0,00 0,00 0,00 0,75	0,00 0,00 0,00 0,00 688,54	0,00 0,00 0,00 0,00 9,64	0,00 0,00 0,00 0,00 0,00	0,00 0,00 0,00 0,00 21,20	0,00 0,00 0,00 0,00 14,10
AZIONE TRASVERSALE DEL VENTO AZIONE SISMICA INERZIALE LONG. DELLA SPALLA AZIONE SISMICA INERZIALE TRASV. DELLA SPALLA	0,60 0,00 0,00	0,00 0,00 0,00	0,00 0,00 0,00	-95,97 0,00 0,00	0,00 0,00 0,00	142,90 0,00 0,00	0,60 0,00 0,00	0,00 0,00 0,00	0,00 0,00 0,00	-95,97 0,00 0,00	0,00 0,00 0,00	142,90 0,00 0,00	0,60 0,00 0,00	0,00 0,00 0,00	0,00 0,00 0,00	-95,97 0,00 0,00	0,00 0,00 0,00	142,90 0,00 0,00	0,60 0,00 0,00	0,00 0,00 0,00	0,00 0,00 0,00	-95,97 0,00 0,00	0,00 0,00 0,00	142,90 0,00 0,00
AZIONE SISMICA INERZIALE VERT. DELLA SPALLA SOVRASP. DINAM. DEL TERRENO A TERGO DELLA SPALLA AZIONE SISMICA LONGIT. TRASMESSA DALL'IMPALCATO	0,00 0,00 0,00	0,00 0,00 0,00	0,00 0,00 0,00	0,00 0,00 0,00	0,00 0,00 0,00	0,00 0,00 0,00	0,00 0,00 0,00	0,00 0,00 0,00	0,00 0,00 0,00	0,00 0,00 0,00	0,00 0,00 0,00	0,00 0,00 0,00	0,00 0,00 0,00	0,00 0,00 0,00	0,00 0,00 0,00	0,00 0,00 0,00	0,00 0,00 0,00	0,00 0,00 0,00	0,00 0,00 0,00	0,00 0,00 0,00	0,00 0,00 0,00	0,00 0,00 0,00	0,00 0,00 0,00	0,00 0,00 0,00
AZIONE SISMICA TRASV. TRASMESSA DALL'IMPALCATO AZIONE SISMICA VERT. TRASMESSA DALL'IMPALCATO TOTALE	0,00	0,00 0,00 8.171,97	0,00 0,00 1.707,29	0,00 0,00 -95,99	0,00 0,00 -1.372,14	0,00 0,00 2.946,51	0,00	0,00 0,00 8.348,81	0,00 0,00 1.704,24	0,00 0,00 -95,98	0,00 0,00 -1.378,84	0,00 0,00 668,15	0,00	0,00 0,00 7.617,35	0,00 0,00 1.707,29	0,00 0,00 -95,95	0,00 0,00 -1.372,14	0,00 0,00 1.290,93	0,00	0,00 0,00 7.495,95	0,00 0,00 1.704,24	0,00 0,00 -95,96	0,00 0,00 -1.378,84	0,00 0,00 157,00
CARICO	- w	COMBINA N _{Sd}	VLONQSd	- CARATTER	ISTICA 13 MLONGSd	M _{TRASV,8d}	w	COMBINA N _{Sd}	ZIONE SLE V _{LONQSd}	- CARATTER	MLONGSd	M _{TRASV,Sd}	w	COMBINA N _{Sd}	ZIONE SLE -	CARATTER V _{TRASV,Sd}	MLONGSd	M _{TRASV,Sd}	u	COMBIN/ N _{Sd}	ZIONE SLE V _{LONQSd}	- CARATTER	MLONGSd	M _{TRASV,Sd}
PESO PROPRIO DELLA SPALLA PESO PROPRIO IMPALCATO	1,00	[kN] 3.130,55 2.674,28	[kN] 0,00 48,79	[kN] 0,00 0,00	[kNm] -4.535,08 107,34	[kNm] 0,00 0,00	1,00 1,00	[kN] 3.130,55 2.674,28	[kN] 0,00 48,79	[kN] 0,00 0,00	[kNm] -4.535,08 107,34	[kNm] 0,00 0,00	1,00 1,00	[kN] 3.130,55 2.674,28	[kN] 0,00 48,79	[kN] 0,00 0,00	[kNm] -4.535,08 107,34	[kNm] 0,00 0,00	1,00 1,00	[kN] 3.130,55 2.674,28	[kN] 0,00 48,79	[kN] 0,00 0,00	[kNm] -4.535,08 107,34	[kNm] 0,00 0,00
PERMANENTI PORTATI IMPALCATO SPINTA DEL TERRENO A TERGO DELLA SPALLA SPINTA DEI SOVRACC. PERM. A TERGO DELLA SPALLA SPINTA DEI SOVRACC. PERM. A TERGO DELLA SPALLA AZIONE CENTRIFUGA	1,00 1,00 1,00 0,75 0,00	1.002,58 0,00 0,00 0,00 0,00	14,79 1.235,47 56,27 575,53 0,00	0,00 0,00 0,00 0,00 0,00	32,54 1.989,10 135,90 1.389,90 0,00	0,00 0,00 0,00 0,00 0,00	1,00 1,00 1,00 0,75 0,00	1.002,58 0,00 0,00 0,00 0,00	14,79 1.235,47 56,27 575,53 0,00	0,00 0,00 0,00 0,00 0,00	32,54 1.989,10 135,90 1.389,90 0,00	0,00 0,00 0,00 0,00 0,00	1,00 1,00 1,00 0,75 0,00	1.002,58 0,00 0,00 0,00 0,00	14,79 1.235,47 56,27 575,53 0,00	0,00 0,00 0,00 0,00 0,00	32,54 1.989,10 135,90 1.389,90 0,00	0,00 0,00 0,00 0,00 0,00	1,00 1,00 1,00 0,75 0,00	1.002,58 0,00 0,00 0,00 0,00	14,79 1.235,47 56,27 575,53 0,00	0,00 0,00 0,00 0,00 0,00	32,54 1.989,10 135,90 1.389,90 0,00	0,00 0,00 0,00 0,00 0,00
AZIONE DELLA FRENATURA FOLLA COMPATTA TRAFFICO - CONDIZIONE 1	0,00 0,50 0,75	0,00 279,30 1.364,56	0,00 3,75 12,68	0,00 0,00 -0,02	0,00 8,24 27,90	0,00 0,00 2.803,61	0,00 0,50 0,00	0,00 279,30 0,00	0,00 3,75 0,00	0,00 0,00 0,00	0,00 8,24 0,00	0,00 0,00 0,00	0,00 0,50 0,00	0,00 279,30 0,00	0,00 3,75 0,00	0,00 0,00 0,00	0,00 8,24 0,00	0,00 0,00 0,00	0,00 0,50 0,00	0,00 279,30 0,00	0,00 3,75 0,00	0,00 0,00 0,00	0,00 8,24 0,00	0,00 0,00 0,00
TRAFFICO - CONDIZIONE 2 TRAFFICO - CONDIZIONE 3 TRAFFICO - CONDIZIONE 4 AZIONE TRASVERSALE DEL VENTO AZIONE SISMICA INERZIALE LONG. DELLA SPALLA	0,00 0,00 0,00 1,00 0,00	0,00 0,00 0,00 0,00 0,00	0,00 0,00 0,00 0,00 0,00	0,00 0,00 0,00 -159,95 0,00	0,00 0,00 0,00 0,00 0,00	0,00 0,00 0,00 238,16 0,00	0,75 0,00 0,00 1,00 0,00	1.541,40 0,00 0,00 0,00 0,00	9,64 0,00 0,00 0,00 0,00	-0,01 0,00 0,00 -159,95 0,00	21,20 0,00 0,00 0,00 0,00	525,25 0,00 0,00 238,16 0,00	0,00 0,75 0,00 1,00 0,00	0,00 809,94 0,00 0,00 0,00	0,00 12,68 0,00 0,00 0,00	0,00 0,02 0,00 -159,95 0,00	0,00 27,90 0,00 0,00 0,00	0,00 1.148,03 0,00 238,16 0,00	0,00 0,00 0,75 1,00 0,00	0,00 0,00 688,54 0,00 0,00	0,00 0,00 9,64 0,00 0,00	0,00 0,00 0,01 -159,95 0,00	0,00 0,00 21,20 0,00 0,00	0,00 0,00 14,10 238,16 0,00
AZIONE SISMICA INERZIALE TRASV. DELLA SPALLA AZIONE SISMICA INERZIALE VERT. DELLA SPALLA SOVRASP. DINAM. DEL TERRENO A TERGO DELLA SPALLA	0,00 0,00 0,00	0,00 0,00 0,00	0,00 0,00 0,00	0,00 0,00 0,00	0,00 0,00 0,00	0,00 0,00 0,00	0,00 0,00 0,00	0,00 0,00 0,00	0,00 0,00 0,00	0,00 0,00 0,00	0,00 0,00 0,00	0,00 0,00 0,00	0,00 0,00 0,00	0,00 0,00 0,00	0,00 0,00 0,00	0,00 0,00 0,00	0,00 0,00 0,00	0,00 0,00 0,00	0,00 0,00 0,00	0,00 0,00 0,00	0,00 0,00 0,00	0,00 0,00 0,00	0,00 0,00 0,00	0,00 0,00 0,00
AZIONE SISMICA LONGIT. TRASMESSA DALL'IMPALCATO AZIONE SISMICA TRASV. TRASMESSA DALL'IMPALCATO AZIONE SISMICA VERT. TRASMESSA DALL'IMPALCATO TOTALE	0,00 0,00 0,00	0,00 0,00 0,00 8.451,27	0,00 0,00 0,00 1,947,28	0,00 0,00 0,00 -159,97	0,00 0,00 0,00 -844,14	0,00 0,00 0,00 3.041,78	0,00 0,00 0,00	0,00 0,00 0,00 8.628,11	0,00 0,00 0,00 1.944,23	0,00 0,00 0,00 -159,96	0,00 0,00 0,00 -850,85	0,00 0,00 0,00 763,42	0,00 0,00 0,00	0,00 0,00 0,00 7.896,65	0,00 0,00 0,00 1.947,28	0,00 0,00 0,00 -159,93	0,00 0,00 0,00 -844,14	0,00 0,00 0,00 1.386,20	0,00 0,00 0,00	0,00 0,00 0,00 7.775.25	0,00 0,00 0,00 1.944,23	0,00 0,00 0,00 -159,94	0,00 0,00 0,00 -850,85	0,00 0,00 0,00 252,26
CARICO	i L		MBINAZION VLONGSd			M _{TRASV.Sd}				E SLU - STF		M _{TRASV.Sd}			MBINAZIONI V _{LONGSd}			M _{TRASV.Sd}			MBINAZION VLONGSd			M _{TRASV.Sd}
PESO PROPRIO DELLA SPALLA PESO PROPRIO IMPALCATO	γ·Ψ 1,35 1.35	[kN] 4.226,24 3.610.28	[kN] 0,00 65,87	[kN] 0,00 0.00	[kNm] -6.122,36 144,91	[kNm] 0,00 0.00	γ·Ψ 1,35 1.35	[kN] 4.226,24 3.610.28	[kN] 0,00 65.87	[kN] 0,00 0.00	[kNm] -6.122,36 144.91	[kNm] 0,00 0.00	γ·Ψ 1,35 1.35	[kN] 4.226,24 3.610.28	[kN] 0,00 65.87	[kN] 0,00 0.00	[kNm] -6.122,36 144.91	[kNm] 0,00 0.00	γ·Ψ 1,35 1.35	[kN] 4.226,24 3.610.28	[kN] 0,00 65.87	[kN] 0,00 0,00	[kNm] -6.122,36 144.91	[kNm] 0,00 0.00
PERMANENTI PORTATI IMPALCATO SPINTA DEL TERRENO A TERGO DELLA SPALLA SPINTA DEI SOVRACC. PERM. A TERGO DELLA SPALLA	1,50 1,35 1,50	1.503,87 0,00 0,00	22,19 1.667,88 84,41	0,00 0,00 0,00	48,82 2.685,29 203,85	0,00 0,00 0,00	1,50 1,35 1,50	1.503,87 0,00 0,00	22,19 1.667,88 84,41	0,00 0,00 0,00	48,82 2.685,29 203,85	0,00 0,00 0,00	1,50 1,35 1,50	1.503,87 0,00 0,00	22,19 1.667,88 84,41	0,00 0,00 0,00	48,82 2.685,29 203,85	0,00 0,00 0,00	1,50 1,35 1,50	1.503,87 0,00 0,00	22,19 1.667,88 84,41	0,00 0,00 0,00	48,82 2.685,29 203,85	0,00 0,00 0,00
SPINTA DEI SOVRACC. PERM. A TERGO DELLA SPALLA AZIONE CENTRIFUGA AZIONE DELLA FRENATURA FOLLA COMPATTA TRAFFICO - CONDIZIONE 1	1,35 0,00 0,00 0,75 1,35	0,00 0,00 0,00 418,95 2.456,21	1.035,95 0,00 0,00 5,62 22,83	0,00 0,00 0,00 0,00 -0,04	2.501,82 0,00 0,00 12,37 50,23	0,00 0,00 0,00 0,00 5.046,50	1,35 0,00 0,00 0,75 0,00	0,00 0,00 0,00 418,95 0,00	1.035,95 0,00 0,00 5,62 0,00	0,00 0,00 0,00 0,00 0,00	2.501,82 0,00 0,00 12,37 0,00	0,00 0,00 0,00 0,00 0,00	1,35 0,00 0,00 0,75 0,00	0,00 0,00 0,00 418,95 0,00	1.035,95 0,00 0,00 5,62 0,00	0,00 0,00 0,00 0,00 0,00	2.501,82 0,00 0,00 12,37 0,00	0,00 0,00 0,00 0,00 0,00	1,35 0,00 0,00 0,75 0,00	0,00 0,00 0,00 418,95 0,00	1.035,95 0,00 0,00 5,62 0,00	0,00 0,00 0,00 0,00 0,00	2.501,82 0,00 0,00 12,37 0,00	0,00 0,00 0,00 0,00 0,00
TRAFFICO - CONDIZIONE 2 TRAFFICO - CONDIZIONE 3 TRAFFICO - CONDIZIONE 4 AZIONE TRASVERSALE DEL VENTO AZIONE SISMICA INFEZIALE LONG. DELLA SPALLA	0,00 0,00 0,00 0,90 0,00	0,00 0,00 0,00 0,00 0,00	0,00 0,00 0,00 0,00 0,00	0,00 0,00 0,00 -143,95 0,00	0,00 0,00 0,00 0,00 0,00	0,00 0,00 0,00 214,35 0,00	1,35 0,00 0,00 0,90 0,00	2.774,51 0,00 0,00 0,00 0,00 0,00	17,34 0,00 0,00 0,00 0,00	-0,01 0,00 0,00 -143,95 0,00	38,16 0,00 0,00 0,00 0,00	945,45 0,00 0,00 214,35 0,00	0,00 1,35 0,00 0,90 0,00	0,00 1.457,88 0,00 0,00 0,00	0,00 22,83 0,00 0,00 0,00	0,00 0,04 0,00 -143,95 0,00	0,00 50,23 0,00 0,00 0,00	0,00 2.066,46 0,00 214,35 0,00	0,00 0,00 1,35 0,90 0,00	0,00 0,00 1.239,37 0,00 0,00	0,00 0,00 17,34 0,00 0,00	0,00 0,00 0,01 -143,95 0,00	0,00 0,00 38,16 0,00 0,00	0,00 0,00 25,38 214,35 0,00
AZIONE SISMICA INERZIALE TRASV. DELLA SPALLA AZIONE SISMICA INERZIALE VERT. DELLA SPALLA SOVRASP. DINAM. DEL TERRENO A TERGO DELLA SPALLA	0,00 0,00 0,00	0,00 0,00 0,00	0,00 0,00 0,00	0,00 0,00 0,00	0,00 0,00 0,00	0,00 0,00 0,00	0,00 0,00 0,00	0,00 0,00 0,00	0,00 0,00 0,00	0,00 0,00 0,00	0,00 0,00 0,00	0,00 0,00 0,00	0,00 0,00 0,00	0,00 0,00 0,00	0,00 0,00 0,00	0,00 0,00 0,00	0,00 0,00 0,00	0,00 0,00 0,00	0,00 0,00 0,00	0,00 0,00 0,00	0,00 0,00 0,00	0,00 0,00 0,00	0,00 0,00 0,00	0,00 0,00 0,00
AZIONE SISMICA LONGIT. TRASMESSA DALL'IMPALCATO AZIONE SISMICA TRASV. TRASMESSA DALL'IMPALCATO AZIONE SISMICA VERT. TRASMESSA DALL'IMPALCATO TOTALE	0,00 0,00 0,00	0,00 0,00 0,00 12.215,55	0,00 0,00 0,00 2,904,75	0,00 0,00 0,00 -143,99	0,00 0,00 0,00 -475,08	0,00 0,00 0,00 5.260,85	0,00 0,00 0,00	0,00 0,00 0,00 12.533,86	0,00 0,00 0,00 2.899,26	0,00 0,00 0,00 -143,97	0,00 0,00 0,00 -487,15	0,00 0,00 0,00 1.159,80	0,00 0,00 0,00	0,00 0,00 0,00 11.217,23	0,00 0,00 0,00 2.904,75	0,00 0,00 0,00 -143,92	0,00 0,00 0,00 -475,08	0,00 0,00 0,00 2.280,80	0,00 0,00 0,00	0,00 0,00 0,00 10.998,72	0,00 0,00 0,00 2.899,26	0,00 0,00 0,00 -143,94	0,00 0,00 0,00 -487,15	0,00 0,00 0,00 239,73
CARICO	γ-ψ	N _{Sd} [kN]	MBINAZION VLONQSd [kN]	V _{TRASV,Sd}	MLONGSd [kNm]	M _{TRASV,Sd} [kNm]	γ-ψ	N _{Sd} [kN]	MBINAZION V _{LONGSd} [kN]	V _{TRASV,Sd}	M _{LONGSd}	M _{TRASV,Sd} [kNm]	γ·ψ	N _{Sd} [kN]	MBINAZIONI V _{LONG,Sd} [kN]	E SLU - STR V _{TRASV,Sd} [kN]	MLONGSd [kNm]	M _{TRASV,8d} [kNm]	γ·ψ	N _{Sd} [kN]	MBINAZION V _{LONGSd} [kN]	V _{TRASV,Sd}	MLONQSd [kNm]	M _{TRASV,Sd} [kNm]
PESO PROPRIO DELLA SPALLA PESO PROPRIO IMPALCATO PERMANENTI PORTATI IMPALCATO	1,35 1,35 1,50 1,35	4.226,24 3.610,28 1.503,87	0,00 65,87 22,19 1,667,88	0,00 0,00 0,00	-6.122,36 144,91 48,82	0,00 0,00 0,00	1,35 1,35 1,50 1,35	4.226,24 3.610,28 1.503,87	0,00 65,87 22,19 1,667,88	0,00 0,00 0,00	-6.122,36 144,91 48,82 2,685,29	0,00 0,00 0,00	1,35 1,35 1,50 1,35	4.226,24 3.610,28 1.503,87	0,00 65,87 22,19 1,667,88	0,00 0,00 0,00	-6.122,36 144,91 48,82	0,00 0,00 0,00	1,35 1,35 1,50 1,35	4.226,24 3.610,28 1.503,87	0,00 65,87 22,19 1,667,88	0,00 0,00 0,00	-6.122,36 144,91 48,82 2,685,29	0,00 0,00 0,00
SPINTA DEL TERRENO A TERGO DELLA SPALLA SPINTA DEI SOVRACC. PERM. A TERGO DELLA SPALLA SPINTA DEI SOVRACC. PERM. A TERGO DELLA SPALLA AZIONE CENTRIFUGA AZIONE CENTRIFUGA AZIONE DELLA FRENATURA	1,50 1,01 1,50 0,00	0,00 0,00 0,00 0,00 0,00	84,41 776,96 0,00 0,00	0,00 0,00 0,00 0,00 0,00	2.685,29 203,85 1.876,36 0,00 0,00	0,00 0,00 0,00 0,00 0,00	1,50 1,01 1,50 0,00	0,00 0,00 0,00 0,00 0,00	84,41 776,96 0,00 0,00	0,00 0,00 0,00 0,00 0,00	203,85 1.876,36 0,00 0,00	0,00 0,00 0,00 0,00 0,00	1,50 1,01 1,50 0,00	0,00 0,00 0,00 0,00 0,00	84,41 776,96 0,00 0,00	0,00 0,00 0,00 0,00	2.685,29 203,85 1.876,36 0,00 0,00	0,00 0,00 0,00 0,00 0,00	1,50 1,01 1,50 0,00	0,00 0,00 0,00 0,00 0,00	84,41 776,96 0,00 0,00	0,00 0,00 0,00 0,00	203,85 1.876,36 0,00 0,00	0,00 0,00 0,00 0,00
FOLLA COMPATTA TRAFFICO - CONDIZIONE 1 TRAFFICO - CONDIZIONE 2 TRAFFICO - CONDIZIONE 3 TRAFFICO - CONDIZIONE 4	0,00 1,01 0,00 0,00 0,00	0,00 1.842,16 0,00 0,00 0,00	0,00 17,12 0,00 0,00 0,00	0,00 -0,03 0,00 0,00 0,00	0,00 37,67 0,00 0,00 0,00	0,00 3.784,88 0,00 0,00 0,00	0,00 0,00 1,01 0,00 0,00	0,00 0,00 2.080,89 0,00 0,00	0,00 0,00 13,01 0,00 0,00	0,00 0,00 -0,01 0,00 0,00	0,00 0,00 28,62 0,00 0,00	0,00 0,00 709,09 0,00 0,00	0,00 0,00 0,00 1,01 0,00	0,00 0,00 0,00 1.093,41 0,00	0,00 0,00 0,00 17,12 0,00	0,00 0,00 0,00 0,03 0,00	0,00 0,00 0,00 37,67 0,00	0,00 0,00 0,00 1.549,84 0,00	0,00 0,00 0,00 0,00 1,01	0,00 0,00 0,00 0,00 929,53	0,00 0,00 0,00 0,00 13,01	0,00 0,00 0,00 0,00 0,00	0,00 0,00 0,00 0,00 28,62	0,00 0,00 0,00 0,00 19,03
AZIONE TRASVERSALE DEL VENTO AZIONE SISMICA INERZIALE LONG. DELLA SPALLA AZIONE SISMICA INERZIALE TRASV. DELLA SPALLA AZIONE SISMICA INERZIALE VERT. DELLA SPALLA SOURASP, DINAMI DEL TERRENO A TERGO DELLA SPALLA	0,90 0,00 0,00 0,00 0,00	0,00 0,00 0,00 0,00	0,00 0,00 0,00 0,00	-143,95 0,00 0,00 0,00 0,00	0,00 0,00 0,00 0,00	214,35 0,00 0,00 0,00 0,00	0,90 0,00 0,00 0,00	0,00 0,00 0,00 0,00	0,00 0,00 0,00 0,00	-143,95 0,00 0,00 0,00 0,00	0,00 0,00 0,00 0,00	214,35 0,00 0,00 0,00 0,00	0,90 0,00 0,00 0,00	0,00 0,00 0,00 0,00	0,00 0,00 0,00 0,00	-143,95 0,00 0,00 0,00 0,00	0,00 0,00 0,00 0,00	214,35 0,00 0,00 0,00 0,00	0,90 0,00 0,00 0,00	0,00 0,00 0,00 0,00	0,00 0,00 0,00 0,00	-143,95 0,00 0,00 0,00 0,00	0,00 0,00 0,00 0,00	214,35 0,00 0,00 0,00 0,00
AZIONE SISMICA LONGIT. TRASMESSA DALL'IMPALCATO AZIONE SISMICA TRASV. TRASMESSA DALL'IMPALCATO AZIONE SISMICA VERT. TRASMESSA DALL'IMPALCATO TOTALE	0,00 0,00 0,00	0,00 0,00 0,00 11.182,55	0,00 0,00 0,00 2,634,43	0,00 0,00 0,00 -143,98	0,00 0,00 0,00 -1.125,46	0,00 0,00 0,00 3.999,23	0,00 0,00 0,00 -	0,00 0,00 0,00 11.421,28	0,00 0,00 0,00 2.630,32	0,00 0,00 0,00 -143,96	0,00 0,00 0,00 -1.134,51	0,00 0,00 0,00 923,44	0,00 0,00 0,00	0,00 0,00 0,00 10.433,81	0,00 0,00 0,00 2.634,43	0,00 0,00 0,00 -143,93	0,00 0,00 0,00 -1.125,46	0,00 0,00 0,00 1.764,19	0,00 0,00 0,00	0,00 0,00 0,00 10.269,92	0,00 0,00 0,00 2.630,32	0,00 0,00 0,00 -143,94	0,00 0,00 0,00 -1.134,51	0,00 0,00 0,00 233,38
CARICO	γ·ψ	N _{Sd}	WEINAZION VLONQSd [kN]	V _{TRASV,Sd}	MLONG,8d [kNm]	M _{TRASV,Sd} [kNm]	γ·ψ	N _{Sd}	MBINAZION VLONQSd [kN]	V _{TRASV,Sd}	M _{LONGSd} [kNm]	M _{TRASV,Sd} [kNm]	γ·ψ	N _{Sd} [kN]	MBINAZIONI V _{LONQSd} [kN]	E SLU - STR V _{TRASV,Sd} [kN]	MLONGSd [kNm]	M _{TRASV,Sd} [kNm]	γ·ψ	N _{Sd} [kN]	MBINAZION VLONQSd [kN]	E SLU - STI V _{TRASV,Sd} [kN]	MLONGSd [kNm]	M _{TRASV,Sd}
PESO PROPRIO DELLA SPALLA PESO PROPRIO IMPALCATO PERMANENTI PORTATI IMPALCATO	1,35 1,35 1,50	4.226,24 3.610,28 1.503,87	0,00 65,87 22,19	0,00 0,00 0,00	-6.122,36 144,91 48,82	0,00 0,00 0,00	1,35 1,35 1,50	4.226,24 3.610,28 1.503,87	0,00 65,87 22,19	0,00 0,00 0,00	-6.122,36 144,91 48,82	0,00 0,00 0,00	1,35 1,35 1,50	4.226,24 3.610,28 1.503,87	0,00 65,87 22,19	0,00 0,00 0,00	-6.122,36 144,91 48,82	0,00 0,00 0,00	1,35 1,35 1,50	4.226,24 3.610,28 1.503,87	0,00 65,87 22,19	0,00 0,00 0,00	-6.122,36 144,91 48,82	0,00 0,00 0,00
SPINTA DEL TERRENO A TERGO DELLA SPALLA SPINTA DEI SOVRACC. PERM. A TERGO DELLA SPALLA SPINTA DEI SOVRACC. PERM. A TERGO DELLA SPALLA SPINTA DEI SOVRACC. PERM. A TERGO DELLA SPALLA	1,35 1,50 1,01	0,00 0,00 0,00	1.667,88 84,41 776,96	0,00 0,00 0,00	2.685,29 203,85 1.876,36	0,00 0,00 0,00	1,35 1,50 1,01	0,00 0,00 0,00	1.667,88 84,41 776,96	0,00 0,00 0,00	2.685,29 203,85 1.876,36	0,00 0,00 0,00	1,35 1,50 1,01	0,00 0,00 0,00	1.667,88 84,41 776,96	0,00 0,00 0,00	2.685,29 203,85 1.876,36	0,00 0,00 0,00	1,35 1,50 1,01	0,00 0,00 0,00	1.667,88 84,41 776,96	0,00 0,00 0,00	2.685,29 203,85 1.876,36	0,00 0,00 0,00
AZIONE CENTRIFUGA AZIONE DELLA FRENATURA FOLLA COMPATTA TRAFFICO - CONDIZIONE 1	0,00 1,50 0,00 1,01	0,00 0,00 0,00 1.842,16	0,00 -354,37 0,00 17,12	0,00 0,00 0,00 -0,03	0,00 -779,62 0,00 37,67	0,00 0,00 0,00 3.784,88	0,00 1,50 0,00 0,00	0,00 0,00 0,00 0,00	0,00 -354,37 0,00 0,00	0,00 0,00 0,00 0,00	0,00 -779,62 0,00 0,00	0,00 0,00 0,00 0,00	0,00 1,50 0,00 0,00	0,00 0,00 0,00 0,00	0,00 -354,37 0,00 0,00	0,00 0,00 0,00 0,00	0,00 -779,62 0,00 0,00	0,00 0,00 0,00 0,00	0,00 1,50 0,00 0,00	0,00 0,00 0,00 0,00	0,00 -354,37 0,00 0,00	0,00 0,00 0,00 0,00	0,00 -779,62 0,00 0,00	0,00 0,00 0,00 0,00
TRAFFICO - CONDIZIONE 2 TRAFFICO - CONDIZIONE 3 TRAFFICO - CONDIZIONE 4 AZIONE TRASVERSALE DEL VENTO AZIONE SISMICA INERZIALE LONG. DELLA SPALLA	0,00 0,00 0,00 0,90 0,00	0,00 0,00 0,00 0,00 0,00	0,00 0,00 0,00 0,00 0,00	0,00 0,00 0,00 -143,95 0,00	0,00 0,00 0,00 0,00 0,00	0,00 0,00 0,00 214,35 0,00	1,01 0,00 0,00 0,90 0,00	2.080,89 0,00 0,00 0,00 0,00	13,01 0,00 0,00 0,00 0,00	-0,01 0,00 0,00 -143,95 0,00	28,62 0,00 0,00 0,00 0,00	709,09 0,00 0,00 214,35 0,00	0,00 1,01 0,00 0,90 0,00	0,00 1.093,41 0,00 0,00 0,00	0,00 17,12 0,00 0,00 0,00	0,00 0,03 0,00 -143,95 0,00	0,00 37,67 0,00 0,00 0,00	0,00 1.549,84 0,00 214,35 0,00	0,00 0,00 1,01 0,90 0,00	0,00 0,00 929,53 0,00 0,00	0,00 0,00 13,01 0,00 0,00	0,00 0,00 0,01 -143,95 0,00	0,00 0,00 28,62 0,00 0,00	0,00 0,00 19,03 214,35 0,00
AZIONE SISMICA INERZIALE TRASV. DELLA SPALLA AZIONE SISMICA INERZIALE TRASV. DELLA SPALLA AZIONE SISMICA INERZIALE VERT. DELLA SPALLA SOVIRASP. DINAIM. DEL TERRENO A TERGO DELLA SPALLA AZIONE SISMICA LONGIT. TRASMESSA DALL'IMPALCATO AZIONE SISMICA TRASV. TRASMESSA DALL'IMPALCATO AZIONE SISMICA TRASV. TRASMESSA DALL'IMPALCATO	0,00 0,00 0,00 0,00 0,00	0,00 0,00 0,00 0,00 0,00	0,00 0,00 0,00 0,00 0,00	0,00 0,00 0,00 0,00 0,00	0,00 0,00 0,00 0,00 0,00	0,00 0,00 0,00 0,00 0,00	0,00 0,00 0,00 0,00 0,00	0,00 0,00 0,00 0,00 0,00	0,00 0,00 0,00 0,00 0,00	0,00 0,00 0,00 0,00 0,00	0,00 0,00 0,00 0,00 0,00	0,00 0,00 0,00 0,00 0,00	0,00 0,00 0,00 0,00 0,00	0,00 0,00 0,00 0,00 0,00	0,00 0,00 0,00 0,00 0,00	0,00 0,00 0,00 0,00 0,00	0,00 0,00 0,00 0,00 0,00	0,00 0,00 0,00 0,00 0,00	0,00 0,00 0,00 0,00 0,00	0,00 0,00 0,00 0,00 0,00	0,00 0,00 0,00 0,00 0,00	0,00 0,00 0,00 0,00 0,00	0,00 0,00 0,00 0,00 0,00	0,00 0,00 0,00 0,00 0,00
AZIONE SISMICA TRASV. TRASMESSA DALL'IMPALCATO AZIONE SISMICA VERT. TRASMESSA DALL'IMPALCATO TOTALE	0,00	0,00 0,00 11.182,55	0,00	0,00	0,00 0,00 -1.905,08	0,00	0,00	0,00 0,00 11.421,28	0,00 0,00 2.275,94	0,00	0,00 0,00 -1.914,13	0,00 0,00 923,44	0,00	0,00 0,00 10.433,81	0,00 0,00 2.280,06	0,00 0,00 -143,93	0,00 0,00 -1.905,08	0,00 0,00 1.764,19	0,00	0,00	0,00 0,00 2.275,94	0,00 0,00 -143,94	0,00 0,00 -1.914,13	0,00 0,00 233,38
CARICO	γ.Ψ	N _{Sd}	VLONQ Sd	V _{TRASV,Sd}	MLONGSd	M _{TRASV,Sd}	γ-ψ	N _{Sd}	VLONGSd	- CARATTER V _{TRASV,Sd}	MLONGSd	M _{TRASV,Sd}	γ·ψ	N _{Sd}	V _{LONG,Sd}	V _{TRASV,Sd}	MLONGSd	M _{TRASV,Sd}	γ·ψ	N _{Sd}	VLONGSd	VTRASV,Sd	MLONGSd	M _{TRASV,Sd}
PESO PROPRIO DELLA SPALLA PESO PROPRIO IMPALCATO PERMANENTI PORTATI IMPALCATO	1,35 1,35 1,50	[kN] 4.226,24 3.610,28 1.503,87	[kN] 0,00 65,87 22,19	[kN] 0,00 0,00 0,00	[kNm] -6.122,36 144,91 48,82	[kNm] 0,00 0,00 0,00	1,35 1,35 1,50	[kN] 4.226,24 3.610,28 1.503,87	0,00 65,87 22,19	[kN] 0,00 0,00 0,00	[kNm] -6.122,36 144,91 48,82	[kNm] 0,00 0,00 0,00	1,35 1,35 1,50	[kN] 4.226,24 3.610,28 1.503,87	[kN] 0,00 65,87 22,19	(kN) 0,00 0,00 0,00	[kNm] -6.122,36 144,91 48,82	[kNm] 0,00 0,00 0,00	1,35 1,35 1,50	(kN) 4.226,24 3.610,28 1.503,87	[kN] 0,00 65,87 22,19	0,00 0,00 0,00	[kNm] -6.122,36 144,91 48,82	(kNm) 0,00 0,00 0,00
SPINTA DEL TERRENO A TERGO DELLA SPALLA SPINTA DEI SOVRACC. PERM. A TERGO DELLA SPALLA SPINTA DEI SOVRACC. PERM. A TERGO DELLA SPALLA AZIONE CENTRIFUGA	1,35 1,50 1,01 0,00	0,00 0,00 0,00 0,00	1.667,88 84,41 776,96 0,00	0,00 0,00 0,00 0,00	2.685,29 203,85 1.876,36 0,00	0,00 0,00 0,00 0,00	1,35 1,50 1,01 0,00	0,00 0,00 0,00 0,00	1.667,88 84,41 776,96 0,00	0,00 0,00 0,00 0,00	2.685,29 203,85 1.876,36 0,00	0,00 0,00 0,00 0,00	1,35 1,50 1,01 0,00	0,00 0,00 0,00 0,00	1.667,88 84,41 776,96 0,00	0,00 0,00 0,00 0,00	2.685,29 203,85 1.876,36 0,00	0,00 0,00 0,00 0,00	1,35 1,50 1,01 0,00	0,00 0,00 0,00 0,00	1.667,88 84,41 776,96 0,00	0,00 0,00 0,00 0,00	2.685,29 203,85 1.876,36 0,00	0,00 0,00 0,00 0,00
AZIONE DELLA FRENATURA FOLLA COMPATTA TRAFFICO - CONDIZIONE 1 TRAFFICO - CONDIZIONE 2	0,00 0,75 1,01	0,00 418,95 1.842,16	0,00 5,62 17,12	0,00 0,00 -0,03	0,00 12,37 37,67	0,00 0,00 3.784,88	0,00 0,75 0,00 1,01	0,00 418,95 0,00 2,080,89	0,00 5,62 0,00	0,00 0,00 0,00 -0.01	0,00 12,37 0,00	0,00 0,00 0,00 709.09	0,00 0,75 0,00	0,00 418,95 0,00 0.00	0,00 5,62 0,00	0,00 0,00 0,00	0,00 12,37 0,00 0.00	0,00 0,00 0,00	0,00 0,75 0,00	0,00 418,95 0,00	0,00 5,62 0,00	0,00 0,00 0,00	0,00 12,37 0,00	0,00 0,00 0,00
TRAFFICO - CONDIZIONE 2 TRAFFICO - CONDIZIONE 3 TRAFFICO - CONDIZIONE 4 AZIONE TRASVERSALE DEL VENTO	0,00 0,00 0,00 1,50	0,00 0,00 0,00 0,00	0,00 0,00 0,00 0,00	0,00 0,00 -239,92	0,00 0,00 0,00 0,00	0,00 0,00 0,00 357,25	0,00 0,00 1,50	0,00 0,00 0,00	13,01 0,00 0,00 0,00	0,00 0,00 -239,92	28,62 0,00 0,00 0,00	0,00 0,00 357,25	0,00 1,01 0,00 1,50	1.093,41 0,00 0,00	0,00 17,12 0,00 0,00	0,00 0,03 0,00 -239,92	37,67 0,00 0,00	1.549,84 0,00 357,25	0,00 0,00 1,01 1,50	0,00 0,00 929,53 0,00	0,00 0,00 13,01 0,00	0,00 0,01 -239,92	0,00 0,00 28,62 0,00	0,00 19,03 357,25
AZIONE SISMICA INERZIALE LONG. DELLA SPALLA AZIONE SISMICA INERZIALE TRASV. DELLA SPALLA AZIONE SISMICA INERZIALE VERT. DELLA SPALLA SOVRASP. DINAM. DEL TERRENO A TERGO DELLA SPALLA AZIONE SISMICA LONGIT. TRASMESSA DALL'IMPALCATO	0,00 0,00 0,00 0,00 0,00	0,00 0,00 0,00 0,00 0,00	0,00 0,00 0,00 0,00 0,00	0,00 0,00 0,00 0,00 0,00	0,00 0,00 0,00 0,00 0,00	0,00 0,00 0,00 0,00 0,00	0,00 0,00 0,00 0,00 0,00	0,00 0,00 0,00 0,00 0,00	0,00 0,00 0,00 0,00 0,00	0,00 0,00 0,00 0,00 0,00	0,00 0,00 0,00 0,00 0,00	0,00 0,00 0,00 0,00 0,00	0,00 0,00 0,00 0,00 0,00	0,00 0,00 0,00 0,00	0,00 0,00 0,00 0,00	0,00 0,00 0,00 0,00 0,00	0,00 0,00 0,00 0,00 0,00	0,00 0,00 0,00 0,00 0,00	0,00 0,00 0,00 0,00 0,00	0,00 0,00 0,00 0,00 0,00	0,00 0,00 0,00 0,00 0,00	0,00 0,00 0,00 0,00 0,00	0,00 0,00 0,00 0,00	0,00 0,00 0,00 0,00
AZIONE SISMICA TRASV. TRASMESSA DALL'IMPALCATO	0,00	0,00	0,00	0,00	0,00	0,00	0,00	0,00	0,00	0,00	0,00	0,00	0,00	0,00	0,00	0,00	0,00	0,00	0,00	0,00	0,00	0,00	0,00	0,00













PONTE SUL BREMBIOLO - ASSE 43 - RELAZIONE DI CALCOLO SPALLE

			COMBINAZ	IONE SLV 01	1				COMBINAZ	IONE SLV 02					COMBINAZI	ONE SLV 03					COMBINAZI	IONE SLV 04	ı	
CARICO PESO PROPRIO DELLA SPALLA	γ·Ψ 1.00	N _{8d} [kN] 3.130,55	V _{LONQ,8d} [kN] 0.00	V _{TRASV,Sd} [kN] 0.00	MLONQ8d [kNm] -4.535.08	M _{TRASV,Sd} [kNm] 0,00	γ·Ψ 1.00	N _{8d} [kN] 3.130,55	VLONQSd [kN] 0.00	V _{TRASV,Sd} [kN] 0.00	MLONGSd [kNm] -4.535.08	M _{TRASV,Sd} [kNm] 0.00	γ·Ψ 1.00	N _{8d} [kN] 3.130,55	V _{LONQSd} [kN] 0.00	V _{TRASV,Sd} [kN] 0.00	MLONGSd [kNm] -4.535,08	M _{TRASV,8d} [kNm] 0.00	γ·Ψ 1.00	N _{8d} [kN] 3.130,55	VLONGSd [kN] 0.00	V _{TRASV,Sd} [kN] 0.00	MLONQ84 [kNm] -4.535.08	MTRASV,Sd [kNm] 0,00
PESO PROPRIO IMPALCATO PERMANENTI PORTATI IMPALCATO SPINTA DEL TERRENO A TERGO DELLA SPALLA	1,00 1,00 1,00	2.674,28 1.002,58 0,00	48,79 14,79 1.235,47	0,00 0,00 0,00	107,34 32,54 1.989,10	0,00 0,00 0,00	1,00 1,00 1,00	2.674,28 1.002,58 0,00	48,79 14,79 1,235,47	0,00 0,00 0,00	107,34 32,54 1.989,10	0,00 0,00 0,00	1,00 1,00 1,00	2.674,28 1.002,58 0,00	48,79 14,79 1.235,47	0,00 0,00 0,00	107,34 32,54 1.989,10	0,00 0,00 0,00	1,00 1,00 1,00	2.674,28 1.002,58 0,00	48,79 14,79 1.235,47	0,00 0,00 0,00	107,34 32,54 1.989,10	0,00 0,00 0,00
SPINTA DEI SOVRACC. PERM. A TERGO DELLA SPALLA SPINTA DEI SOVRACC. PERM. A TERGO DELLA SPALLA AZIONE CENTRIFUGA AZIONE DELLA FRENATURA	1,00 0,00 0,00 0,00	0,00 0,00 0,00 0,00	56,27 0,00 0,00 0,00	0,00 0,00 0,00 0,00	135,90 0,00 0,00 0,00	0,00 0,00 0,00 0,00	1,00 0,00 0,00 0,00	0,00 0,00 0,00 0,00	56,27 0,00 0,00 0,00	0,00 0,00 0,00 0,00	135,90 0,00 0,00 0,00	0,00 0,00 0,00 0,00	1,00 0,00 0,00 0,00	0,00 0,00 0,00 0,00	56,27 0,00 0,00 0,00	0,00 0,00 0,00 0,00	0,00 0,00 0,00	0,00 0,00 0,00 0,00	1,00 0,00 0,00 0,00	0,00 0,00 0,00 0,00	56,27 0,00 0,00 0,00	0,00 0,00 0,00 0,00	135,90 0,00 0,00 0,00	0,00 0,00 0,00 0,00
FOLLA COMPATTA TRAFFICO - CONDIZIONE 1 TRAFFICO - CONDIZIONE 2 TRAFFICO - CONDIZIONE 3 TRAFFICO - CONDIZIONE 4	0,00 0,00 0,00 0,00	0,00 0,00 0,00 0,00 0,00	0,00 0,00 0,00 0,00 0,00	0,00 0,00 0,00 0,00 0,00	0,00 0,00 0,00 0,00 0,00	0,00 0,00 0,00 0,00 0,00	0,00 0,00 0,00 0,00 0,00	0,00 0,00 0,00 0,00 0,00	0,00 0,00 0,00 0,00 0,00	0,00 0,00 0,00 0,00 0,00	0,00 0,00 0,00 0,00 0,00	0,00 0,00 0,00 0,00 0,00	0,00 0,00 0,00 0,00 0,00	0,00 0,00 0,00 0,00 0,00	0,00 0,00 0,00 0,00 0,00	0,00 0,00 0,00 0,00	0,00 0,00 0,00 0,00 0,00	0,00 0,00 0,00 0,00 0,00	0,00 0,00 0,00 0,00	0,00 0,00 0,00 0,00 0,00	0,00 0,00 0,00 0,00 0,00	0,00 0,00 0,00 0,00	0,00 0,00 0,00 0,00	0,00 0,00 0,00 0,00 0,00
AZIONE SISMICA INERZIALE LONG. DELLA SPALLA AZIONE SISMICA INERZIALE LONG. DELLA SPALLA AZIONE SISMICA INERZIALE TRASV. DELLA SPALLA	0,00 1,00 0.30	0,00 0,00 0,00	0,00 460,19 0.00	0,00 0,00 138.06	0,00 0,00 809,49 0.00	0,00 0,00 242.85	0,00 1,00 0.30	0,00 0,00 0,00	0,00 460,19 0.00	0,00 0,00 138.06	0,00 0,00 809,49 0.00	0,00 0,00 242.85	0,00 1,00 -0.30	0,00 0,00 0,00	0,00 460,19 0.00	0,00 0,00 -138.06	0,00 0,00 809,49 0.00	0,00 0,00 -242.85	0,00 1,00 -0.30	0,00 0,00 0,00	0,00 460,19 0.00	0,00 0,00 -138.06	0,00 0,00 809,49 0.00	0,00 0,00 0,00 -242,85
AZIONE SISMICA INCREDILE PRASY: DELLA SPALLA SOVRASP. DINAM. DEL TERRENO A TERGO DELLA SPALLA AZIONE SISMICA LORGIT. TRASMESSA DALL'IMPALCATO	0,30 1,00 1,00	69,03 0,00 39,73	0,00 912,21 406,88	0,00 0,00 1,58	-100,00 2.202,98 895,14	0,00 0,00 6,27	-0,30 1,00 1,00	-69,03 0,00 39,73	0,00 912,21 406.88	0,00 0,00 1,58	100,00 2.202,98 895,14	0,00 0,00 6,27	0,30 1,00 1,00	69,03 0,00 39,73	0,00 912,21 406,88	0,00 0,00 1,58	-100,00 2.202,98 895,14	0,00 0,00 6,27	-0,30 -0,30 1,00	-69,03 0,00 39,73	0,00 912,21 406.88	0,00 0,00 1,58	100,00 2.202,98 895,14	0,00 0,00 6,27
AZIONE SISMICA TRASV. TRASMESSA DALL'IMPALCATO AZIONE SISMICA VERT. TRASMESSA DALL'IMPALCATO TOTALE	0,30	11,92 0,62 6.928,71	0,47 6,18 3.141,26	122,06 0,03 261,73	1,04 13,60 1.552,06	269,38 0,10 518,60	0,30 -0,30 -	11,92 -0,62 6.789,42	0,47 -6,18 3.128,89	122,06 -0,03 261,67	1,04 -13,60 1.724,85	269,38 -0,10 518,39	-0,30 0,30	-11,92 0,62 6.904,87	-0,47 6,18 3.140,31	-122,06 0,03 -258,52	-1,04 13,60 1.549,98	-269,38 0,10 -505,85	-0,30 -0,30	-11,92 -0,62 6.765,58	-0,47 -6,18 3.127,95	-122,06 -0,03 -258,57	-1,04 -13,60 1.722,77	-269,38 -0,10 -506,06
CARICO	γ.ψ	N _{Sd}	VLONGSd	VTRASV,Sd	MLONGSd	M _{TRASV,Sd}	γ.ψ	N _{Sd}	VLONGSd	IONE SLV 06 V _{TRASV,Sd}	MLONGSd	M _{TRASV,Sd}	γ.ψ	N _{Sd}	COMBINAZI V _{LONG,Sd}	V _{TRASV,Sd}	MLONGSd	M _{TRASV,Sd}	ν.ω	N _{Sd}	COMBINAZI V _{LONGSd}	V _{TRASV,Sd}	MLONGSd	M _{TRASV,Sd}
PESO PROPRIO DELLA SPALLA PESO PROPRIO IMPALCATO PERMANENTI PORTATI IMPALCATO	1,00 1,00 1,00	[kN] 3.130,55 2.674,28 1.002,58	[kN] 0,00 48,79 14,79	0,00 0,00 0,00	[kNm] -4.535,08 107,34 32,54	(kNm) 0,00 0,00 0,00	1,00 1,00 1,00	[kN] 3.130,55 2.674,28 1.002,58	[kN] 0,00 48,79 14.79	[kN] 0,00 0,00 0,00	[kNm] -4.535,08 107,34 32.54	[kNm] 0,00 0,00 0,00	1,00 1,00 1,00	[kN] 3.130,55 2.674,28 1.002,58	[kN] 0,00 48,79 14,79	(kN) 0,00 0,00 0,00	[kNm] -4.535,08 107,34 32.54	(kNm) 0,00 0,00 0,00	1,00 1,00 1,00	[kN] 3.130,55 2.674,28 1.002,58	[kN] 0,00 48,79 14,79	[kN] 0,00 0,00 0,00	[kNm] -4.535,08 107,34 32.54	(kNm) 0,00 0,00 0,00
PENNANCHI THATAI MIN PACIFICATION SPALLA SPALLA SPALLA SPALLA SPALTA DEI SOVRACC. PERM. A TERGO DELLA SPALLA SPINTA DEI SOVRACC. PERM. A TERGO DELLA SPALLA SPINTA DEI SOVRACC. PERM. A TERGO DELLA SPALLA AZIONE CENTRIFUGA	1,00 1,00 1,00 0,00	0,00 0,00 0,00 0,00	1,235,47 56,27 0,00 0,00	0,00 0,00 0,00 0,00	1.989,10 135,90 0,00 0,00	0,00 0,00 0,00 0,00	1,00 1,00 1,00 0,00 0,00	0,00 0,00 0,00 0,00	1.235,47 56,27 0,00 0,00	0,00 0,00 0,00 0,00	1.989,10 135,90 0,00 0,00	0,00 0,00 0,00 0,00	1,00 1,00 1,00 0,00	0,00 0,00 0,00 0,00	1,235,47 56,27 0,00 0,00	0,00 0,00 0,00 0,00	1.989,10 135,90 0,00 0,00	0,00 0,00 0,00 0,00	1,00 1,00 1,00 0,00	0,00 0,00 0,00 0,00	1.235,47 56,27 0,00 0,00	0,00 0,00 0,00 0,00	1.989,10 135,90 0,00 0,00	0,00 0,00 0,00 0,00
AZIONE DELLA FRENATURA FOLLA COMPATTA TRAFFICO - CONDIZIONE 1 TRAFFICO - CONDIZIONE 2	0,00 0,00 0,00 0,00	0,00 0,00 0,00 0,00	0,00 0,00 0,00 0,00	0,00 0,00 0,00 0,00	0,00 0,00 0,00 0,00	0,00 0,00 0,00 0,00	0,00 0,00 0,00 0,00	0,00 0,00 0,00 0,00	0,00 0,00 0,00 0,00	0,00 0,00 0,00 0,00	0,00 0,00 0,00 0,00	0,00 0,00 0,00 0,00	0,00 0,00 0,00 0,00	0,00 0,00 0,00 0,00	0,00 0,00 0,00 0,00	0,00 0,00 0,00 0,00	0,00 0,00 0,00 0,00	0,00 0,00 0,00 0,00	0,00 0,00 0,00 0,00	0,00 0,00 0,00 0,00	0,00 0,00 0,00 0,00	0,00 0,00 0,00 0,00	0,00 0,00 0,00 0,00	0,00 0,00 0,00 0,00
TRAFFICO - CONDIZIONE 2 TRAFFICO - CONDIZIONE 3 TRAFFICO - CONDIZIONE 4 AZIONE TRASVERSALE DEL VENTO AZIONE SISMICA INERZIALE LONG. DELLA SPALLA	0,00 0,00 0,00 0,00 -1,00	0,00 0,00 0,00 0,00	0,00 0,00 0,00 0,00 -460,19	0,00 0,00 0,00 0,00	0,00 0,00 0,00 0,00 -809,49	0,00 0,00 0,00 0,00	0,00 0,00 0,00 0,00 -1,00	0,00 0,00 0,00 0,00	0,00 0,00 0,00 -460,19	0,00 0,00 0,00 0,00	0,00 0,00 0,00 0,00 -809,49	0,00 0,00 0,00 0,00	0,00 0,00 0,00 0,00 -1,00	0,00 0,00 0,00 0,00	0,00 0,00 0,00 0,00 -460,19	0,00 0,00 0,00 0,00	0,00 0,00 0,00 0,00 -809,49	0,00 0,00 0,00 0,00	0,00 0,00 0,00 0,00 -1,00	0,00 0,00 0,00 0,00	0,00 0,00 0,00 0,00 -460,19	0,00 0,00 0,00 0,00	0,00 0,00 0,00 0,00 -809,49	0,00 0,00 0,00 0,00
AZIONE SISMICA INERZIALE TRASV. DELLA SPALLA AZIONE SISMICA INERZIALE VERT. DELLA SPALLA SOVRASP. DINAM. DEL TERRENO A TERGO DELLA SPALLA	0,30 0,30 0,00	0,00 69,03 0,00	0,00 0,00 0,00	0,00 0,00	0,00 -100,00 0,00	242,85 0,00 0,00	0,30 -0,30 0,00	0,00 -69,03 0,00	0,00 0,00 0,00	138,06 0,00 0,00	0,00 100,00 0,00	242,85 0,00 0,00	-0,30 0,30 0,00	0,00 69,03 0,00	0,00 0,00 0,00	-138,06 0,00 0,00	0,00 -100,00 0,00	-242,85 0,00 0,00	-0,30 -0,30 0,00	0,00 -69,03 0,00	0,00 0,00 0,00	-138,06 0,00 0,00	0,00 100,00 0,00	-242,85 0,00 0,00
AZIONE SISMICA LONGIT. TRASMESSA DALL'IMPALCATO AZIONE SISMICA TRASV. TRASMESSA DALL'IMPALCATO AZIONE SISMICA VERT. TRASMESSA DALL'IMPALCATO TOTALE	-1,00 0,30 0,30	-39,73 11,92 0,62 6.849,24	-406,88 0,47 6,18 494,91	-1,58 122,06 0,03 258,57	-895,14 1,04 13,60 -4.060,17	-6,27 269,38 0,10 506,06	-1,00 0,30 -0,30	-39,73 11,92 -0,62 6,709,96	-406,88 0,47 -6,18 482,54	-1,58 122,06 -0,03 258,52	-895,14 1,04 -13,60 -3.887,38	-6,27 269,38 -0,10 505,86	-1,00 -0,30 0,30	-39,73 -11,92 0,62 6.825,40	-406,88 -0,47 6,18 493,96	-1,58 -122,06 0,03 -261,67	-895,14 -1,04 13,60 -4.062,25	-6,27 -269,38 0,10 -518,39	-1,00 -0,30 -0,30	-39,73 -11,92 -0,62 6.686,12	-406,88 -0,47 -6,18 481,60	-1,58 -122,06 -0,03 -261,73	-895,14 -1,04 -13,60 -3.889,46	-6,27 -269,38 -0,10 -518,60
CARICO	γ.Ψ	N _{Sd}	VLONGSd	V _{TRASV,Sd}	MLONGS	M _{TRASV,Sd}	γ.ψ	N _{Sd}	V _{LONGSd}	IONE SLV 10	MLONGSd	M _{TRASV,Sd}	γ·ψ	N _{Sd}	V _{LONG,8d}	V _{TRASV,Sd}	MLONGSd	M _{TRASV,Sd}	γ·ψ	N _{Sd}	V _{LONGSd}	VTRASV,Sd	MLONGSd	M _{TRASV,Sd}
PESO PROPRIO DELLA SPALLA PESO PROPRIO IMPALCATO PERMANENTI PORTATI IMPALCATO	1,00 1,00 1,00	[kN] 3.130,55 2.674,28 1.002,58	[kN] 0,00 48,79 14,79	[kN] 0,00 0,00 0,00	[kNm] -4.535,08 107,34 32,54	(kNm) 0,00 0,00 0,00	1,00 1,00 1,00	[kN] 3.130,55 2.674,28 1.002,58	[kN] 0,00 48,79 14,79	[kN] 0,00 0,00 0,00	[kNm] -4.535,08 107,34 32,54	(kNm) 0,00 0,00 0,00	1,00 1,00 1,00	[kN] 3.130,55 2.674,28 1.002,58	[kN] 0,00 48,79 14,79	(kN) 0,00 0,00 0,00	[kNm] -4.535,08 107,34 32,54	(kNm) 0,00 0,00 0,00	1,00 1,00 1,00	[kN] 3.130,55 2.674,28 1.002,58	[kN] 0,00 48,79 14,79	[kN] 0,00 0,00 0,00	[kNm] -4.535,08 107,34 32,54	(kNm) 0,00 0,00 0,00
SPINTA DEL TERRENO A TERGO DELLA SPALLA SPINTA DEI SOVRACC. PERM. A TERGO DELLA SPALLA SPINTA DEI SOVRACC. PERM. A TERGO DELLA SPALLA AZIONE CENTRIFUGA AZIONE DELLA FRENATURA	1,00 1,00 0,00 0,00 0,00	0,00 0,00 0,00 0,00 0,00	1,235,47 56,27 0,00 0,00 0,00	0,00 0,00 0,00 0,00 0,00	1.989,10 135,90 0,00 0,00 0,00	0,00 0,00 0,00 0,00 0,00	1,00 1,00 0,00 0,00 0,00	0,00 0,00 0,00 0,00 0,00	1.235,47 56,27 0,00 0,00 0,00	0,00 0,00 0,00 0,00 0,00	1.989,10 135,90 0,00 0,00 0,00	0,00 0,00 0,00 0,00 0,00	1,00 1,00 0,00 0,00 0,00	0,00 0,00 0,00 0,00	1.235,47 56,27 0,00 0,00 0.00	0,00 0,00 0,00 0,00	1.989,10 135,90 0,00 0,00 0,00	0,00 0,00 0,00 0,00 0,00	1,00 1,00 0,00 0,00 0,00	0,00 0,00 0,00 0,00 0,00	1.235,47 56,27 0,00 0,00 0,00	0,00 0,00 0,00 0,00 0,00	1.989,10 135,90 0,00 0,00 0,00	0,00 0,00 0,00 0,00 0,00
FOLLA COMPATTA TRAFFICO - CONDIZIONE 1 TRAFFICO - CONDIZIONE 2 TRAFFICO - CONDIZIONE 3	0,00 0,00 0,00 0,00	0,00 0,00 0,00 0,00	0,00 0,00 0,00 0,00	0,00 0,00 0,00 0,00	0,00 0,00 0,00 0,00	0,00 0,00 0,00 0,00	0,00 0,00 0,00 0,00	0,00 0,00 0,00 0,00	0,00 0,00 0,00 0,00	0,00 0,00 0,00 0,00	0,00 0,00 0,00 0,00	0,00 0,00 0,00 0,00	0,00 0,00 0,00 0,00	0,00 0,00 0,00 0,00	0,00 0,00 0,00 0,00	0,00 0,00 0,00 0,00	0,00 0,00 0,00 0,00	0,00 0,00 0,00 0,00	0,00 0,00 0,00 0,00	0,00 0,00 0,00 0,00	0,00 0,00 0,00 0,00	0,00 0,00 0,00 0,00	0,00 0,00 0,00 0,00	0,00 0,00 0,00 0,00
TRAFFICO - CONDIZIONE 4 AZIONE TRASVERSALE DEL VENTO AZIONE SISMICA INERZIALE LONG. DELLA SPALLA AZIONE SISMICA INERZIALE TRASV. DELLA SPALLA	0,00 0,00 0,30 1,00	0,00 0,00 0,00 0,00	0,00 0,00 138,06 0,00	0,00 0,00 0,00 460,19	0,00 0,00 242,85 0,00	0,00 0,00 0,00 809,49	0,00 0,00 0,30 1,00	0,00 0,00 0,00 0,00	0,00 0,00 138,06 0,00	0,00 0,00 0,00 460,19	0,00 0,00 242,85 0,00	0,00 0,00 0,00 809,49	0,00 0,00 -0,30 1,00	0,00 0,00 0,00 0,00	0,00 0,00 -138,06 0,00	0,00 0,00 0,00 460,19	0,00 0,00 -242,85 0,00	0,00 0,00 0,00 809,49	0,00 0,00 -0,30 1,00	0,00 0,00 0,00 0,00	0,00 0,00 -138,06 0,00	0,00 0,00 0,00 460,19	0,00 0,00 -242,85 0,00	0,00 0,00 0,00 809,49
AZIONE SISMICA INERZIALE VERT. DELLA SPALLA SOVRASP. DINAM. DEL TERRENO A TERGO DELLA SPALLA AZIONE SISMICA LONGIT. TRASMESSA DALL'IMPALCATO AZIONE SISMICA TRASV. TRASMESSA DALL'IMPALCATO	0,30 0,30 0,30 1,00	69,03 0,00 11,92 39,73	0,00 273,66 122,06 1,58	0,00 0,00 0,47 406,88	-100,00 660,89 268,54 3,47	0,00 0,00 1,88 897,94	-0,30 0,30 0,30 1,00	-69,03 0,00 11,92 39,73	0,00 273,66 122,06 1,58	0,00 0,00 0,47 406,88	100,00 660,89 268,54 3,47	0,00 0,00 1,88 897,94	0,30 0,00 -0,30 1,00	69,03 0,00 -11,92 39,73	0,00 0,00 -122,06 1,58	0,00 0,00 -0,47 406,88	-100,00 0,00 -268,54 3,47	0,00 0,00 -1,88 897,94	-0,30 0,00 -0,30 1,00	-69,03 0,00 -11,92 39,73	0,00 0,00 -122,06 1,58	0,00 0,00 -0,47 406,88	100,00 0,00 -268,54 3,47	0,00 0,00 -1,88 897,94
AZIONE SISMICA VERT. TRASMESSA DALL'IMPALCATO TOTALE	0,30	0,62 6.928,71	6,18 1.896,87	0,03 867,57	13,60 -1.180,84	0,10 1.709,41	-0,30	-0,62 6.789,42	-6,18 1.884,50	-0,03 867,52 IONE SLV 14	-13,60 -1.008,04	-0,10 1.709,20	0,30	0,62 6.904,87	6,18 1.102,96 COMBINAZI	0,03 866,63	13,60 -2.864,51	0,10 1.705,65	-0,30	-0,62 6.765,58	-6,18 1.090,60 COMBINAZI	-0,03 866,57	-13,60 -2.691,71	-0,10 1.705,44
CARICO PESO PROPRIO DELLA SPALLA PESO PROPRIO IMPALCATO	Υ·Ψ 1,00 1,00	N _{8d} [kN] 3.130,55 2.674,28	VLONQ,8d [kN] 0,00 48,79	V _{TRASV,Sd} [kN] 0,00 0,00	MLONQ,8d [kNm] -4.535,08 107,34	MTRASV,8d [kNm] 0,00 0,00	γ·Ψ 1,00 1,00	N _{8d} [kN] 3.130,55 2.674,28	VLONG,8d [kN] 0,00 48,79	V _{TRASV,Sd} [kN] 0,00 0,00	MLONGS4 [kNm] -4.535,08 107,34	MTRASV,8d [kNm] 0,00 0,00	γ·Ψ 1,00 1,00	N _{8d} [kN] 3.130,55 2.674,28	VLONQSd [kN] 0,00 48,79	V _{TRASV,Sd} [kN] 0,00 0,00	MLONG,84 [kNm] -4.535,08 107,34	MTRASV,8d [kNm] 0,00 0,00	γ·Ψ 1,00 1,00	N _{8d} [kN] 3.130,55 2.674,28	VLONGSd [kN] 0,00 48,79	V _{TRASV,Sd} [kN] 0,00 0,00	MLONG,84 [kNm] -4.535,08 107,34	MTRASV,8d [kNm] 0,00 0,00
PERMANENTI PORTATI IMPALCATO SPINTA DEL TERRENO A TERGO DELLA SPALLA SPINTA DEI SOVRACC. PERM. A TERGO DELLA SPALLA SPINTA DEI SOVRACC. PERM. A TERGO DELLA SPALLA AZIONE CENTRIFUGA	1,00 1,00 1,00 0,00 0,00	1.002,58 0,00 0,00 0,00 0,00	14,79 1,235,47 56,27 0,00 0,00	0,00 0,00 0,00 0,00 0,00	32,54 1.989,10 135,90 0,00 0,00	0,00 0,00 0,00 0,00 0,00	1,00 1,00 1,00 0,00 0,00	1.002,58 0,00 0,00 0,00 0,00	14,79 1.235,47 56,27 0,00 0,00	0,00 0,00 0,00 0,00 0,00	32,54 1.989,10 135,90 0,00 0,00	0,00 0,00 0,00 0,00 0,00	1,00 1,00 1,00 0,00 0,00	0,00 0,00 0,00 0,00 0,00	14,79 1.235,47 56,27 0,00 0,00	0,00 0,00 0,00 0,00 0,00	32,54 1.989,10 135,90 0,00 0,00	0,00 0,00 0,00 0,00 0,00	1,00 1,00 1,00 0,00 0,00	1.002,58 0,00 0,00 0,00 0,00	14,79 1.235,47 56,27 0,00 0,00	0,00 0,00 0,00 0,00 0,00	32,54 1.989,10 135,90 0,00 0,00	0,00 0,00 0,00 0,00 0,00
AZIONE DELLA FRENATURA FOLLA COMPATTA TRAFFICO - CONDIZIONE 1 TRAFFICO - CONDIZIONE 2 TRAFFICO - CONDIZIONE 3	0,00 0,00 0,00 0,00 0,00	0,00 0,00 0,00 0,00 0,00	0,00 0,00 0,00 0,00 0,00	0,00 0,00 0,00 0,00 0,00	0,00 0,00 0,00 0,00 0,00	0,00 0,00 0,00 0,00 0,00	0,00 0,00 0,00 0,00 0,00	0,00 0,00 0,00 0,00 0,00	0,00 0,00 0,00 0,00 0,00	0,00 0,00 0,00 0,00 0,00	0,00 0,00 0,00 0,00 0,00	0,00 0,00 0,00 0,00 0,00	0,00 0,00 0,00 0,00 0,00	0,00 0,00 0,00 0,00 0,00	0,00 0,00 0,00 0,00 0,00	0,00 0,00 0,00 0,00 0,00	0,00 0,00 0,00 0,00 0,00	0,00 0,00 0,00 0,00 0,00	0,00 0,00 0,00 0,00	0,00 0,00 0,00 0,00 0,00	0,00 0,00 0,00 0,00 0,00	0,00 0,00 0,00 0,00 0,00	0,00 0,00 0,00 0,00	0,00 0,00 0,00 0,00 0,00
TRAFFICO - CONDIZIONE 4 AZIONE TRASVERSALE DEL VENTO AZIONE SISMICA INERZIALE LONG. DELLA SPALLA AZIONE SISMICA INERZIALE TRASV. DELLA SPALLA	0,00 0,00 0,30 -1,00	0,00 0,00 0,00 0,00	0,00 0,00 138,06 0,00	0,00 0,00 0,00 -460,19	0,00 0,00 242,85 0,00	0,00 0,00 0,00 -809,49	0,00 0,00 0,30 -1,00	0,00 0,00 0,00 0,00	0,00 0,00 138,06 0,00	0,00 0,00 0,00 -460,19	0,00 0,00 242,85 0,00	0,00 0,00 0,00 -809,49	0,00 0,00 -0,30 -1,00	0,00 0,00 0,00 0,00	0,00 0,00 -138,06 0,00	0,00 0,00 0,00 -460,19	0,00 0,00 -242,85 0,00	0,00 0,00 0,00 -809,49	0,00 0,00 -0,30 -1,00	0,00 0,00 0,00 0,00	0,00 0,00 -138,06 0,00	0,00 0,00 0,00 -460,19	0,00 0,00 -242,85 0,00	0,00 0,00 0,00 -809,49
AZIONE SISMICA INERZIALE VERT. DELLA SPALLA SOVIRASP. DINAM. DEL TERRENO A TERGO DELLA SPALLA AZIONE SISMICA LONGIT. TRASMESSA DALL'IMPALCATO AZIONE SISMICA TRASV. TRASMESSA DALL'IMPALCATO AZIONE SISMICA VERT. TRASMESSA DALL'IMPALCATO	0,30 0,30 0,30 -1,00 0,30	69,03 0,00 11,92 -39,73 0,62	0,00 273,66 122,06 -1,58 6,18	0,00 0,00 0,47 -406,88 0,03	-100,00 660,89 268,54 -3,47 13,60	0,00 0,00 1,88 -897,94 0,10	-0,30 0,30 0,30 -1,00 -0,30	-69,03 0,00 11,92 -39,73 -0,62	0,00 273,66 122,06 -1,58 -6,18	0,00 0,00 0,47 -406,88 -0,03	100,00 660,89 268,54 -3,47 -13,60	0,00 0,00 1,88 -897,94 -0,10	0,30 0,00 -0,30 -1,00 0,30	69,03 0,00 -11,92 -39,73 0,62	0,00 0,00 -122,06 -1,58 6,18	0,00 0,00 -0,47 -406,88 0,03	-100,00 0,00 -268,54 -3,47 13,60	0,00 0,00 -1,88 -897,94 0,10	-0,30 0,00 -0,30 -1,00 -0,30	-69,03 0,00 -11,92 -39,73 -0,62	0,00 0,00 -122,06 -1,58 -6,18	0,00 0,00 -0,47 -406,88 -0,03	100,00 0,00 -268,54 -3,47 -13,60	0,00 0,00 -1,88 -897,94 -0,10
TOTALE	-	6.849,24 N _{Sd}		-866,57	-1.187,77 MLONQ.8d	-1.705,44 M _{TRASV.8d}		6.709,96 N _{Sd}	1.881,35 COMBINAZ VLONGSd	-866,63 IONE SLV 18 V _{TRASV.8d}		-1.705,65 M _{TRASV.8d}	-	6.825,40 N _{Sd}	1.099,81 COMBINAZI VLONGSd	-867,52 ONE SLV 19 V _{TRASV,Sd}	-2.871,44 MLONGSd	-1.709,20 M _{TRASV.8d}	-	6.686,12 N _{Sd}	1.087,44 COMBINAZI VLONGSd	-867,57 IONE SLV 20 V _{TRASV,Sd}	-2.698,65 MLONGSd	-1.709,41 M _{TRASV,8d}
PESO PROPRIO DELLA SPALLA PESO PROPRIO IMPALCATO	γ·Ψ 1,00 1,00	[kN] 3.130,55 2.674,28	[kN] 0,00 48,79	[kN] 0,00 0,00	[kNm] -4.535,08 107,34	[kNm] 0,00 0,00	γ·Ψ 1,00 1,00	[kN] 3.130,55 2.674,28	[kN] 0,00 48,79	[kN] 0,00 0,00	[kNm] -4.535,08 107,34	[kNm] 0,00 0,00	γ·Ψ 1,00 1,00	[kN] 3.130,55 2.674,28	[kN] 0,00 48,79	[kN] 0,00 0,00	[kNm] -4.535,08 107,34	[kNm] 0,00 0,00	γ·Ψ 1,00 1,00	[kN] 3.130,55 2.674,28	[kN] 0,00 48,79	[kN] 0,00 0,00	[kNm] -4.535,08 107,34	(kNm) 0,00 0,00
PERMANENTI PORTATI IMPALCATO SPINTA DEL TERRENO A TERGO DELLA SPALLA SPINTA DEI SOVRACC. PERM. A TERGO DELLA SPALLA SPINTA DEI SOVRACC. PERM. A TERGO DELLA SPALLA	1,00 1,00 1,00	1.002,58 0,00 0,00	14,79 1.235,47 56,27	0,00 0,00 0,00	32,54 1.989,10 135,90	0,00 0,00 0,00	1,00 1,00 1,00	1.002,58 0,00 0,00	14,79 1.235,47 56,27	0,00 0,00 0,00	32,54 1.989,10 135,90	0,00 0,00 0,00	1,00 1,00 1,00	1.002,58 0,00 0,00	14,79 1.235,47 56,27	0,00 0,00 0,00	32,54 1.989,10 135,90	0,00 0,00 0,00	1,00 1,00 1,00	1.002,58 0,00 0,00	14,79 1.235,47 56,27	0,00 0,00 0,00	32,54 1.989,10 135,90	0,00 0,00 0,00
SPINTA DEI SOVRACC. PERM. A TERGO DELLA SPALLA AZIONE CENTRIFIGA AZIONE DELLA FRENATURA FOLLA COMPATTA	0,00 0,00 0,00 0,00	0,00 0,00 0,00 0,00	0,00 0,00 0,00 0,00	0,00 0,00 0,00	0,00 0,00 0,00 0,00	0,00 0,00 0,00 0,00	0,00 0,00 0,00 0,00	0,00 0,00 0,00 0,00	0,00 0,00 0,00 0,00	0,00 0,00 0,00 0,00	0,00 0,00 0,00 0,00	0,00 0,00 0,00 0,00	0,00 0,00 0,00	0,00 0,00 0,00 0,00	0,00 0,00 0,00	0,00 0,00 0,00 0,00	0,00 0,00 0,00 0,00	0,00 0,00 0,00 0,00	0,00 0,00 0,00	0,00 0,00 0,00 0,00	0,00 0,00 0,00 0,00	0,00 0,00 0,00	0,00 0,00 0,00 0,00	0,00 0,00 0,00
TRAFFICO - CONDIZIONE 1 TRAFFICO - CONDIZIONE 2 TRAFFICO - CONDIZIONE 3	0,00 0,00 0,00	0,00 0,00 0,00	0,00 0,00 0,00	0,00 0,00 0,00	0,00 0,00 0,00	0,00 0,00 0,00	0,00 0,00 0,00	0,00 0,00 0,00	0,00 0,00 0,00	0,00 0,00 0,00	0,00 0,00 0,00	0,00 0,00 0,00	0,00 0,00 0,00	0,00 0,00 0,00	0,00 0,00 0,00	0,00 0,00 0,00	0,00 0,00 0,00	0,00 0,00 0,00	0,00 0,00 0,00	0,00 0,00 0,00	0,00 0,00 0,00	0,00 0,00 0,00	0,00 0,00 0,00	0,00 0,00 0,00
TRAFFICO - CONDIZIONE 4 AZIONE TRASVERSALE DEL VENTO AZIONE SISMICA INFRZIALE LONG. DELLA SPALLA AZIONE SISMICA INFRZIALE TRASV. DELLA SPALLA	0,00 0,00 0,30 0,30	0,00 0,00 0,00 0,00	0,00 0,00 138,06 0,00	0,00 0,00 0,00 138,06	0,00 0,00 242,85 0,00	0,00 0,00 0,00 242,85	0,00 0,00 0,30 -0,30	0,00 0,00 0,00 0,00	0,00 0,00 138,06 0,00	0,00 0,00 0,00 -138,06	0,00 0,00 242,85 0,00	0,00 0,00 0,00 -242,85	0,00 0,00 -0,30 0,30	0,00 0,00 0,00 0,00	0,00 0,00 -138,06 0,00	0,00 0,00 0,00 138,06	0,00 0,00 -242,85 0,00	0,00 0,00 0,00 242,85	0,00 0,00 -0,30 -0,30	0,00 0,00 0,00 0,00	0,00 0,00 -138,06 0,00	0,00 0,00 0,00 -138,06	0,00 0,00 -242,85 0,00	0,00 0,00 0,00 -242,85
AZIONE SISMICA INERZIALE VERT. DELLA SPALLA SOWRASP, DINAM. DEL TERRENO A TERGO DELLA SPALLA AZIONE SISMICA LONGIT. TRASMESSA DALL'IMPALCATO AZIONE SISMICA TRASV. TRASMESSA DALL'IMPALCATO AZIONE SISMICA VERT. TRASMESSA DALL'IMPALCATO AZIONE SISMICA VERT. TRASMESSA DALL'IMPALCATO	1,00 0,30 0,30 0,30 1,00	230,10 0,00 11,92 11,92 2,05	0,00 273,66 122,06 0,47 20,61	0,00 0,00 0,47 122,06 0,10	-333,33 660,89 268,54 1,04 45,34	0,00 0,00 1,88 269,38 0,35	1,00 0,30 0,30 -0,30 1,00	230,10 0,00 11,92 -11,92 2,05	0,00 273,66 122,06 -0,47 20,61	0,00 0,00 0,47 -122,06 0,10	-333,33 660,89 268,54 -1,04 45,34	0,00 0,00 1,88 -269,38 0,35	1,00 0,00 -0,30 0,30	230,10 0,00 -11,92 11,92 2,05	0,00 0,00 -122,06 0,47 20,61	0,00 0,00 -0,47 122,06 0,10	-333,33 0,00 -268,54 1,04 45,34	0,00 0,00 -1,88 269,38 0,35	1,00 0,00 -0,30 -0,30	230,10 0,00 -11,92 -11,92 2,05	0,00 0,00 -122,06 -0,47 20,61	0,00 0,00 -0,47 -122,06 0,10	-333,33 0,00 -268,54 -1,04 45,34	0,00 0,00 -1,88 -269,38 0,35
AZIONE SISMICA VERT. TRASMESSA DALL'IMPALCATO TOTALE	1,00	7.063,40	1.910,19		-1.384,86		1,00	2,05 7.039,56	1.909,24		-1.386,94		1,00	7.039,56	20,61 1.116,29 COMBINAZI	259,75	45,34 -3.068,53	0,35 510,69	1,00	7.015,72		-260,50	-3.070,61	
CARICO PESO PROPRIO DELLA SPALLA	γ·Ψ 1,00	N _{Sd} [kN] 3.130,55	V _{LONG,Sd} [kN] 0,00	V _{TRASV,Sd} [kN] 0,00	MLONG,8d [kNm] -4.535,08	MTRASV,Sd [kNm] 0,00	γ·Ψ 1,00	N _{8d} [kN] 3.130,55	V _{LONG,8d} [kN] 0,00	V _{TRASV,Sd} [kN] 0,00	MLONGS4 [kNm] -4.535,08	MTRASV,Sd [kNm] 0,00	γ·Ψ 1,00	N _{8d} [kN] 3.130,55	VLONGSd [kN] 0,00	V _{TRASV,Sd} [kN] 0,00	MLONGS4 [kNm] -4.535,08	MTRASV,Sd [kNm] 0,00	γ·Ψ 1,00	N _{Sd} [kN] 3.130,55	VLONQSd [kN] 0,00	V _{TRASV,Sd} [kN] 0,00	MLONQS4 [kNm] -4.535,08	MTRASV,Sd [kNm] 0,00
PESO PROPRIO IMPALCATO PERMANENTI PORTATI IMPALCATO SPINTA DEL TERRENO A TERGO DELLA SPALLA	1,00 1,00 1,00	2.674,28 1.002,58 0,00	48,79 14,79 1.235,47	0,00 0,00 0,00	107,34 32,54 1.989,10	0,00 0,00 0,00	1,00 1,00 1,00	2.674,28 1.002,58 0,00	48,79 14,79 1,235,47	0,00 0,00 0,00	107,34 32,54 1.989,10	0,00 0,00 0,00	1,00 1,00 1,00	2.674,28 1.002,58 0,00	48,79 14,79 1.235,47	0,00 0,00 0,00	107,34 32,54 1.989,10	0,00 0,00 0,00	1,00 1,00 1,00	2.674,28 1.002,58 0,00	48,79 14,79 1.235,47	0,00 0,00 0,00	107,34 32,54 1.989,10	0,00 0,00 0,00
SPINTA DEI SOVRACC. PERM. A TERGO DELLA SPALLA SPINTA DEI SOVRACC. PERM. A TERGO DELLA SPALLA AZIONE CENTRIFUGA AZIONE DELLA FRENATURA FOLLA COMPATTA	1,00 0,00 0,00 0,00 0,00	0,00 0,00 0,00 0,00 0,00	56,27 0,00 0,00 0,00 0,00	0,00 0,00 0,00 0,00 0,00	135,90 0,00 0,00 0,00 0,00	0,00 0,00 0,00 0,00 0,00	1,00 0,00 0,00 0,00 0,00	0,00 0,00 0,00 0,00 0,00	56,27 0,00 0,00 0,00 0,00	0,00 0,00 0,00 0,00 0,00	135,90 0,00 0,00 0,00 0,00	0,00 0,00 0,00 0,00 0,00	1,00 0,00 0,00 0,00 0,00	0,00 0,00 0,00 0,00 0,00	56,27 0,00 0,00 0,00 0,00	0,00 0,00 0,00 0,00 0,00	135,90 0,00 0,00 0,00 0,00	0,00 0,00 0,00 0,00 0,00	1,00 0,00 0,00 0,00 0,00	0,00 0,00 0,00 0,00 0,00	56,27 0,00 0,00 0,00 0,00	0,00 0,00 0,00 0,00 0,00	135,90 0,00 0,00 0,00 0,00	0,00 0,00 0,00 0,00 0,00
TRAFFICO - CONDIZIONE 1 TRAFFICO - CONDIZIONE 2 TRAFFICO - CONDIZIONE 3	0,00 0,00 0,00	0,00 0,00 0,00	0,00 0,00 0,00	0,00 0,00 0,00	0,00 0,00 0,00	0,00 0,00 0,00	0,00 0,00 0,00	0,00 0,00 0,00	0,00 0,00 0,00	0,00 0,00 0,00	0,00 0,00 0,00	0,00 0,00 0,00	0,00 0,00 0,00	0,00 0,00 0,00	0,00 0,00 0,00	0,00 0,00 0,00	0,00 0,00 0,00	0,00 0,00 0,00	0,00 0,00 0,00	0,00 0,00 0,00	0,00 0,00 0,00	0,00 0,00 0,00	0,00 0,00 0,00	0,00 0,00 0,00
TRAFFICO - CONDIZIONE 4 AZIONE TRASVERSALE DEL VENTO AZIONE SISMICA INERZIALE LONG. DELLA SPALLA AZIONE SISMICA INERZIALE TRASV. DELLA SPALLA	0,00 0,00 0,30 0,30	0,00 0,00 0,00 0,00	0,00 0,00 138,06 0,00	0,00 0,00 0,00 138,06	0,00 0,00 242,85 0,00	0,00 0,00 0,00 242,85	0,00 0,00 0,30 -0,30	0,00 0,00 0,00 0,00	0,00 0,00 138,06 0,00	0,00 0,00 0,00 -138,06	0,00 0,00 242,85 0,00	0,00 0,00 0,00 -242,85	0,00 0,00 -0,30 0,30	0,00 0,00 0,00 0,00	0,00 0,00 -138,06 0,00	0,00 0,00 0,00 138,06	0,00 0,00 -242,85 0,00	0,00 0,00 0,00 242,85	0,00 0,00 -0,30 -0,30	0,00 0,00 0,00 0,00	0,00 0,00 -138,06 0,00	0,00 0,00 0,00 -138,06	0,00 0,00 -242,85 0,00	0,00 0,00 0,00 -242,85
AZIONE SISMICA INERZIALE VERT. DELLA SPALLA						0.00	-1.00	-230.10								0.00	333.33	0.00	-1.00	-230.10		0.00		0,00
SOVRASP, DINAM, DEL TERRENO A TERGO DELLA SPALLA AZIONE SISMICA LONGIT. TRASMESSA DALL'IMPALCATO AZIONE SISMICA TRASV. TRASMESSA DALL'IMPALCATO AZIONE SISMICA VERT. TRASMESSA DALL'IMPALCATO	-1,00 0,30 0,30 0,30 -1,00	-230,10 0,00 11,92 11,92 -2,05	0,00 273,66 122,06 0,47 -20,61	0,00 0,00 0,47 122,06 -0.10	333,33 660,89 268,54 1,04 -45,34	0,00 1,88 269,38 -0,35	0,30 0,30 -0,30 -1,00	0,00 11,92 -11,92 -2.05	0,00 273,66 122,06 -0,47 -20,61	0,00 0,00 0,47 -122,06 -0.10	333,33 660,89 268,54 -1,04 -45,34	0,00 0,00 1,88 -269,38 -0.35	-1,00 0,00 -0,30 0,30 -1,00	-230,10 0,00 -11,92 11,92 -2,05	0,00 0,00 -122,06 0,47 -20,61	0,00 0,00 -0,47 122,06 -0.10	0,00 -268,54 1,04 -45,34	0,00 -1,88 269,38 -0,35	-1,00 -0,30 -0,30 -1,00	-230,10 0,00 -11,92 -11,92 -2,05	0,00 0,00 -122,06 -0,47 -20,61	0,00 0,00 -0,47 -122,06 -0.10	333,33 0,00 -268,54 -1,04 -45,34	0,00 -1,88 -269,38 -0,35















Nella tabella successiva è riportato il riepilogo dei valori di calcolo delle azioni sollecitanti per le diverse combinazioni di carico considerate:

001101114710115	N _{Sd}	$V_{LONG,Sd}$	V _{TRASV,Sd}	M _{LONG,Sd}	M _{TRASV,Sd}
COMBINAZIONE	[kN]	[kN]	[kN]	[kNm]	[kNm]
SLE - QUASI PERMANENTE	6.807,41	1.355,32	0.00	-2.270,19	0.00
SLE - FREQUENTE 01	8.381,45	1.946,35	-0.02	-846,20	2.803,61
SLE - FREQUENTE 02	8.558,29	1.943,30	-0,01	-852,91	525,25
SLE - FREQUENTE 03	7.826,82	1.946,35	0,02	-846,20	1.148,03
SLE - FREQUENTE 04	7.705,43	1.943,30	0,01	-852,91	14,10
SLE - FREQUENTE 05	7.016,89	1.358,13	-31,99	-2.264,01	47,63
SLE - CARATTERISTICA 01	8.906,13	2.143,35	-95,99	-371,54	3.881,05
SLE - CARATTERISTICA 02	9.141,91	2.139,29	-95,98	-380,48	843,23
SLE - CARATTERISTICA 03	8.166,63	2.143,35	-95.94	-371,54	1.673,61
SLE - CARATTERISTICA 04	8.004,77	2.139,29	-95,96	-380,48	161,70
SLE - CARATTERISTICA 05	8.171,97	1.943,54	-95,99	-852,39	2.946,51
SLE - CARATTERISTICA 06	8.348,81	1.940,49	-95,98	-859,09	668,15
SLE - CARATTERISTICA 07	7.617,35	1.943,54	-95,95	-852,39	1.290,93
SLE - CARATTERISTICA 08	7.495,95	1.940,49	-95,96	-859,09	157,00
SLE - CARATTERISTICA 09	8.171,97	1.707,29	-95,99	-1.372,14	2.946,51
SLE - CARATTERISTICA 10	8.348,81	1.704,24	-95,98	-1.378,84	668,15
SLE - CARATTERISTICA 11	7.617,35	1.707,29	-95,95	-1.372,14	1.290,93
SLE - CARATTERISTICA 12	7.495,95	1.704,24	-95,96	-1.378,84	157,00
SLE - CARATTERISTICA 13	8.451,27	1.947,28	-159,97	-844,14	3.041,78
SLE - CARATTERISTICA 14	8.628,11	1.944,23	-159,96	-850,85	763,42
SLE - CARATTERISTICA 15	7.896,65	1.947,28	-159,93	-844,14	1.386,20
SLE - CARATTERISTICA 16	7.775,25	1.944,23	-159,94	-850,85	252,26
SLU - STR 01	12.215,55	2.904,75	-143,99	-475,08	5.260,85
SLU - STR 02	12.533,86	2.899,26	-143,97	-487,15	1.159,80
SLU - STR 03	11.217,23	2.904,75	-143,92	-475,08	2.280,80
SLU - STR 04	10.998,72	2.899,26	-143,94	-487,15	239,73
SLU - STR 05	11.182,55	2.634,43	-143,98	-1.125,46	3.999,23
SLU - STR 06	11.421,28	2.630,32	-143,96	-1.134,51	923,44
SLU - STR 07	10.433,81	2.634,43	-143,93	-1.125,46	1.764,19
SLU - STR 08	10.269,92	2.630,32	-143,94	-1.134,51	233,38
SLU - STR 09	11.182,55	2.280,06	-143,98	-1.905,08	3.999,23
SLU - STR 10	11.421,28	2.275,94	-143,96	-1.914,13	923,44
SLU - STR 11	10.433,81	2.280,06	-143,93	-1.905,08	1.764,19
SLU - STR 12	10.269,92	2.275,94	-143,94	-1.914,13	233,38
SLU - STR 13	11.601,50	2.640,05	-239,95	-1.113,09	4.142,13
SLU - STR 14	11.840,23	2.635,94	-239,93	-1.122,14	1.066,34
SLU - STR 15	10.852,76	2.640,05	-239,90	-1.113,09	1.907,09
SLU - STR 16	10.688,87	2.635,94	-239,90	-1.122,14	376,28
SLV 01	6.928,71	3.141,26	261,73	1.552,06	518,60
SLV 02	6.789,42	3.128,89	261,67	1.724,85	518,39
SLV 03	6.904,87	3.140,31	-258,52	1.549,98	-505,85
SLV 04	6.765,58	3.127,95	-258,57	1.722,77	-506,06
SLV 05	6.849,24	494,91	258,57	-4.060,17	506,06
SLV 06	6.709,96	482,54	258,52	-3.887,38	505,86
SLV 07	6.825,40	493,96	-261,67	-4.062,25	-518,39
SLV 08	6.686,12	481,60	-261,73	-3.889,46	-518,60
SLV 09	6.928,71	1.896,87	867,57	-1.180,84	1.709,41
SLV 10	6.789,42	1.884,50	867,52	-1.008,04	1.709,20
SLV 11	6.904,87	1.102,96	866,63	-2.864,51	1.705,65
SLV 12	6.765,58	1.090,60	866,57	-2.691,71	1.705,44
SLV 13	6.849,24	1.893,71	-866,57	-1.187,77	-1.705,44
SLV 14	6.709,96	1.881,35	-866,63	-1.014,98	-1.705,65
SLV 15	6.825,40	1.099,81	-867,52	-2.871,44	-1.709,20
SLV 16	6.686,12	1.087,44	-867,57	-2.698,65	-1.709,41
SLV 17	7.063,40	1.910,19	260,69	-1.384,86	514,46
SLV 18	7.039,56	1.909,24	-259,55	-1.386,94	-510,00
SLV 19	7.039,56	1.116,29	259,75	-3.068,53	510,69
SLV 20	7.015,72	1.115,34	-260,50	-3.070,61	-513,76
SLV 21	6.599,10	1.868,97	260,50	-808,88	513,76
SLV 22	6.575,27	1.868,03	-259,75	-810,96	-510,69
SLV 23	6.575,27	1.075,07	259,55	-2.492,55	510,00
SLV 24	6.551,43	1.074,12	-260,69	-2.494,63	-514,45
OLV Z-	0.001,70	1.717,12		2.404,00	517,70











PALI DI FONDAZIONE - VALUTAZIONE DELLE AZIONI SOLLECITANTI 8.6

Nelle tabelle successive è riportata la determinazione delle azioni sollecitanti sui pali di fondazione per le diverse combinazioni di carico considerate:

NUMERO DI PALI

4

	PALO 1	PALO 2	PALO 3	PALO 4	
Υ	-5,40	-1,80	1,80	5,40	
Y^2	29,16	3,24	3,24	29,16	64,80

COMPINAZIONE	N _{Sd,1}	N _{Sd,2}	N _{Sd,3}	N _{Sd,4}	M _{Sd}	V_{Sd}
COMBINAZIONE	[kN]	[kN]	[kN]	[kN]	[kNm]	[kN]
SLE - QUASI PERMANENTE	1.701,85	1.701,85	1.701,85	1.701,85	-567,55	338,83
SLE - FREQUENTE 01	1.861,73	2.017,48	2.173,24	2.329,00	-211,55	486,59
SLE - FREQUENTE 02	2.095,80	2.124,98	2.154,16	2.183,34	-213,23	485,82
SLE - FREQUENTE 03	1.861,04	1.924,82	1.988,60	2.052,38	-211,55	486,59
SLE - FREQUENTE 04	1.925,18	1.925,97	1.926,75	1.927,53	-213,23	485,82
SLE - FREQUENTE 05	1.750,25	1.752,90	1.755,55	1.758,19	-566,00	339,63
SLE - CARATTERISTICA 01	1.903,11	2.118,72	2.334,34	2.549,95	-92,89	536,38
SLE - CARATTERISTICA 02 SLE - CARATTERISTICA 03	2.215,21 1.902,19	2.262,05 1.995,17	2.308,90 2.088,15	2.355,75 2.181,12	-95,12 -92,89	535,36 536,37
SLE - CARATTERISTICA 04	1.987,72	1.996,70	2.005,68	2.101,12	-92,09 -95,12	535,36
SLE - CARATTERISTICA 05	1.797,45	1.961,15	2.124,84	2.288,54	-213,10	486,48
SLE - CARATTERISTICA 06	2.031,52	2.068,64	2.105,76	2.142,88	-214,77	485,71
SLE - CARATTERISTICA 07	1.796,76	1.868,48	1.940,20	2.011,91	-213,10	486,48
SLE - CARATTERISTICA 08	1.860,91	1.869,63	1.878,35	1.887,07	-214,77	485,71
SLE - CARATTERISTICA 09	1.797,45	1.961,15	2.124,84	2.288,54	-343,03	427,50
SLE - CARATTERISTICA 10	2.031,52	2.068,64	2.105,76	2.142,88	-344,71	426,73
SLE - CARATTERISTICA 11	1.796,76	1.868,48	1.940,20	2.011,91	-343,03	427,50
SLE - CARATTERISTICA 12	1.860,91	1.869,63	1.878,35	1.887,07	-344,71	426,73
SLE - CARATTERISTICA 13	1.859,34	2.028,32	2.197,31	2.366,30	-211,04	488,46
SLE - CARATTERISTICA 14	2.093,41	2.135,82	2.178,23	2.220,65 2.089,68	-212,71 -211,04	487,70
SLE - CARATTERISTICA 15 SLE - CARATTERISTICA 16	1.858,65 1.922,79	1.935,66 1.936,81	2.012,67 1.950,82	1.964,84	-211,04	488,46 487,70
SLU - STR 01	2.615,48	2.907,75	3.200,02	3.492,29	-118,77	727,08
SLU - STR 02	3.036,81	3.101,25	3.165,68	3.230,11	-121,79	725,71
SLU - STR 03	2.614,24	2.740,95	2.867,66	2.994,37	-118,77	727,08
SLU - STR 04	2.729,70	2.743,02	2.756,34	2.769,66	-121,79	725,71
SLU - STR 05	2.462,37	2.684,55	2.906,73	3.128,91	-281,36	659,59
SLU - STR 06	2.778,37	2.829,67	2.880,97	2.932,27	-283,63	658,56
SLU - STR 07	2.461,44	2.559,45	2.657,46	2.755,47	-281,36	659,59
SLU - STR 08	2.548,03	2.561,00	2.573,96	2.586,93	-283,63	658,56
SLU - STR 09	2.462,37	2.684,55	2.906,73	3.128,91	-476,27	571,15
SLU - STR 10	2.778,37	2.829,67	2.880,97	2.932,27	-478,53	570,12
SLU - STR 11 SLU - STR 12	2.461,44 2.548,03	2.559,45 2.561,00	2.657,46 2.573,96	2.755,47 2.586,93	-476,27 -478,53	571,15 570,12
SLU - STR 13	2.555,20	2.785,32	3.015,43	3.245,55	-476,53	662,73
SLU - STR 14	2.871,20	2.930,44	2.989,68	3.048,92	-280,54	661,71
SLU - STR 15	2.554,27	2.660,21	2.766,16	2.872,11	-278,27	662,73
SLU - STR 16	2.640,86	2.661,77	2.682,67	2.703,58	-280,54	661,71
SLV 01	1.688,96	1.717,77	1.746,58	1.775,39	388,01	788,04
SLV 02	1.654,16	1.682,96	1.711,76	1.740,55	431,21	784,95
SLV 03	1.768,37	1.740,27	1.712,17	1.684,06	387,49	787,73
SLV 04	1.733,57	1.705,45	1.677,34	1.649,22	430,69	784,65
SLV 05	1.670,14	1.698,25	1.726,37	1.754,48	-1.015,04	139,60
SLV 06 SLV 07	1.635,33 1.749,55	1.663,44 1.720,75	1.691,54 1.691,95	1.719,64 1.663,15	-971,84 -1.015,56	136,86 139,75
SLV 07 SLV 08	1.749,55	1.685,93	1.657,12	1.628,31	-972,37	137,03
SLV 00	1.589,73	1.684,69	1.779,66	1.874,63	-295,21	521,46
SLV 10	1.554,92	1.649,88	1.744,83	1.839,79	-252,01	518,65
SLV 11	1.584,08	1.678,84	1.773,60	1.868,35	-716,13	350,68
SLV 12	1.549,28	1.644,02	1.738,77	1.833,52	-672,93	348,24
SLV 13	1.854,43	1.759,68	1.664,94	1.570,19	-296,94	520,64
SLV 14	1.819,63	1.724,87	1.630,11	1.535,35	-253,75	517,84
SLV 15	1.848,78	1.753,83	1.658,87	1.563,92	-717,86	350,19
SLV 16	1.813,98	1.719,01	1.624,05	1.529,08	-674,66	347,78
SLV 17 SLV 18	1.722,98	1.751,56	1.780,14	1.808,72 1.717,39	-346,21	481,97
SLV 18 SLV 19	1.802,39 1.717,33	1.774,06 1.745,70	1.745,72 1.774,08	1.717,39	-346,73 -767,13	481,70 286,53
SLV 20	1.717,33	1.745,70	1.774,06	1.711,12	-767,13	286,34
SLV 20	1.606,96	1.635,51	1.664,05	1.692,59	-202,22	471,76
SLV 22	1.686,37	1.658,00	1.629,63	1.601,26	-202,74	471,50
SLV 23	1.601,32	1.629,65	1.657,98	1.686,32	-623,14	276,49
SLV 24	1.680,73	1.652,15	1.623,57	1.594,99	-623,66	276,33







Nella tabella successiva sono riepilogati i valori massimi e minimi delle azioni normali agenti sui pali di fondazione:

COMBINAZIONE	N _{Sd,MAX} [kN]	N _{Sd,MIN} [kN]
SLE - QUASI PERMANENTE	1.701,85	1.701,85
SLE - FREQUENTE	2.329,00	1.750,25
SLE - RARA	2.549,95	1.796,76
SLU - STR	3.492,29	2.461,44
SLV	1.874,63	1.529,08













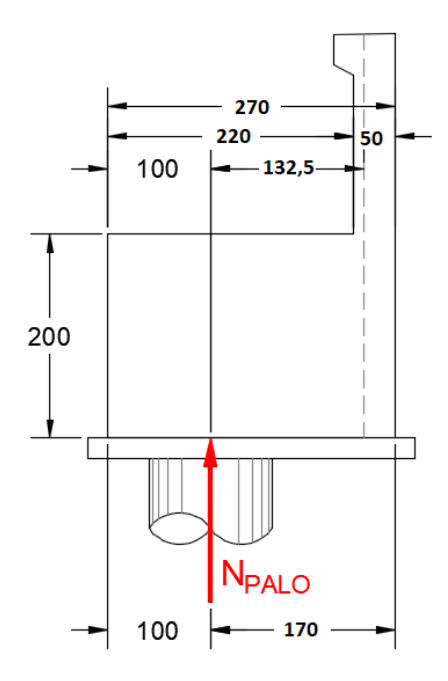


8.7 Trave a cuscino – Verifiche strutturali in direzione trasversale

La verifica trave a cuscino in direzione trasversale è stata condotta con il metodo degli stati limite, calcolando la capacità ultima di resistenza dell'elemento strutturale rispetto ai principali meccanismi di collasso individuabili.

È necessario osservare che, dato il valore dei rapporti altezza – piede di monte della zattera, la mensola da verificare è di tipo "tozzo". Pertanto non può essere impiegata la "teoria della trave", ma è più opportuno adottare una schematizzazione a traliccio basata sull'ipotesi di un meccanismo di trasferimento degli sforzi a "tirante di acciaio" – "puntone di cls" che meglio rappresenta il reale andamento delle tensioni all'interno dei materiali costituenti l'elemento.

Per la verifica della fondazione è necessario per prima cosa stabilire la larghezza di zattera di fondazione competente al singolo palo, da assumere per il meccanismo resistente a tirante-puntone. Questo valore si ottiene considerando una distribuzione delle tensioni dal palo a ¼ dello spessore del paraghiaia secondo angoli di 45°.



Di seguito si assume quindi un sistema a tirante-puntone isolato dal resto del plinto e di larghezza pari a **3,85 m**, nel quale il tirante è costituito da **38Ø20** (Area: **119,32 cm²**).

La reazione normale massima trasmessa dal singolo palo di fondazione vale:

- SLE QUASI PERMANENTE → N_{Sd} = 1.701,85 kN
- SLE FREQUENTE → N_{Sd} = 2.329,00 kN
- SLE RARA \rightarrow N_{Sd} = 2.549,95 kN
- SLU STR → N_{Sd} = 3.492,29 kN
- SLV → N_{Sd} = 1.874,63 kN

Detta $\mathbf{h} = 1,95 \, \mathbf{m}$ la distanza del baricentro del tirante inferiore dal lembo compresso superiore ed assumendo quale braccio \mathbf{b} della mensola tozza, quello che va dal centro dei pali ad ½ dello spessore del muro in elevazione, e pertanto $\mathbf{b} = 1,325 \, \mathbf{m}$, si calcola la risultante ultima resistente sull'insieme dei pali di bordo in direzione trasversale, assumendo:

- $\sigma_s = 360,00 \text{ N/mm}^2$ (tensione limite definita per le verifiche di limitazione delle tensioni in esercizio)
- f_{vd} = 391,30 N/mm² (resistenza di calcolo dell'acciaio)



8.7.1 STATO LIMITE DI ESERCIZIO - COMBINAZIONE QUASI PERMANENTE

La resistenza massima del tirante in acciaio vale:

$$T_{Rd} = A_s \cdot \sigma_s \cdot \frac{h}{d} = \left[\left(119,32 \cdot 10^2 \right) \cdot 360,00 \cdot \frac{1,95}{1,325} \right] \cdot 10^{-3} = 6.321,71 \, kN > N_{Sd} = 1.701,85 \, kN$$

La tensione massima sul puntone compresso in calcestruzzo vale:

$$\sigma_{c} = \frac{N_{Sd}}{(0.2 \cdot h \cdot l) \cdot (sen(\arctan(\frac{h}{b})))} = \frac{1.701.85 \cdot 10^{3}}{(0.2 \cdot 1.95 \cdot 3.85) \cdot 10^{6} \cdot (sen(\arctan(\frac{1.95}{1.325})))} = 1.37 \frac{N}{mm^{2}} < 0.45 \cdot f_{ck} = 13.07 \cdot f_{ck} =$$

8.7.2 STATO LIMITE DI ESERCIZIO - COMBINAZIONE FREQUENTE

La resistenza massima del tirante in acciaio vale:

$$T_{Rd} = A_s \cdot \sigma_s \cdot \frac{h}{d} = \left[\left(119,32 \cdot 10^2 \right) \cdot 360,00 \cdot \frac{1,95}{1,325} \right] \cdot 10^{-3} = 6.321,71 \, kN > N_{Sd} = 2.329,00 \, kN$$

La tensione massima sul puntone compresso in calcestruzzo vale:

$$\sigma_{c} = \frac{N_{Sd}}{(0.2 \cdot h \cdot l) \cdot (sen(\arctan(\frac{h}{b})))} = \frac{2.329,00 \cdot 10^{3}}{(0.2 \cdot 1,95 \cdot 3,85) \cdot 10^{6} \cdot (sen(\arctan(\frac{1,95}{1,325})))} = 1,88 \frac{N}{mm^{2}} < 0.45 \cdot f_{ck} = 13,07 \cdot \frac{N$$

STATO LIMITE DI ESERCIZIO - COMBINAZIONE RARA

La resistenza massima del tirante in acciaio vale:

$$T_{Rd} = A_s \cdot \sigma_s \cdot \frac{h}{d} = \left[\left(119,32 \cdot 10^2 \right) \cdot 360,00 \cdot \frac{1,95}{1,325} \right] \cdot 10^{-3} = 6.321,71 \, kN > N_{Sd} = 2.549,95 \, kN$$

La tensione massima sul puntone compresso in calcestruzzo vale:

$$\sigma_{c} = \frac{N_{Sd}}{(0.2 \cdot h \cdot l) \cdot (sen(\arctan(\frac{h}{b})))} = \frac{2.549.95 \cdot 10^{3}}{\left(0.2 \cdot 1.95 \cdot 3.85\right) \cdot 10^{6} \cdot (sen(\arctan(\frac{1.95}{1.325})))} = 2.05 \frac{N}{mm^{2}} < 0.60 \cdot f_{ck} = 17.43 \frac{N}{mm^{2}} <$$

8.7.4 STATO LIMITE ULTIMO - STR

La resistenza massima del tirante in acciaio vale:

$$T_{Rd} = A_s \cdot \sigma_s \cdot \frac{h}{d} = \left[\left(119,32 \cdot 10^2 \right) \cdot 391,30 \cdot \frac{1,95}{1,325} \right] \cdot 10^{-3} = 6.871,35 \ kN > N_{Sd} = 3.492,29 \ kN$$

La tensione massima sul puntone compresso in calcestruzzo vale:

$$\sigma_{c} = \frac{N_{Sd}}{(0.2 \cdot h \cdot l) \cdot (sen(\arctan(\frac{h}{b})))} = \frac{3.492,29 \cdot 10^{3}}{(0.2 \cdot 1,95 \cdot 3,85) \cdot 10^{6} \cdot (sen(\arctan(\frac{1,95}{1,325})))} = 2.81 \frac{N}{mm^{2}} < f_{cd} = 19,36 \frac{N}{mm^{2}}$$

STATO LIMITE DI SALVAGUARDIA DELLA VITA

La resistenza massima del tirante in acciaio vale:

$$T_{Rd} = A_s \cdot \sigma_s \cdot \frac{h}{d} = \left[(119,32 \cdot 10^2) \cdot 391,30 \cdot \frac{1,95}{1,325} \right] \cdot 10^{-3} = 6.871,35 \ kN > N_{Sd} = 1.874,63 \ kN$$

La tensione massima sul puntone compresso in calcestruzzo vale:

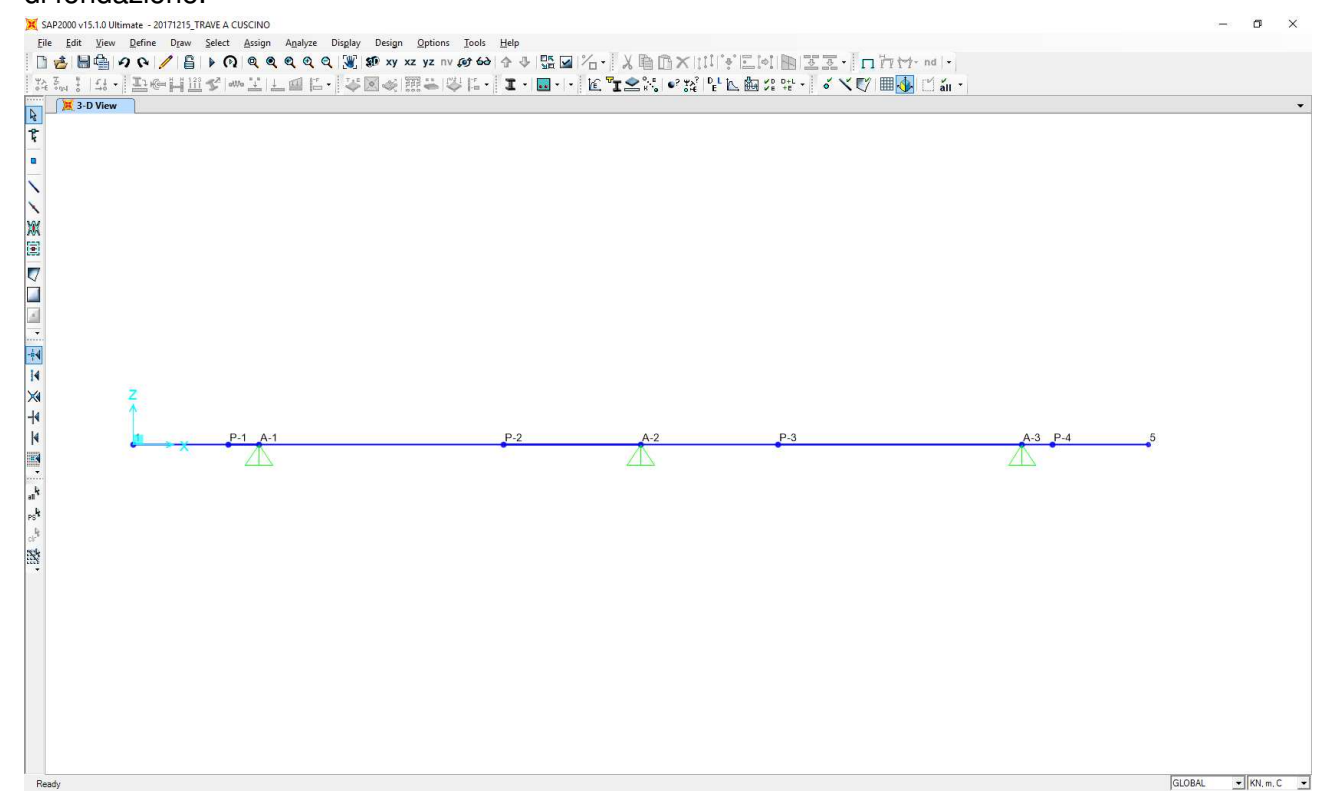
$$\sigma_{c} = \frac{N_{sd}}{(0.2 \cdot h \cdot l) \cdot (sen(\arctan(\frac{h}{b})))} = \frac{1.874,63 \cdot 10^{3}}{\left(0.2 \cdot 1.95 \cdot 3.85\right) \cdot 10^{6} \cdot (sen(\arctan(\frac{1.95}{1.325})))} = 1.51 \frac{N}{mm^{2}} < f_{cd} = 19.36 \frac{N}{mm^{2}}$$



8.8 TRAVE A CUSCINO – VERIFICHE STRUTTURALI IN DIREZIONE LONGITUDINALE

Per la valutazione delle azioni sollecitanti longitudinali sulla trave a cuscino è stato realizzato un apposito modello di calcolo mediante il software agli elementi finiti SAP2000 v.15.1.

La trave a cuscino è stata modellata come una trave continua su 3 appoggi (ogni appoggio è stato posizionato in corrispondenza di un baggiolo) e caricata mediante le reazioni concentrate dei pali di fondazione.









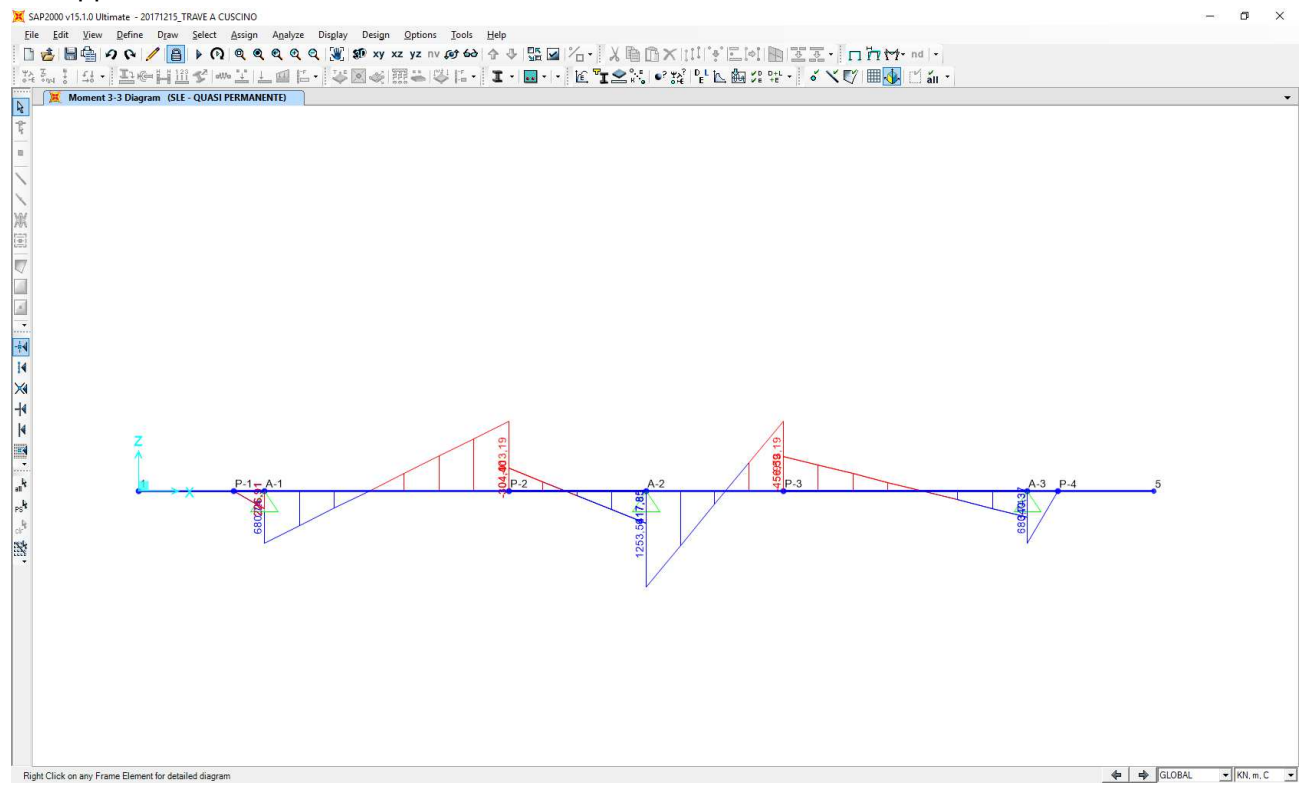




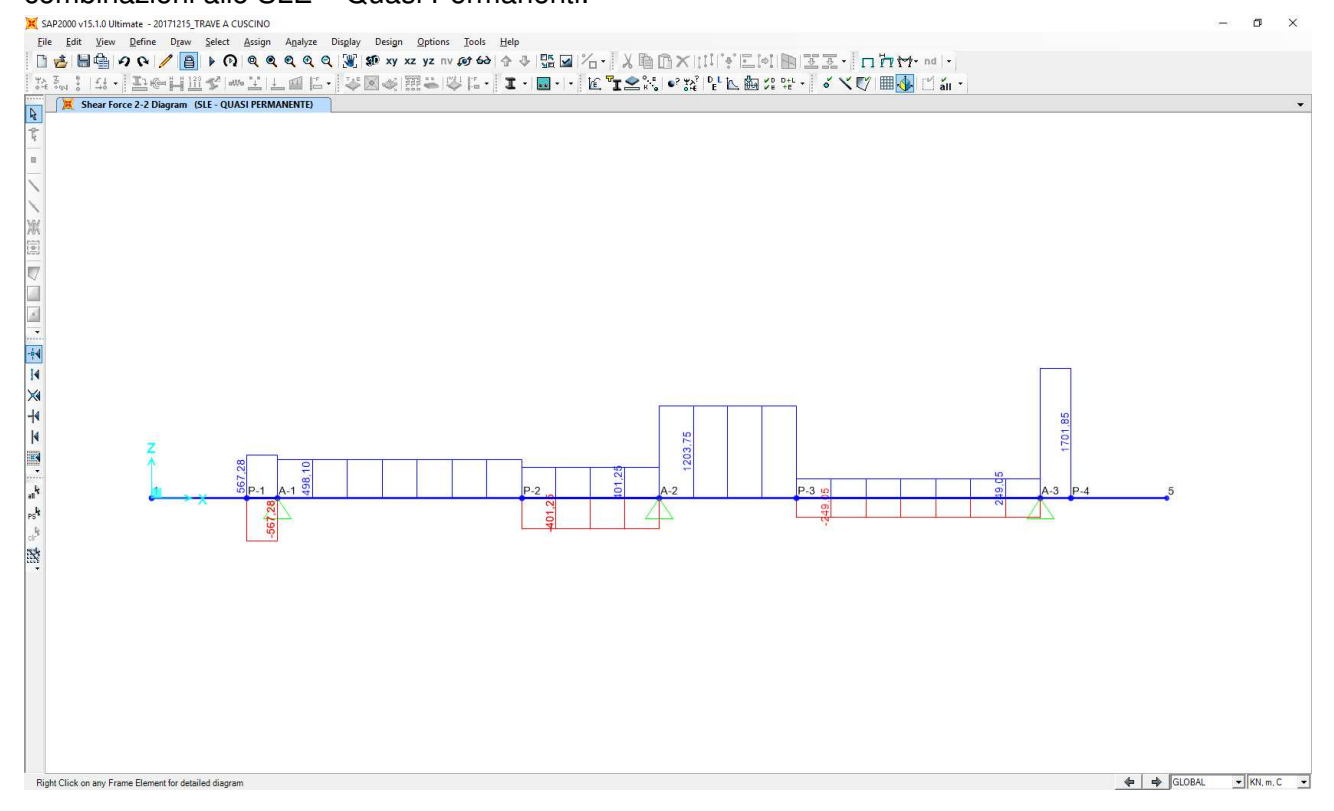
8.8.1 VALUTAZIONE DELLE AZIONI SOLLECITANTI

<u>COMBINAZIONE SLE – QUASI PERMANENTE</u>

Nell'immagine successiva è riportato l'andamento del momento flettente per la combinazione di inviluppo delle combinazioni allo SLE – Quasi Permanenti:



Nell'immagine successiva è riportato l'andamento del taglio per la combinazione di inviluppo delle combinazioni allo SLE – Quasi Permanenti:

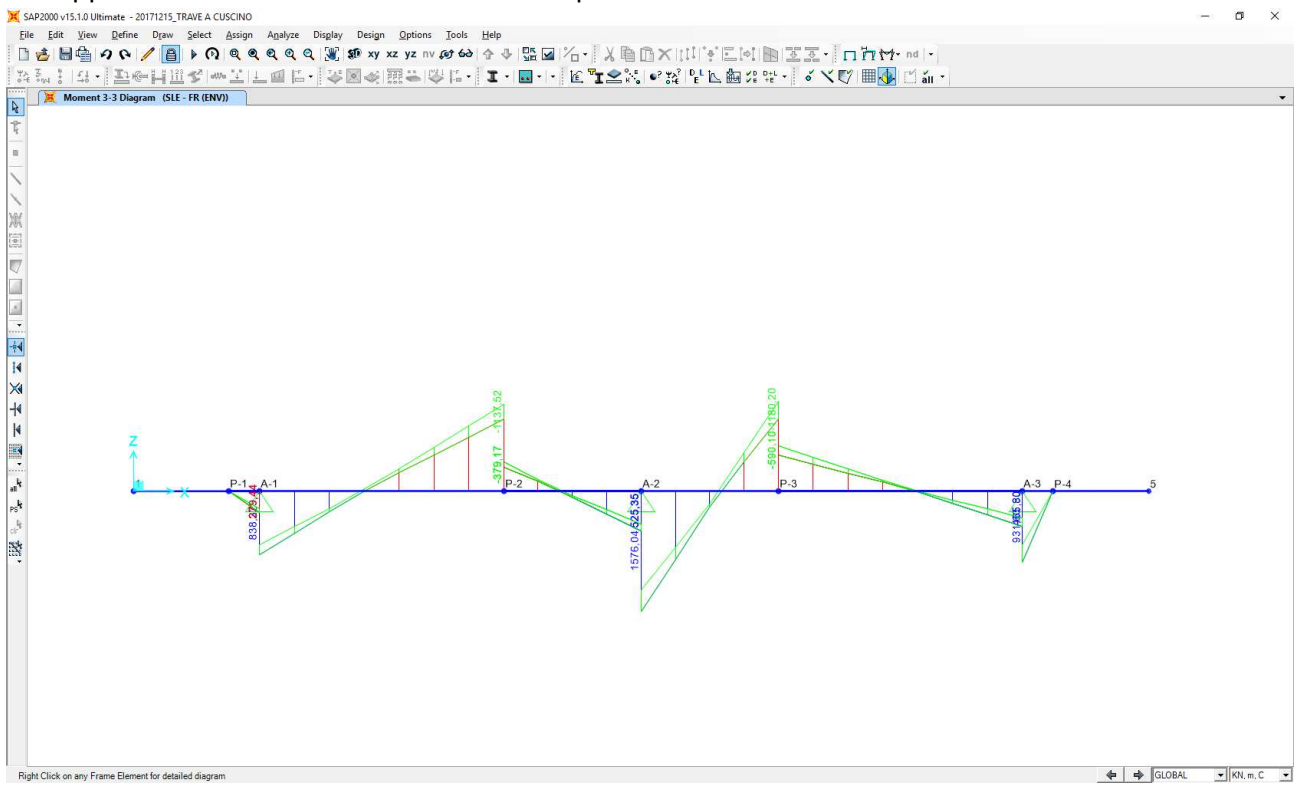




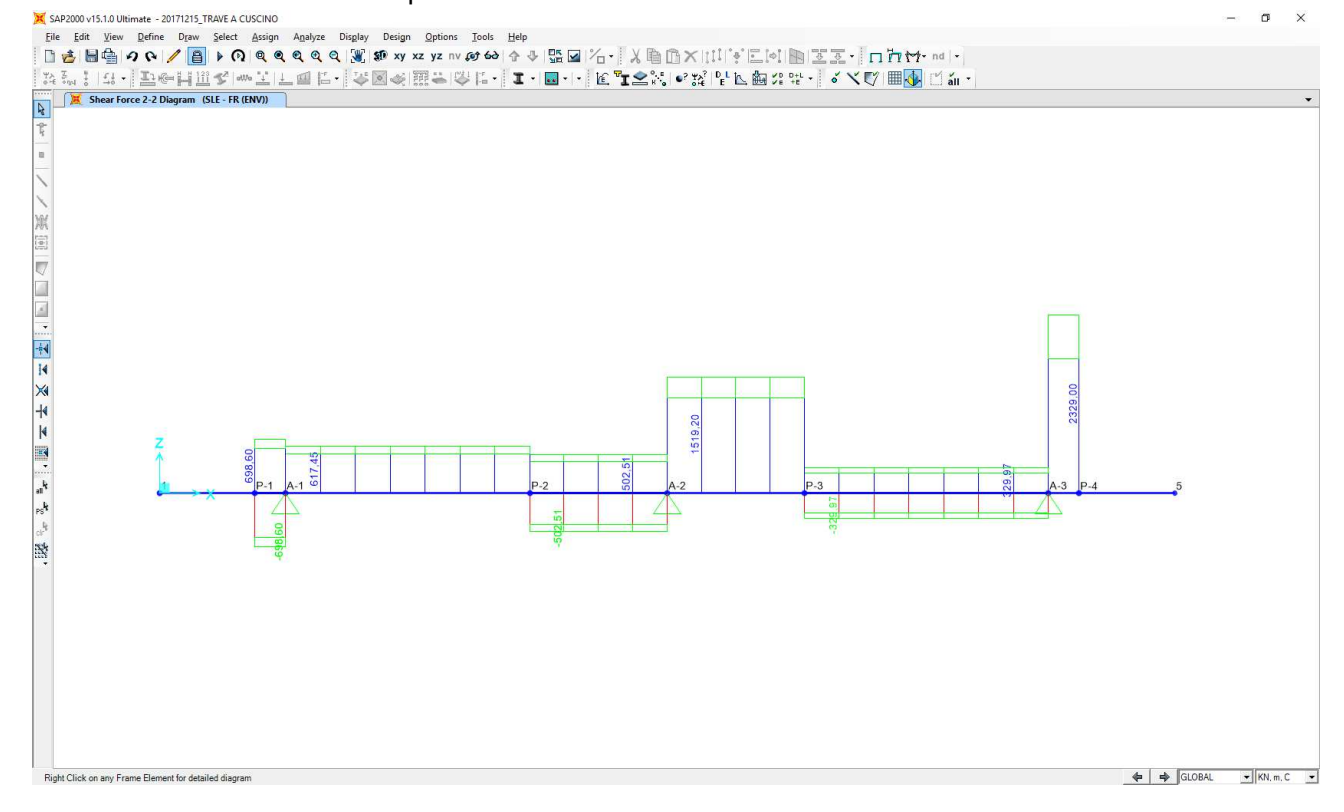


COMBINAZIONE SLE - FREQUENTE

Nell'immagine successiva è riportato l'andamento del momento flettente per la combinazione di inviluppo delle combinazioni allo SLE - Frequenti:



Nell'immagine successiva è riportato l'andamento del taglio per la combinazione di inviluppo delle combinazioni allo SLE - Frequenti:







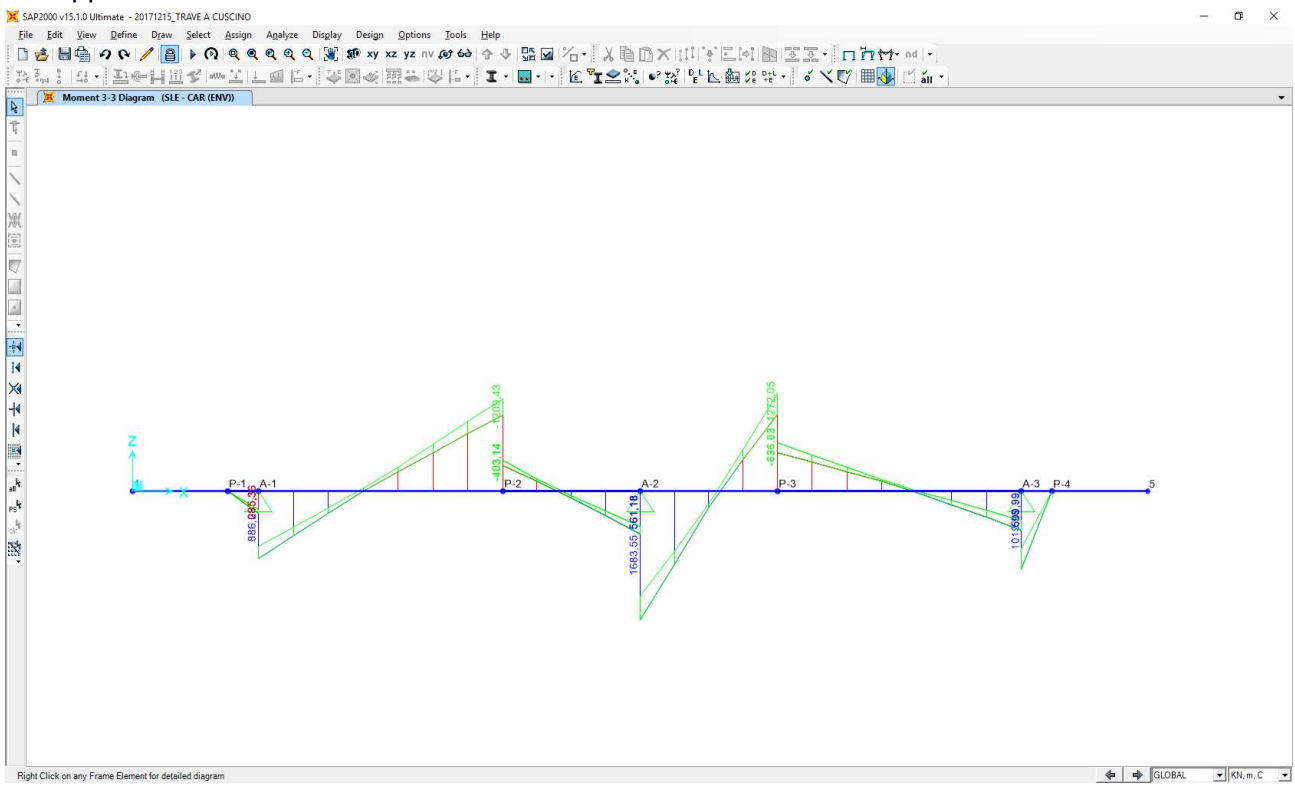




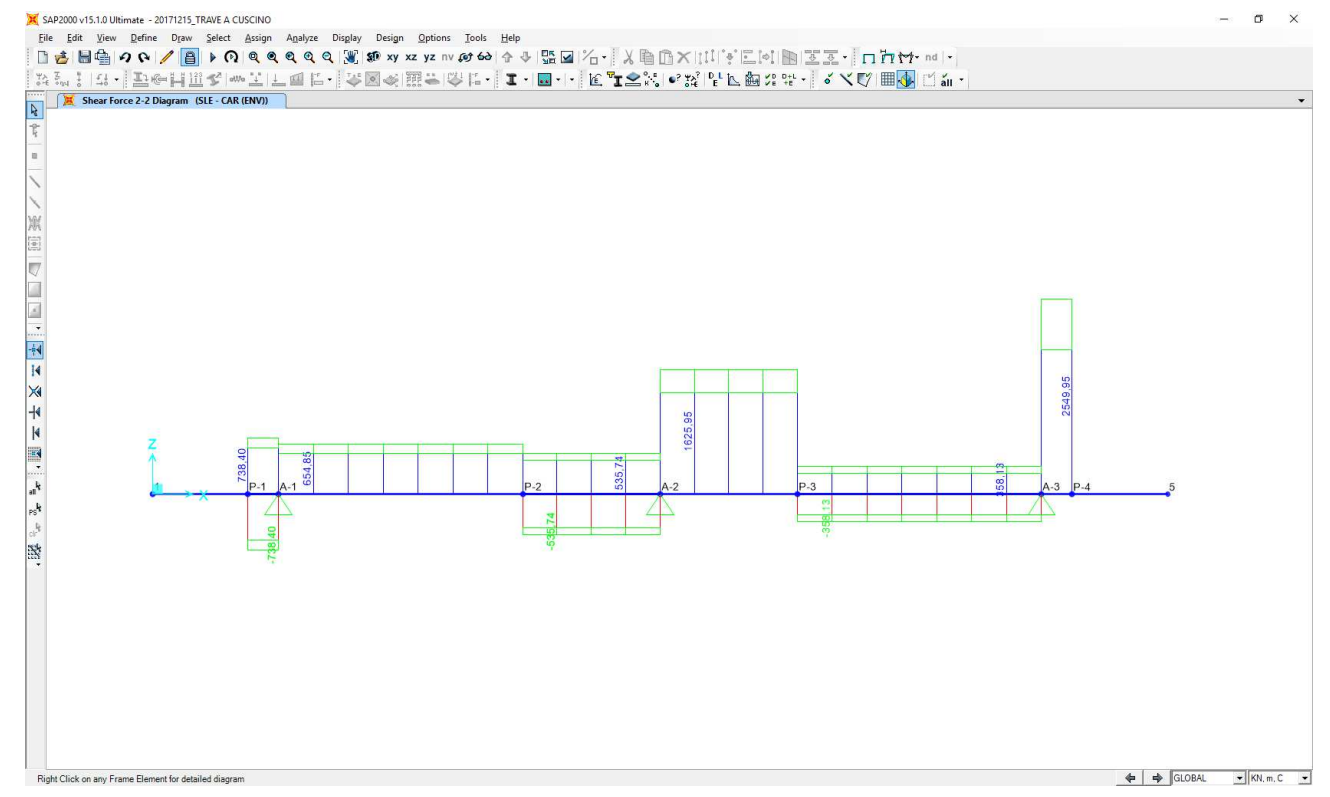


COMBINAZIONE SLE - RARA

Nell'immagine successiva è riportato l'andamento del momento flettente per la combinazione di inviluppo delle combinazioni allo SLE – Rare:



Nell'immagine successiva è riportato l'andamento del taglio per la combinazione di inviluppo delle combinazioni allo SLE – Rare:







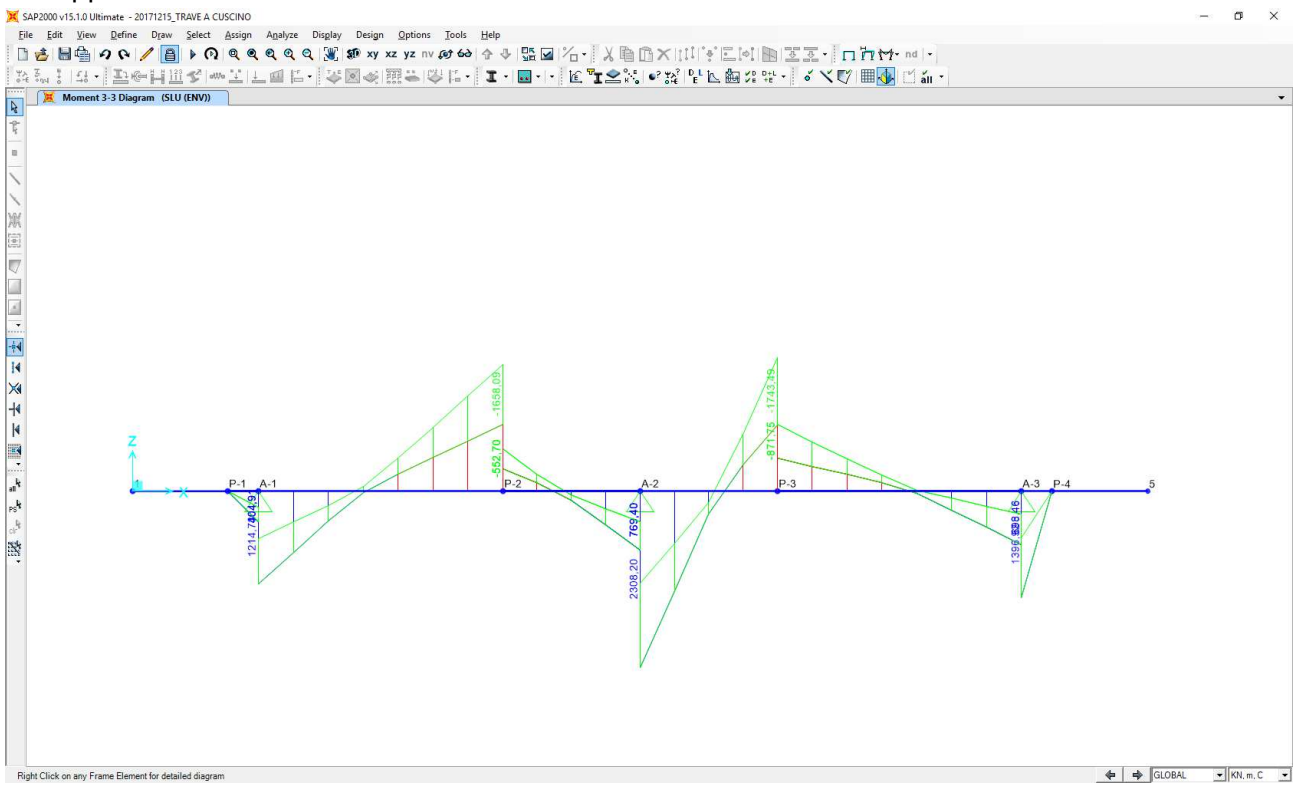




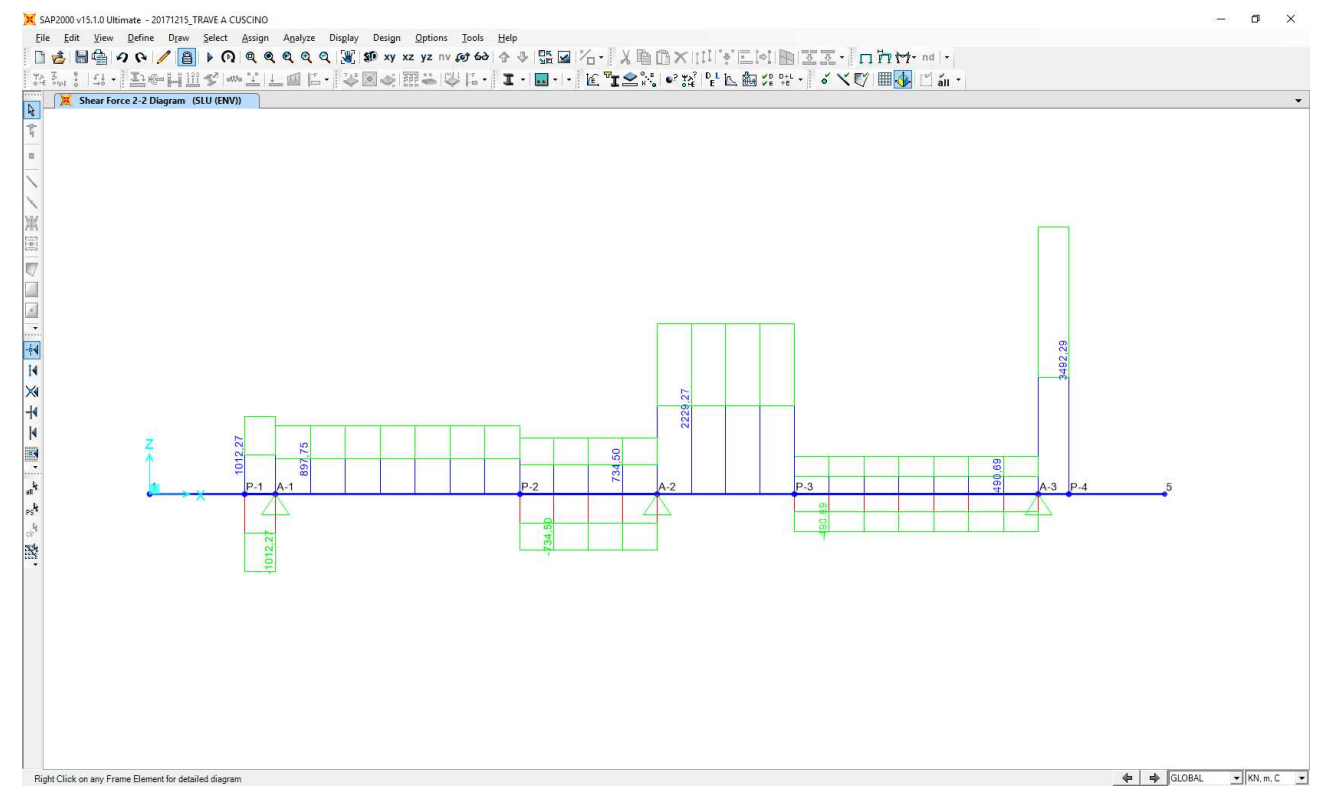


COMBINAZIONE SLU

Nell'immagine successiva è riportato l'andamento del momento flettente per la combinazione di inviluppo delle combinazioni allo SLU – STR e SLV:



Nell'immagine successiva è riportato l'andamento del taglio per la combinazione di inviluppo delle combinazioni allo SLU – STR e SLV:











8.8.2 SEZIONE E ARMATURA DI VERIFICA

La sezione di verifica è rettangolare con base pari a 280 cm e altezza pari a 200 cm.

L'armatura longitudinale (armatura di forza) è costituita da:

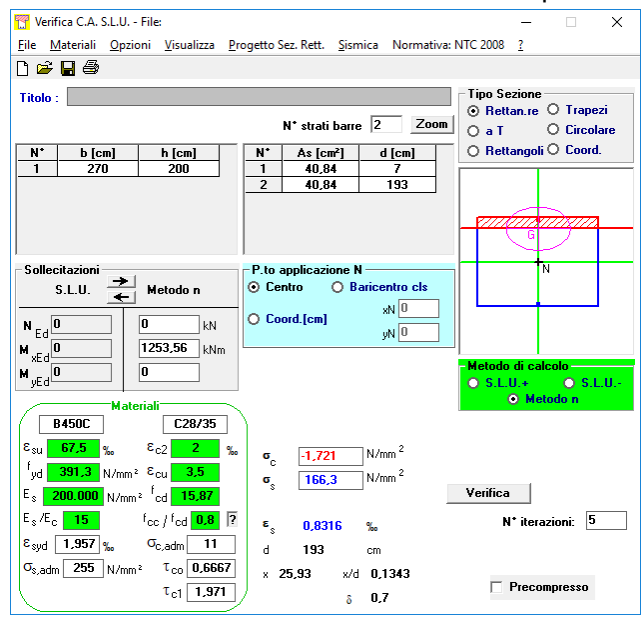
- 13Ø20 superiori
- 13Ø20 inferiori

L'armatura a taglio è costituita dall'armatura trasversale precedentemente calcolata → staffatura Ø20/10. Il copriferro netto minimo è assunto pari a 40 mm.

Trattandosi di impalcati isolati sismicamente le sottostrutture sono state dimensionate adottando uno spettro di risposta elastico (q = 1,00). Secondo quanto previsto dal D.M. 14.01.2008 – Paragrafo 7.9.6.2 non risulta necessario disporre specifiche armature atte a garantire la duttilità dell'elemento strutturale né a rispettare i limiti dimensionali previsti per tale tipologia di armatura.

8.8.3 VERIFICA ALLO STATO LIMITE DI LIMITAZIONE DELLE TENSIONI – COMBINAZIONE QUASI PERMANENTE

Il momento flettente di calcolo è assunto pari a M_{Sd} = 1.253,56 kNm.



Le tensioni sui materiali risultano pari a:

- $\sigma_c = 1,72 \text{ N/mm}^2 < 0,45 \cdot f_{ck} = 13,07 \text{ N/mm}^2$
- $\sigma_s = 166,30 \text{ N/mm}^2 < 0.80 \cdot f_{yk} = 360,00 \text{ N/mm}^2$

La verifica risulta pertanto soddisfatta.







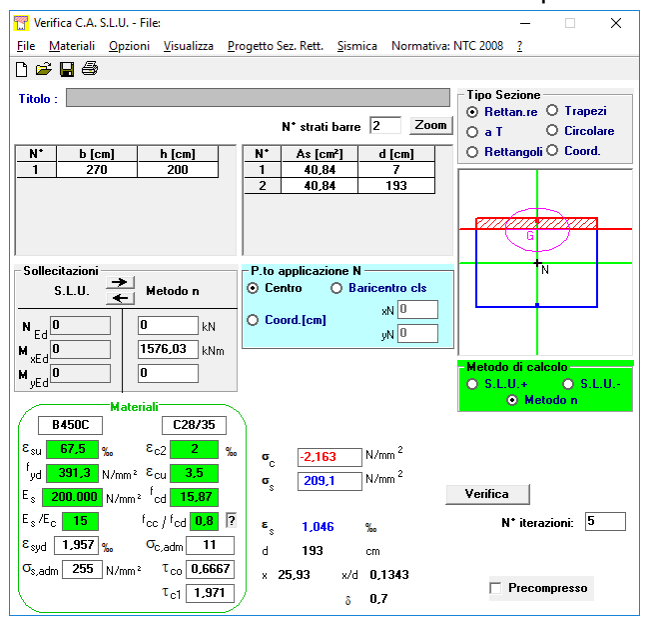






8.8.4 VERIFICA ALLO STATO LIMITE DI LIMITAZIONE DELLE TENSIONI – COMBINAZIONE FREQUENTE

Il momento flettente di calcolo è assunto pari a M_{Sd} = 1.576,03 kNm.



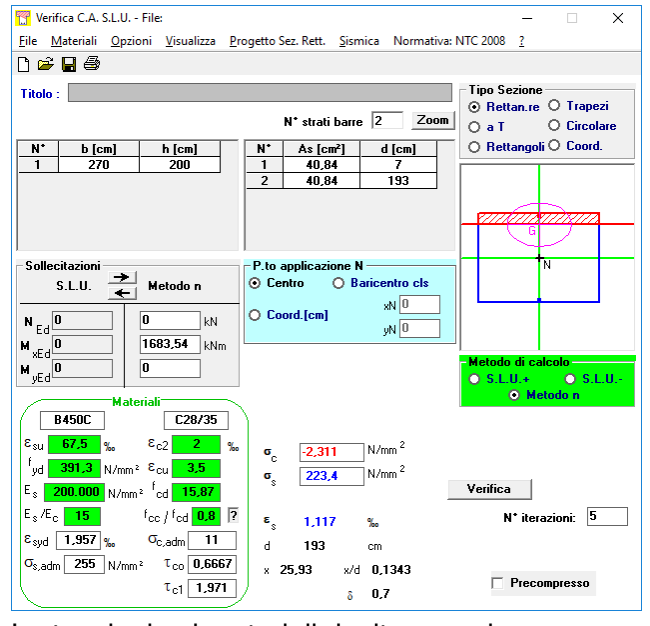
Le tensioni sui materiali risultano pari a:

- $\sigma_c = 2,16 \text{ N/mm}^2 < 0,45 \cdot f_{ck} = 13,07 \text{ N/mm}^2$
- $\sigma_s = 209,10 \text{ N/mm}^2 < 0,80 \cdot f_{vk} = 360,00 \text{ N/mm}^2$

La verifica risulta pertanto soddisfatta.

8.8.5 VERIFICA ALLO STATO LIMITE DI LIMITAZIONE DELLE TENSIONI – COMBINAZIONE RARA

Il momento flettente di calcolo è assunto pari a M_{Sd} = 1.683,54 kNm.



Le tensioni sui materiali risultano pari a:

- $\sigma_c = 2.31 \text{ N/mm}^2 < 0.60 \cdot f_{ck} = 17.43 \text{ N/mm}^2$
- $\sigma_s = 223,40 \text{ N/mm}^2 < 0.80 \cdot f_{yk} = 360,00 \text{ N/mm}^2$

La verifica risulta pertanto soddisfatta.









8.8.6 VERIFICA ALLO STATO LIMITE DI FESSURAZIONE

La verifica semplificata allo SL di fessurazione viene condotta secondo quanto previsto dalla Circolare C.S.LL.PP. n.617 del 02.02.2009, par. C4.1.2.2.4.6, tab. C4.1.II e C4.1.III.

TABELLA C4.1.II - Diametri massimi delle barre per il controllo di fessurazione											
Tensione nell'acciaio	Diam	etro massimo Ø delle barre	[mm]								
$\sigma_{\rm s}$ [N/mm ²]	w ₃ = 0,40 mm	w ₂ = 0,30 mm	w ₁ = 0,20 mm								
160	40	32	25								
200	32	25	16								
240	20	16	12								
280	16	12	8								
320	12	10	6								
360	10	8	0								

TABELLA C4.1.III - Spaziatura massima delle barre per il controllo di fessurazione											
Tensione nell'acciaio	Spaziatura	massima s delle barre delle	e barre [mm]								
$\sigma_{\rm s}$ [N/mm ²]	w ₃ = 0,40 mm	w ₂ = 0,30 mm	w ₁ = 0,20 mm								
160	300	300	200								
200	300	250	150								
240	250	200	100								
280	200	150	50								
320	150	100	0								
360	100	50	0								

CRITERI DI SCELTA DELLO STATO LIMITE DI FESSURAZIONE

I criteri di scelta dello Stato Limite di fessurazione sono definiti secondo quanto riportato dal D.M. 14.01.2008, par. 4.1.2.2.4.5, tab. 4.1.IV.

Condizioni ambientali: Armatura: • Aggressive Poco sensibile

COMBINAZIONE ALLO S.L.E. QUASI PERMANENTE

Stato limite: apertura fessure Ampiezza massima delle fessure: $W_d \le$ w1 [N/mm²]Tensione massima nell'acciaio calcolata: 166,30 $\sigma_{\text{s,max}}$ \emptyset_{max} Diametro massimo delle barre di armature poste in opera: 20 [mm] Spaziatura massima delle barre di armatura poste in opera: 200,00 [mm] s_{max} \emptyset_{max} Diametro massimo delle barre di armatura consentito: 16,00 [mm]Spaziatura massima delle barre di armatura consentita: 150,00 [mm]

VERIFICA NEGATIVA - PROCEDERE CON LA VERIFICA ANALITICA

COMBINAZIONE ALLO S.L.E. FREQUENTE

Stato limite: apertura fessure Ampiezza massima delle fessure: $w_d \le$ w2 [N/mm²]209,10 Tensione massima nell'acciaio calcolata: $\sigma_{s,max}$ Diametro massimo delle barre di armature poste in opera: $Ø_{max}$ 20 [mm]Spaziatura massima delle barre di armatura poste in opera: 200,00 [mm] s_{max} \emptyset_{max} 16,00 Diametro massimo delle barre di armatura consentito: [mm]

VERIFICA NEGATIVA - PROCEDERE CON LA VERIFICA ANALITICA



Spaziatura massima delle barre di armatura consentita:



Smax

 s_{max}

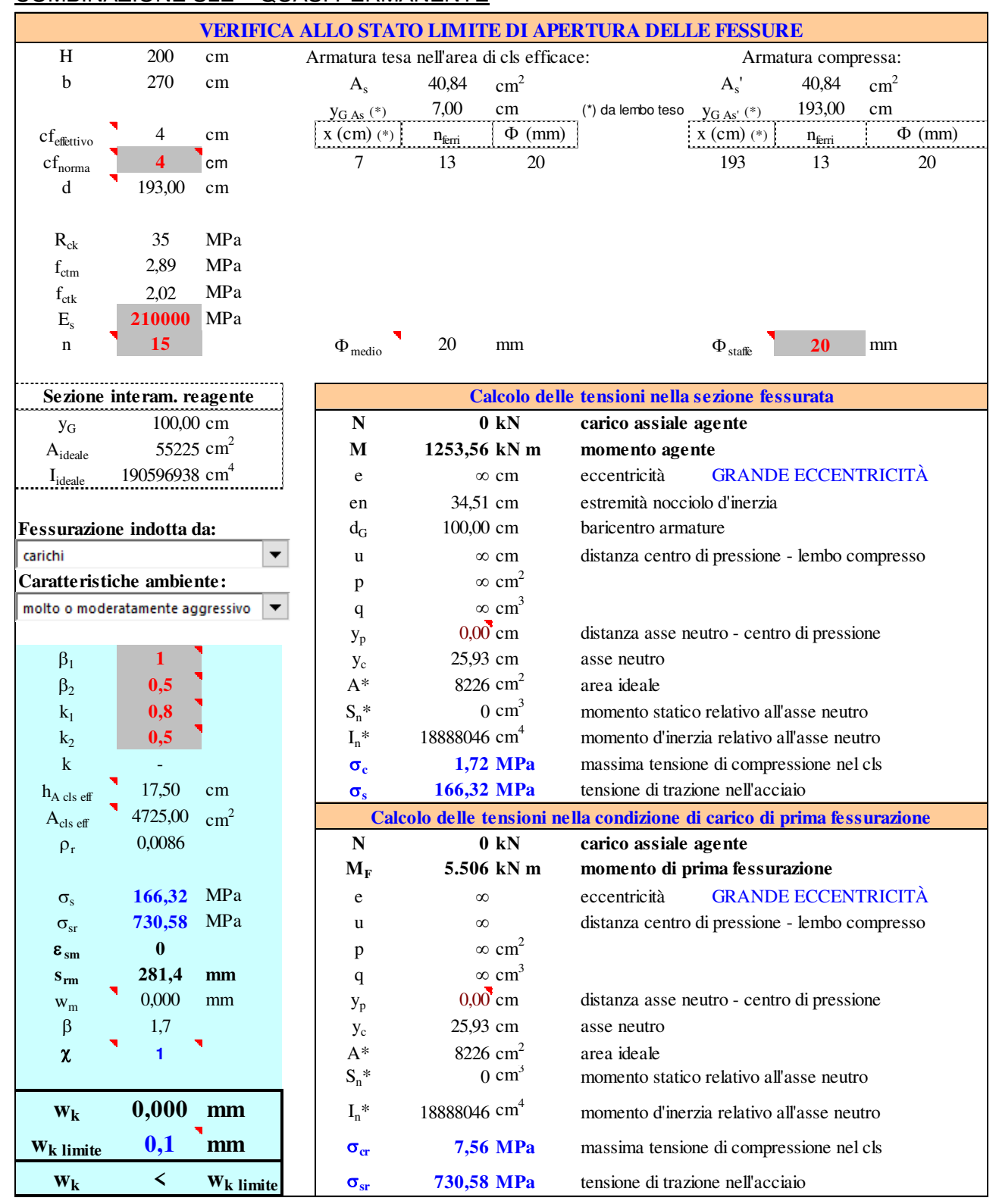
200,00

[mm]



Poiché la verifica semplificata ha dato esito negativo si procede di seguito con le verifiche analitiche.

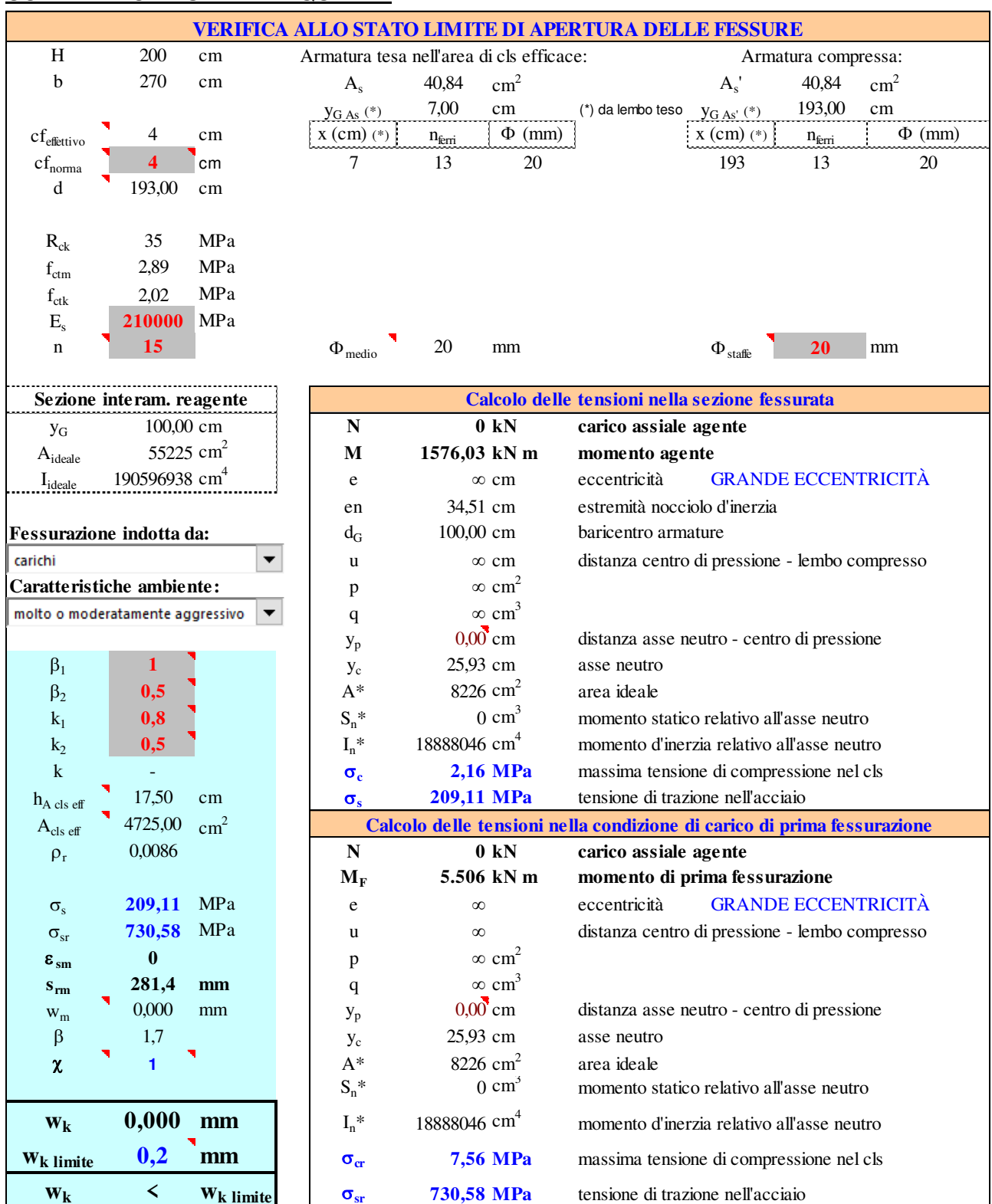
COMBINAZIONE SLE - QUASI PERMANENTE







COMBINAZIONE SLE - FREQUENTE

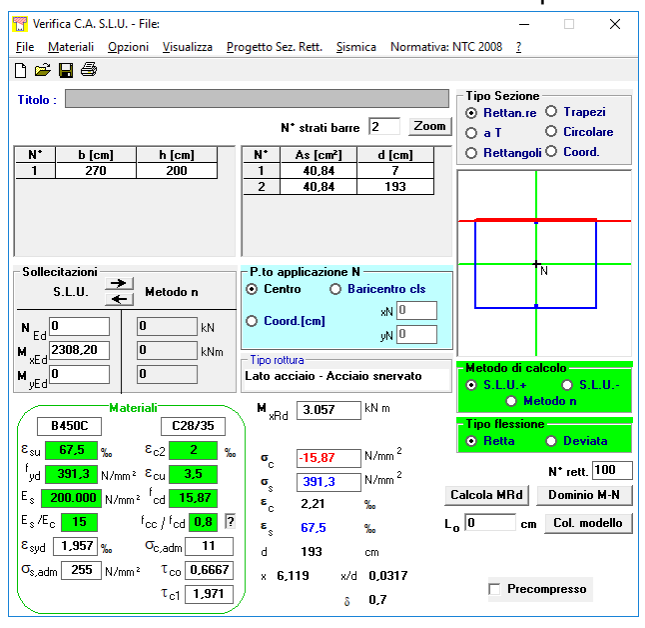


 $\sigma_{\rm sr}$



8.8.7 VERIFICA ALLO STATO LIMITE ULTIMO PER FLESSIONE RETTA

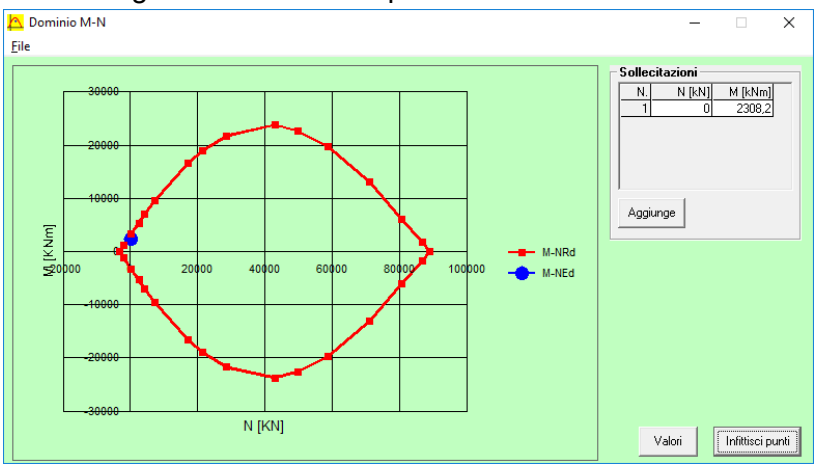
Il momento flettente di calcolo è assunto pari a M_{Sd} = 2.308,20 kNm.



Il momento resistente risulta pari a:

 $M_{Sd} = 3.057,00 \text{ kNm} > M_{Sd} = 2.308,20 \text{ kNm}$

Nell'immagine successiva è riportato il dominio di resistenza della sezione:



La verifica risulta pertanto soddisfatta.











8.8.8 VERIFICA ALLO STATO LIMITE ULTIMO PER TAGLIO

L'azione tagliante di calcolo è assunta pari a V_{Sd} = 3.492,29 kN.

CARATTERISTICHE GEOMETRICHE DELLA SEZIONE											
Base della zezione trasversale:	b	270,00	[cm]								
Altezza della sezione trasversale:	h	200,00	[cm]								
Copriferro netto:	С	4,00	[cm]								
Altezza utile della sezione:	d	196,00	[cm]								
CARATTERISTICHE DEI I	MATERIALI										

CARATTERISTICHE DEI MAT	TERIALI				
Classe di resistenza del calcestruzzo:		C28/35 ▼			
Resistenza caratteristica cubica a compressione: Resistenza caratteristica cilindrica a compressione: Resistenza di calcolo a compressione:	$egin{aligned} & R_ck \ & f_ck \ & f_cd \end{aligned}$	35,00 [N/mm²] 29,05 [N/mm²] 16,46 [N/mm²]			
Tipologia dell'acciaio da armatura:	¹cd	B450C ▼			
Tensione caratteristica di rottura: Tensione caratteristica di snervamento: Resistenza di calcolo:	f _{tk} f _{yk} f _{yd}	540,00 [N/mm ²] 450,00 [N/mm ²] 391,30 [N/mm ²]			
AZIONI SOLLECITANTI DI CALCOLO					
Azione tagliante di calcolo: Azione normale di calcolo:	$\begin{matrix} V_{S,d} \\ N_{S,d} \end{matrix}$	3492,29 [kN] 0,00 [kN]			

			-			
ARMATURA TRASVERSALE						
Inclinazione dei puntoni di calcestruzzo:	θ	45,00	[°]			
Cotangente dell'angolo θ:	cot(θ)	1,00	1			
Inclinazione dell'armatura trasversale rispetto all'asse della trave:	α	90,00	[°]			
Numero di bracci dell'armatura trasversale:	n	2,00				
Passo longitudinale delle armature trasversali:	s	10,00	[cm]			
Diametro dell'armatura trasversale:	\mathcal{O}_{trasv}	20,00	[mm]			
Area della singola barra:	A_{barra}	3,14	[cm ²]			
Area totale dell'armatura trasversale:	A_{tot}	62,80	[cm ² /m]			

VERIFICA ALLO S.L.U. PER TAGLIO

La verifica allo S.L.U. per taglio viene condotta secondo quanto previsto dal D.M. 14.01.2008, par.4.1.2.1.3.2 La resistenza di calcolo a "taglio trazione" viene valutata mediante la seguente relazione:

$$V_{Rsd} = 0.9 \cdot d \cdot \frac{A_{sw}}{s} \cdot f_{yd} \cdot \left[\cot \left(\alpha\right) + \cot \left(\theta\right)\right] \cdot sen \left(\alpha\right)$$

La resistenza di calcolo a "taglio compressione" viene valutata mediante la seguente relazione:

$$V_{Rcd} = 0.9 \cdot d \cdot b_{w} \cdot \alpha_{c} \cdot f_{cd} \cdot \frac{\left[\cot \left(\alpha\right) + \cot \left(\theta\right)\right]}{\left[1 + \cot^{2}\left(\theta\right)\right]}$$

 $b_{\text{w}} \\$ 270,00 Larghezza minima della sezione: [cm] $[N/mm^2]$ Resistenza a compressione ridotta del calcestruzzo: 8,23 f'_{yd} $[N/mm^2]$ Tensione media di compressione nella sezione: 0,000 σ_{cp} Coefficiente maggiorativo α_c : 1,0000 α_c

RESISTENZA DI CALCOLO A "TAGLIO TRAZIONE" [kN] 4.334,84 V_{Rsd} V_{Rcd} RESISTENZA DI CALCOLO A "TAGLIO COMPRESSIONE" 19.600,91 [kN]

AZIONE TAGLIANTE RESISTENTE DELLA SEZIONE: 4.334,84 [kN] $V_{R,d}$ **COEFFICIENTE DI SICUREZZA:** $F_S=V_{R,d}/V_{S,d}$ 1,24

LA VERIFICA RISULTA POSITIVA







8.9 BAGGIOLI DI APPOGGIO – VERIFICHE STRUTTURALI

8.9.1 VALUTAZIONE DELLE AZIONI SOLLECITANTI

Nella tabella successiva sono riportati i valori degli scarichi statici dell'impalcato sui singoli baggioli di appoggio, desunti dalla relazione di calcolo dell'impalcato stesso, per le differenti combinazioni di carico considerate:

	APPOGGIO 1		APPOGGIO 2			APPOGGIO 3			
COMBINAZIONE	N _{Sd} [kN]	F _{Sd,LONG} [kN]	F _{Sd,TRASV} [kN]	N _{Sd} [kN]	F _{Sd,LONG} [kN]	F _{Sd,TRASV} [kN]	N _{Sd} [kN]	F _{Sd,LONG} [kN]	F _{Sd,TRASV} [kN]
SLU-STR 01	2.132,66	35,95	-47,06	2.794,39	40,08	-47,77	3.062,26	40,49	-49,16
SLU - STR 02	2.357,30	36,08	-46,44	3.346,92	38,21	-48,01	2.603,39	36,74	-49,51
SLU - STR 03	2.083,83	36,28	-47,63	2.390,42	39,70	-48,11	2.516,74	40,53	-48,18
SLU - STR 04	2.148,54	36,22	-47,61	2.382,66	38,05	-48,13	2.241,27	36,76	-48,20
SLU - STR 05	1.893,03	32,74	-47,19	2.450,91	36,18	-47,86	2.612,36	36,26	-48,93
SLU - STR 06	2.061,52	32,84	-46,73	2.865,31	34,78	-48,04	2.268,21	33,45	-49,19
SLU - STR 07	1.856,42	32,99	-47,62	2.147,93	35,90	-48,12	2.203,22	36,29	-48,19
SLU - STR 08	1.904,95	32,94	-47,61	2.142,11	34,66	-48,13	1.996,62	33,46	-48,21
SLU - STR 09	1.880,72	-85,38	-47,19	2.438,83	-81,94	-47,86	2.600,05	-81,86	-48,93
SLU - STR 10	2.049,21	-85,29	-46,73	2.853,22	-83,34	-48,04	2.255,90	-84,68	-49,19
SLU - STR 11	1.844,11	-85,13	-47,62	2.135,84	-82,23	-48,12	2.190,91	-81,83	-48,19
SLU - STR 12	1.892,64	-85,18	-47,61	2.130,03	-83,47	-48,13	1.984,31	-84,66	-48,21
SLU - STR 13	2.017,47	34,51	-79,18	2.561,99	37,97	-79,95	2.795,80	38,33	-80,83
SLU - STR 14	2.185,95	34,60	-78,72	2.976,39	36,57	-80,13	2.451,65	35,51	-81,09
SLU - STR 15	1.980,85	34,76	-79,60	2.259,01	37,69	-80,21	2.386,66	38,36	-80,09
SLU - STR 16	2.029,38	34,71	-79,59	2.253,19	36,45	-80,22	2.180,06	35,53	-80,10

Nella tabella successiva sono riportati i valori degli scarichi sismici dell'impalcato sui singoli baggioli di appoggio, desunti dalla relazione di calcolo dell'impalcato stesso, per le differenti combinazioni di carico considerate:

	APPOGGIO 1		APPOGGIO 2			APPOGGIO 3			
COMBINAZIONE	N _{Sd}	$F_{Sd,LONG}$	F _{Sd,TRASV}	N _{Sd}	F _{Sd,LONG}	F _{Sd,TRASV}	N _{Sd}	$F_{Sd,LONG}$	F _{Sd,TRASV}
	[kN]	[kN]	[kN]	[kN]	[kN]	[kN]	[kN]	[kN]	[kN]
SLV01	1.226,92	158,98	41,36	1.274,68	159,40	41,23	1.227,53	158,75	41,09
SLV02	1.226,51	154,85	41,34	1.274,28	155,27	41,21	1.227,11	154,63	41,07
SLV03	1.219,05	158,66	-40,08	1.266,86	159,08	-40,15	1.219,38	158,43	-40,22
SLV04	1.218,64	154,54	-40,10	1.266,45	154,96	-40,17	1.218,96	154,32	-40,24
SLV 05	1.200,69	-112,50	40,31	1.248,61	-111,86	40,17	1.200,37	-112,28	40,04
SLV06	1.200,28	-116,62	40,29	1.248,20	-115,98	40,15	1.199,95	-116,40	40,02
SLV07	1.192,82	-112,81	-41,13	1.240,78	-112,18	-41,21	1.192,22	-112,60	-41,27
SLV08	1.192,41	-116,94	-41,15	1.240,38	-116,30	-41,23	1.191,80	-116,71	-41,29
SLV09	1.226,92	64,33	136,01	1.274,68	64,83	135,80	1.227,53	64,26	135,58
SLV10	1.226,51	60,20	135,99	1.274,28	60,70	135,78	1.227,11	60,14	135,56
SLV11	1.219,05	-17,12	135,69	1.266,86	-16,55	135,48	1.219,38	-17,05	135,26
SLV12	1.218,64	-21,24	135,67	1.266,45	-20,67	135,46	1.218,96	-21,17	135,25
SLV13	1.200,69	63,28	-135,47	1.248,61	63,77	-135,46	1.200,37	63,21	-135,45
SLV14	1.200,28	59,15	-135,49	1.248,20	59,65	-135,48	1.199,95	59,09	-135,47
SLV15	1.192,82	-18,17	-135,78	1.240,78	-17,61	-135,78	1.192,22	-18,10	-135,77
SLV16	1.192,41	-22,29	-135,80	1.240,38	-21,73	-135,80	1.191,80	-22,22	-135,78
SLV17	1.218,21	68,77	41,01	1.266,03	69,27	40,88	1.218,51	68,69	40,74
SLV18	1.210,34	68,46	-40,43	1.258,20	68,95	-40,50	1.210,37	68,38	-40,57
SLV19	1.210,34	-12,67	40,70	1.258,20	-12,11	40,56	1.210,37	-12,62	40,43
SLV20	1.202,48	-12,99	-40,74	1.250,38	-12,43	-40,81	1.202,22	-12,93	-40,88
SLV21	1.216,86	55,02	40,95	1.264,68	55,53	40,81	1.217,11	54,97	40,68
SLV22	1.208,99	54,71	-40,49	1.256,86	55,21	-40,56	1.208,97	54,65	-40,63
SLV23	1.208,99	-26,42	40,63	1.256,86	-25,85	40,50	1.208,97	-26,34	40,36
SLV24	1.201,12	-26,74	-40,81	1.249,03	-26,17	-40,88	1.200,82	-26,66	-40,95

baggioli di appoggio vengono dimensionati in funzione delle azioni massime agenti su di essi. A favore di sicurezza le verifiche verranno condotte sul baggiolo di altezza maggiore, che risulta pari a **20,0 cm**.



L'azione normale massima agente sul baggiolo è risultata pari a N_{Sd} = 3.346,92 kN. L'azione tagliante massima longitudinale agente sul baggiolo è risultata pari a $V_{Sd,L}$ = 159,40 kN. L'azione tagliante massima trasversale agente sul baggiolo è risultata pari a $V_{Sd,T}$ = 136,01 kN.

8.9.2 SEZIONE E ARMATURA DI VERIFICA

Il baggiolo presenta una sezione in pianta rettangolare con base pari a **90 cm** (direzione perpendicolare all'asse dell'impalcato) e altezza pari a **150 cm** (direzione parallela all'asse dell'impalcato).

L'armatura è costituita da:

- 13 forcelle Ø20 nella direzione parallela all'asse dell'impalcato
- 9 forcelle Ø20 nella direzione perpendicolare all'asse dell'impalcato

8.9.3 VERIFICA ALLO STATO LIMITE ULTIMO PER PUNZONAMENTO

CARATTERISTICHE DEI MATERIALI					
CALCESTRUZZO					
Classe di resistenza del calcestruzzo				C32/40	▼
Resistenza di calcolo a trazione del calcestruzza	20		\mathbf{f}_{ctd}	1,36	[N/mm²]
ACCIAIO					
Tipologia di acciaio				B450C	-
Resistenza di calcolo dell'acciaio			f_{yd}	391,30	[N/mm²]
GEOMETRIA DEL BAGGIOLO					
Lunghezza del baggiolo (direzione parallela all'a	asse appoggi)		L_T	150,00	[cm]
Larghezza del baggiolo (direzione perpendicola	ıre all'asse app	oggi)	L_L	90,00	[cm]
Altezza del baggiolo			h	20,00	[cm]
AZIONI DI CALCOLO SUL BAGGIOLO					
Azione normale massima agente sul baggiolo			N	3,346,92	[kN]
ARMATURA DEL BAGGIOLO					
Numero di forcelle in direzione longitudinale			n _L	13	
Diametro delle forcelle in direzione longitudinale	\mathcal{O}_L	20	[mm]		
Area delle forcelle in direzione longitudinale	A_L	81,64	[cm²]		
Numero di forcelle in direzione trasversale			n_T	9	
Diametro delle forcelle in direzione trasversale			\mathcal{O}_T	20	[mm]
Area delle forcelle in direzione trasversale			A_{T}	56,52	[cm ²]
VERIFICA A PUNZONAMENTO					
Perimetro della sezione del baggiolo			u	480,00	[cm]
Altezza del baggiolo			h	20,00	[cm]
Forza resistente per calcestruzzo	650,78	[kN]	<	3,346,92	[kN]
VERIFICA NEGATIVA	. E' NECESSAI	RIO ARMARE A	A PUNZONAME	ENTO.	
Forza resistente per armatura	5.406,26	[kN]	<	3,346,92	[kN]
VERIFICA NEGATIVA. L'ARMATURA DISPOSTA E' INSUFFICIENTE.					











8.9.4 VERIFICA ALLO STATO LIMITE ULTIMO PER TRANCIAMENTO

CARATTERISTICHE DEI MATERIALI			
CALCESTRUZZO			
Classe di resistenza del calcestruzzo		C32/40	▼
Resistenza di calcolo a trazione del calcestruzzo	$f_{\rm ctd}$	1,36	[N/mm²]
ACCIAIO			
Tipologia di acciaio		B450C	-
Resistenza di calcolo dell'acciaio	f_{yd}	391,30	[N/mm²]
GEOMETRIA DEL BAGGIOLO			
Lunghezza del baggiolo (direzione parallela all'asse appoggi)	L_T	90,00	[cm]
Larghezza del baggiolo (direzione perpendicolare all'asse appoggi)	L_L	150,00	[cm]
Altezza del baggiolo	h	20,00	[cm]
AZIONI DI CALCOLO SUL BAGGIOLO			
Azione normale massima agente sul baggiolo	N	0,00	[kN]
Azione orizzontale longitudinale massima agente sul baggiolo	V_{L}	159,40	[kN]
Azione orizzontale trasversale massima agente sul baggiolo	V_{T}	136,01	[kN]
ARMATURA DEL BAGGIOLO			
Numero di forcelle in direzione longitudinale	n∟	9	
Diametro delle forcelle in direzione longitudinale	\varnothing_{L}	20	[mm]
Area delle forcelle in direzione longitudinale	A_L	56,52	[cm²]
Numero di forcelle in direzione trasversale	n_{T}	13	
Diametro delle forcelle in direzione trasversale	\mathcal{O}_{T}	20	[mm]
Area delle forcelle in direzione trasversale	A_T	81,64	[cm ²]
VERIFICA A TRANCIAMENTO DELL'ARMATURA			
Tensione tangenziale sollecitante	T	0,26	[N/mm²]
Coefficiente di sicurezza	F_s	1,20	
Tensione tangenziale di calcolo	T_{Sd}	0,31	[N/mm²]
Coefficiente di rugosità	β	0,20	
Coefficiente di attrito tra le due superfici (sottostruttura-baggiolo)	μ	0,60	
Rapporto tra area di armatura verticale e superficie di ripresa	ρ	0,0171	
Pressione sul calcestruzzo della superficie di ripresa	$\sigma_{\sf cd}$	0,00	[N/mm²]

Il rapporto minimo di armatura rispetto alla superficie di ripresa viene valutato mediante la seguente relazione:

$$\rho_{\min} = \frac{A_{\min}}{A_{baggiolo}} = \frac{\frac{\tau_{\mathit{Sd}} - \beta \cdot f_{\mathit{ctd}}}{\mu} - \sigma_{\mathit{cd}}}{f_{\mathit{yd}}}$$

Rapporto minimo di armatura rispetto alla superficie di ripresa 0,0002 ρ_{min} Area di armatura minima necessaria 2,26 [cm²] 138,16

VERIFICA POSITIVA. L'ARMATURA DISPOSTA E' SUFFICIENTE.

STUDIO CORONA

[cm²]

SOTTOSCRIZIONE DELL'ELABORATO DA PARTE DEL R.T.P.



9

STUDIO CORONA S.r.l.	ECOPLAN S.r.l.
I.T. S.r.l.	E&G S.r.l.
CONSORZIO UNING	ARKE' INGEGNERIA S.r.I.
SETAC S.r.l.	ING. RENATO DEL PRETE
DOTT. DANILO GALLO	











